

ՀԱՅԱՍՏԱՐԻ ՔԻՄԻԱԿԱՐ ՀԱՐԴԵՍ

Химический журнал армении

CHEMICAL JOURNAL OF ARMENIA

₩ FF K 4 P K 4 K L b 4 B L b 4 P K

Վ. Դ. Ազատյան (գլի. իմբագրի տեղակալ), Ա. Ա. Ալչուջյան, Հ. Գ. Բաբայան, Գ. Տ. Թադևոսյան (գլի. իմբագիր), Վ. Մ. Բառայան, Ա. Մ. Հակոբյան, Հ. Ա. Հարոյան, Ա. Հ. Մանթաշյան, Մ. Գ. Մանվելյան, Լ. Գ. Մելբոնյան, Հ. Հ. Չալթիկյան, Ս. Հ. Վարդանյան, Ս. Ա. Տեր-Դանիելյան (պատ. ՝ բարառողար), Տ. Վ. Քրմոյան

РЕДАКЦИОННАЯ КОЛЛЕГИЯ

В. Д. Азатян (зам. глав. редактора), А. Н. Акопян, А. А. Алчуджан, А. А. Ароян, Г. Г. Бабаян, С. А. Вартанян, Т. В. Крмоян, М. Г. Маневелян, А. А. Манташян, Л. Г. Мелконян, В. М. Тараян, Г. Т. Татевосян (глав. редактор), С. А. Тер-Данивлян (ответ. секретарь), О. А. Чалтыкян

Адрес редакции: Ереван, Барекамутян, 24

2 Ц 8 Ч Ц Ч Ц Ъ Р Р Р Ц Ч Ц Ъ Ц Г U Ц Ч Р Р АРМЯНСКИЯ ХИМИЧЕСКИЯ ЖУРНАЛ

XXII, № 8, 1969

ОБЩАЯ И ФИЗИЧЕСКАЯ ХИМИЯ

УДК 535.34+546.16+546.45+666.112.2

СПЕКТРЫ ПОГЛОЩЕНИЯ ФТОРБЕРИЛЛАТНЫХ СТЕКОЛ, АКТИВИРОВАННЫХ РЕДКОЗЕМЕЛЬНЫМИ ФТОРИДАМИ, В ШИРОКОМ ИНТЕРВАЛЕ ЧАСТОТ

А. А. МАРГАРЯН

Ереванский научно-исследовательский институт химин, Ленинградский технологический институт им. Ленсовета

Поступило 18 ІЦ 1968

Обнаружено, что характервые полосы поглощения редкоземельных ионов, наблюдаемые в кислородсодержащих стеклах, сохраняются и во фторбериллатных стеклах. Расщепления термов в указанных стеклах отличны. Все наблюдаемые полосы поглощения являются запрещенными, так как термы происходят из f^n конфигурации. Во фторбериллатных стеклах имеет место высокая симметрия фторидных полиэдров, в отличие от силикатных стекол.

Рис. 4. библ. ссылок 20.

В связи с созданием оптических квантовых генераторов (ОКГ) особый интерес представляют фторбериллатные стекла. Они являются новыми и совершенно не исследованными оптическими средами в этой области. Интересными являются изменения спектров поглощения и люминесценции при переходе от кислородсодержащих стекол ко фторбериллатным.

Во фторбериллатных стеклах ионы активатора находятся в ослабленной модели стекла, где сила кристаллического поля меньше по сравнению с кислородсодержащими стеклами [1].

В теоретическом и практическом отношениях фторбериллатные стекла представляют большой интерес как стеклообразная среда, отличающаяся своей валентно-химической структурой от обычных кислородсодержащих стекол [2].

Стекла, активированные редкоземельными нонами, широко применяются в новой технике. Практически полезные свойства таких стекол обусловлены их строением и, в частности, координационным состоянием ионов-активаторов. Большую информацию о состоянии редкоземельных ионов в стеклах дают спектральные исследования.

Ионы редкоземельных элементов в ультрафиолетовой, видимой и ближайшей инфракрасной областях спектра дают резко выраженные полосы поглощения в растворах, в монокристаллах и в различных стеклах. Нортон [3, 4] объясняет это тем, что под влиянием света переход электронов в атомы редких земель происходит во внутренних орбитах атома, защищенных (5s25p6 электронами) от влияния электрических полей соседних молекул.

Как известно [4—6], общий характер спектров поглощения и люминесценции редкоземельных ионов остается примерно одинаковым в различных средах. Исходя из этого, нами не преследовалась цель рассматривать спектры различных редкоземельных ионов в зависимости от состава фторбериллатных стекол.

Для исследования спектров поглощения редкоземельных ионов нами выбрано малобериллиевое бесщелочное фторбериллатное стекло (состав, мол. 0). BeF₂—35, AIF₃—20, CaF₂—20, SrF₂—15, MgF₂—10), обладающее достаточной химической устойчивостью и имеющее повышенную влагоустойчивость [7]. Напомним, что химически малоустойчивым компонентом в таких стеклах является фтористый бериллий, содержание которого выбрано минимальным.

В настоящее время широко исследуются силикатные стекла, имеющие структурное сходство со стеклами на основе фтористого бериллия. Более ионный характер связей во фторбериллатном стекле и ослабление взаимодействия активатора с окружением позволяет рассчитывать на получение интересных спектральных характеристик. В первую очередь нас будут интересовать данные о спектрах трехвалентных ионов лантанидов, для которых весьма отчетливо обнаруживаются закономерности, связанные с постепенным заполнением оболочки 4f, начиная с церия (один электрон 4f) и кончая иттербием (тринадцать электронов 4f). Наличию оболочки $4f^n$, заполненной определенным числом f-электронов, соответствует характерный для этой оболочки спектр, состоящий из ряда полос, которые лежат в ультрафиолетовой, видимой и инфракрасной областях спектра. В спектрах поглощения редкоземельных ионов наблюдаются полосы двух типов — сравнительно узкие полосы, лежащие в инфракрасной, видимой и близкой ультрафиолетовой областях, и широкие полосы, лежащие в более далекой ультрафиолетовой области. Полосы поглощения первого типа связаны с переходом между уровнями хорошо защищенной f-оболочки, а полосы второго типа, т. е. широкие полосы поглощения, обусловлены переходом электрона из f-оболочки на более внешние оболочки иона [4].

Спектры поглощения измерялись на автоматическом спектрофометре SP-700 марки "Unicam" и рассматривались при T=293°K.

Празеодим (4 f^2). Стекла, активированные фтористым празеодимом, окрашены в зеленый цвет. Основые полосы поглощения расположены в области от 25000 до 4500 cм $^{-1}$. Характерные полосы поглощения для празеодима во фторбериллатном стекле обнаружены при частотах: 4500, 5100, 6500, 6800, 9800, 11450, 12450, 13400, 17000, 19200, 19600, 21000, 21400, 22600, 22800 cм $^{-1}$ (рис. 1a).

Переходы на самый верхний терм не наблюдаются, так как для празеодима этот переход перекрывается интенсивной полосой, соответствующей $f^n - f^n d$ переходу.

Неодим $(4f^3)$. Стекла, активированные фтористым неодимом, занимают особое место среди стекол с редкоземельными элементами. Как видно из рисунка 16, для этих стекол характерно большое число полос поглощения в области прозрачности. Наиболее интенсивные полосы поглощения обнаружены при 28900, 28600, 28200, 19600, 19200, 17400, 13400, 12400, 11500 cm^{-1} . Стекла, содержащие фтористый неодим, окрашены в сиреневый цвет. Возбуждение по любой полосе поглощения приводит к бозникновению ИК люминесценции, состоящей из трех полос с максимумом \sim 900, 1060 и 1300 nm.

Самарий (4 f^5). Стекла, активированные фтористым самарием, слабо окрашены в желтый цвет. Ультрафиолетовое излучение вызывает в них интенсивную оранжевую люминесценцию.

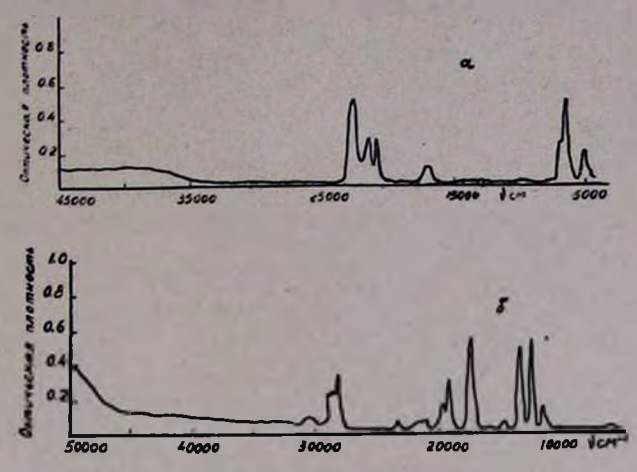


Рис. 1. Спектры поглощения фторбериллатного стекла, активированного фторидами: а — празеодима; б— неодима. PrF_3 , $NdF_3 — 1$ мол. O_0 (варка в атм. азота), толщина — 5,06 мм.

На рисунке 2 представлен спектр поглощения стекла со фтористым самарием. Интенсивные полосы поглощения расположены в области от 29000 до 24000 и от 10000 до 6000 $cм^{-1}$

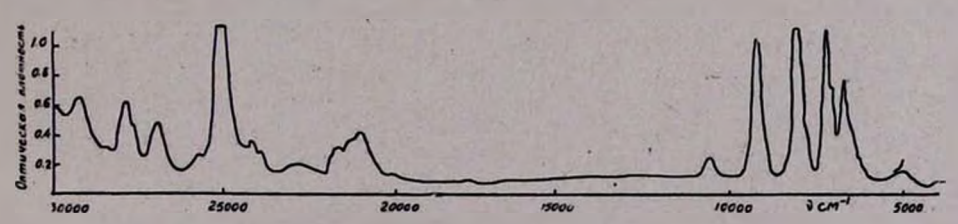


Рис. 2. Спектр поглощения фторбериллатного стекла, активированного фтористым самарием. $SmF_3 - 1$ мол. 0/0 (варка в атм. азота), толщина — 24,05 мм.

Гадолиний $(4f^7)$. Стекла, активированные гадолинием, бесцветны. Основные полосы его поглощения расположены в ультрафиолетовой области спектра и представлены на рисунке За. Полосы поглощения трехвалентного гадолиния во фторбериллатных стеклах обнаружены при 36750, $36250\ cm^{-1}$. В области от 50000 до $40000\ cm^{-1}$ вырисовывается широкая полоса поглощения.

Tербий (4 f^8). Стекла, активированные тербием, также бесцветны. Ультрафиолетовое излучение вызывает у них зеленую люминесценцию. Спектр поглощения фторбериллатного стекла со фтористым тербием представлен на рисунке 36. Как видно, основные полосы поглощения лежат в коротковолновой области частот в интервале от 45000 до 26000 cm^{-1} . Надо отметить, что в этой спектральной области нет

островыраженных максимумов, как это наблюдается для других редкоземельных ионов. Для тербия в инфракрасной области (от 6000 до $4000~cm^{-1}$) вырисовываются острые и разрешенные максимумы при $5250,\ 5050~u\ 4450~cm^{-1}$.

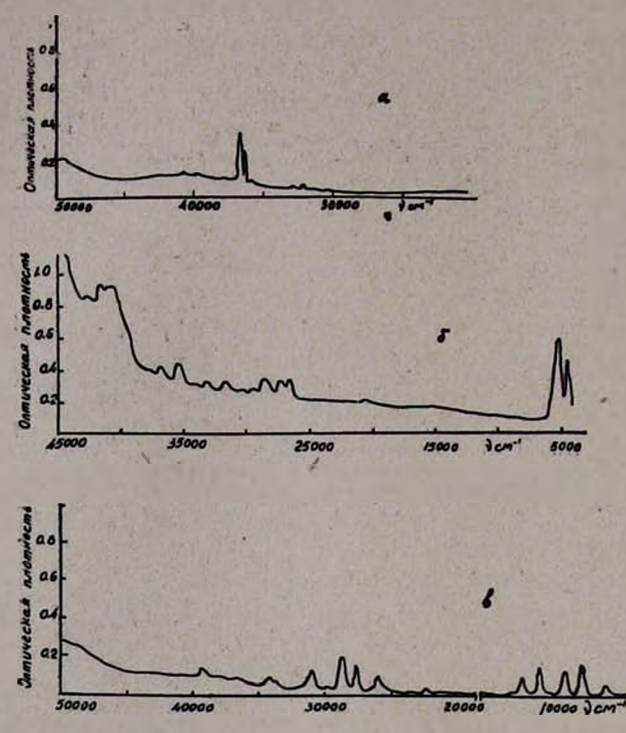


Рис. 3. Спектры поглощения фторбериллатного стекла, активированного фторидами: а — гадолиния; б — тербия; в — диспрозия. $GdF_3 - 1$ мол. $^0/_0$ (варка в атм. азота), толщина — 5 мм; $TbF_3 - 1$ мол. $^0/_0$ (варка в атм. азота). толщина — 24,05 мм; $DyF_3 - 1$ мол. $^0/_0$ (варка в атм. аргона), толщина — 5,06 мм.

Основные полосы обнаружены при частотах 41500, 40857, 36800, 35350, 33100, 31550, 29400, 28500, 27200, 26500, 5250, 5050, 4450 $c.m^{-1}$.

Писпрозий (4f°). Стекла, активированные диспрозием, слабо окрашены в желтый цвет. Здесь тоже, как и для тербия, отсутствуют острые и выраженные максимумы. Величины максимумов полос поглощения, в среднем, равны между собой при различных частотах спектра. Спектр диспрозия во фторбериллатном стекле представлен на рисунке Зв. Характерные полосы поглощения для диспрозия обнаружены при частотах 39150, 34000, 30950, 28700, 27550, 25950, 22100, 12350, 11000, 9050, 7800, 5850 cм $^{-1}$.

Гольмий (4 f^{10}). Стекла, активированные гольмием, окрашены в желтый цвет. На рисунке 4а приводится спектр поглощения фторбериллатного стекла со фтористым гольмием. Здесь по всей спектральной области от 49000 до 4000 см $^{-1}$ вырисовываются узкие и выра-

женные полосы поглощения. В ультрафиолетовой области частот наиболее характерные полосы обнаружены при 41500, 35950, 34850, 29950, 28960 и 27700 c_{M}^{-1} .

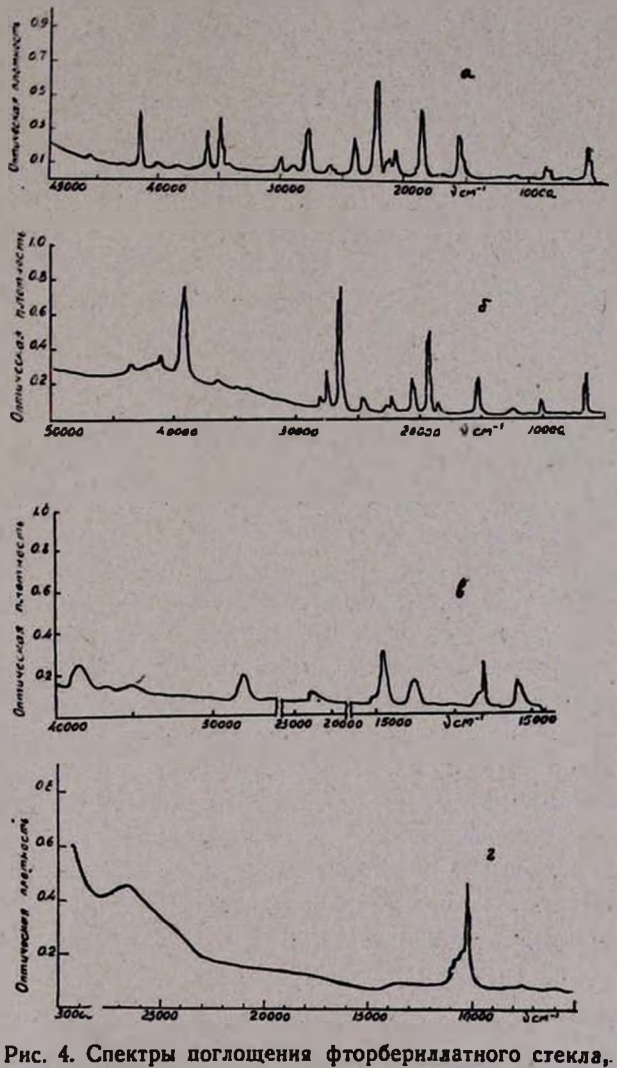


Рис. 4. Спектры поглощения фторбериллатного стекла, активированного фторидами: а — гольмия; б — эрбия; в — тулия; г — иттербия. $HoP_3 = 1$ мол. $^0/_0$ (варка в атм. азота), толщина — 5.06 мм; $ErF_3 = 1$ мол. $^0/_0$ (варка в атм. аргона), толщина — 5.05 мм; $TuP_3 = 1$ мол. $^0/_0$ (варка в атм. азота), толщина — 5.05 мм; $YbP_3 = 1$ мол. $^0/_0$, толщина — 5.06 мм.

В видимой части спектра отличаются полосы 25950, 24000, 22200, 21400, 21200, 20600, 18700, 15600 cm^{-1} . В длинноволновой области спектра до 5000 cm^{-1} можно обнаружить полосы при 8600, 8300 и 5050 cm^{-1} .

Эрбий (4 f^{11}). Стекла, активированные фтористым эрбием, окрашены в розовый цвет. Спектр поглощения представлен на рисунке 46. Основные выраженные полосы поглощения для эрбия во фторбериллатном стекле обнаружены при частотах 43520, 41150, 39200, 36400, 28100, 27500, 26600, 26400, 24700, 22300, 20600, 19200, 18500, 15350, 12350, 10150, 6600, 6450 cm^{-1} .

Тулий (4 f^{12}). Стекла, активированные фтористым тулием, бесцветны. Основные выраженные полосы поглощения для тулия во фторбериллатном стекле обнаружены при частотах 5950, 8050, 12420, 12700, 14520, 15100, 21200, 21600, 28000, 35150, 36600, 38400 см⁻¹ (рис. 4в).

Иттербий (4 f^{13}). Стекла, активированные фтористым иттербием, бесцветны. Их спектр поглощения состоит, в основном, из двух полос, расположенных в ультрафиолетовой и инфракрасной областях спектра (рис. 4г).

Наблюдаемые полосы поглощения иттербия имеют следующие частоты 26600 и 10200 cm^{-1} . При 10750 и 10400 cm^{-1} намечаются слабые перегибы.

Полученные электронные и колебательные спектры показывают, что основные характерные полосы поглощения, которые наблюдаются в кислородсодержащих стеклах [5, 6, 8], сохраняются и во фторбериллатных матрицах, но расщепления полос в указанных основах отличны. Это явление, в основном, связано с изменением силы кристаллического поля и лигандов, окружающих активатор.

Все наблюдаемые полосы поглощения являются зяпрещенными, так как термы происходят из f^n конфигурации и сила осциллятора соответствующих полос мала. Поэтому для исследования спектров поглощения необходимы высокие концентрации редкоземельных активаторов.

Судя по спектрам поглощения, можно предполагать, что для создания ОКГ на основе фторбериллатных стекол самыми перспективными активаторами являются Nd, Tb, Dy, Yb, Gd, Er, Ho.

ՀԱԶՎԱԳՅՈՒՏ ՀՈՂԱՅԻՆ ՖՏՈՐԻԴՆԵՐՈՎ ԱԿՏԻՎԱՑՎԱԾ ՖՏՈՐՔԵՐԻԼԻՈՒՄԱԿԱՆ ԱՊԱԿԻՆԵՐԻ ԿԼԱՆՄԱՆ ՍՊԵԿՏՐՆԵՐԸ ՀԱՃԱԽԱԿԱՆՈՒԹՅԱՆ ԼԱՅՆ ՏԻՐՈՒՑԹՈՒՄ

น. น. บนคงนคงนะ

Udhnhnid

Հետազոտված են հազվագլուտ հողալին էլեմենտների ֆտորիդներով ակտիվացված ֆտորբերիլիումական ապակիների էլեկտրոնալին և տատանողական կլանման սպեկտրները, Ցուլց է տրված, որ ԹԹվածնալին ապակիներում դիտվող հազվագուլտ հողալին իոնների բնորոշ կլանման գծերը պահպանվում են նաև ֆտորբերիլիումական ապակիներում։ արով անակարա արդեր արդեր իր արդեր արդակին արդակիներից արդեր արդեր

դոլինիումը, հոլմիումը և Էրբիումը,
հոլինիումը, հոլմիումը և Էրբիումը, դիսպրոզիումը, կոնֆիգուրացիուի։
հումական ըվանտանին գեներատորների ստեղծման գործում ֆտորբերիհումական ապակիների համար ամենից հեռանկարալին ակտիվատորները
հանդիսանում են նեոդիումը, ահրբիումը, դիսպրոզիումը, իտերբիումը, գահլանման բնորոշ չևրահրը արդելված են շնորհիվ ք և կոնֆիգուրացիուի։
հումական արդելան և Էրբիումը,

ЛИТЕРАТУРА

- 1. V. M. Goldschmidt, Zt. techn. Phys., 2, 251 (1927); В. П. Доронина, Л. А. Исупов, Т. П. Лазаренко, Л. Р. Бацанова, Неорган. материалы, 3, 1500 (1967); Г. Т. Петровский, П. П. Феофилов, Г. А. Цурикова, Оптика и спектроскопия, 20, 519 (1966); Г. Т. Петровский, М. Н. Толстой, П. П. Феофилов, Г. А. Цурикова, Оптика и спектроскопия, 21, 126 (1966); И. А. Жмырева, И. В. Ковалева, В. П. Колобков, П. И. Кудряшов, Г. А. Мокеев. Т. Г. Петровский Г. А. Цурикова, Изв. СО АН СССР, ХН, № 9, 29 (1967); С. Г. Лунтер, Г. О. Карапетян, Д. М. Юдип, Изв. СО АН СССР, ХН, № 9, 46 (1967); Н. М. Медведев, А. А. Маргарян, Изв. АН АрмССР, ХН, 18, 437 (1965); А. А. Маргарян, Н. М. Медведев, Арм. хим. ж., 19, 167 (1966).
- 2. В. Е. Warren, С. F. Hill, Zt. Kristallogr., 89A, 481 (1934); Г. Т. Петровский, Неорган. материалы, 3, 206 (1967); Г. Т. Петровский, ЖНХ, 12, 485 (1967).
- 3. F. H. Norton, Glass. Industry, 2, 45 (1935).
- 4. М. А. Ельяшевич, Спектры редких земель, Гостехиздат, Москва-Лениград, 1953.
- 5. В. В. Варгин, Производство цветного стекла, Гизлегпром. Москва—Ленинград, 1940.
- 6. W. A. Weyl, Coloured Glasses. Sheffild, 1951.
- 7. А. А. Маргарян, Арм. хим. ж., 20, 270 (1967); А. А. Маргарян, К. С. Евстропьев, Неорган. материалы, 4, 116 (1968).
- 8. Г. О. Карапетян, А. Л. Рейшахрит, Неорган. материалы, 3, 217 (1967).

XXII, № 8, 1969

УДК 543.422.4+547.853.3

производные пиримидина

XII. ИССЛЕДОВАНИЕ ТАУТОМЕРИИ 2-(4'-АЛКОКСИБЕНЗИЛ) -4,6-ДИЗАМЕ-ЩЕННЫХ ПИРИМИДИНОВ МЕТОДОМ ИКС

л. в. хажакян, р. г. мелик-оганджанян и А. А. Ароян

Институт тонкой органический химии АН Армянской ССР Поступило 27 XII 1968

110C1 y 11 11 1300

Методом инфракрасной спектроскопии исследованы структуры 2-(4'-аакоксибензил)-4,6-диокси — (I), -4-окси-6-амино — (II), -4,6-диокси-5-(4'-метоксибензил) — (III), -4,6-диметокси—(IV) и -4,6-диамино—(V) пиримидинов. Описан синтез IV и V. Рис. 2, библ. ссылок 13.

Ранее сообщалось [1] о синтезе некоторых производных пиримидина с формулами I, II, III

имеющих высокую температуру плавления и практически нерастворимых как в полярных, так и в неполярных растворителях. Так как окси- и аминосоединения пиримидинового ряда являются потенциальными таутомерами, то для определения их возможной структуры были исследованы ИК спектры этих веществ.

В сравнительно ранних работах для производных пиримидина, содержащих в 2,4,6-положениях кислородный атом, предлагалась, в основном, оксиформа. Так, Блоут м Филдс [2] для урацила и тимина предлагают следующие структуры:

Исходя из УФ спектров, Аустин [3] для урацила предлагает оксо-окси структуру. Но уже Ангел [4] и Аридт [5] для урацила предлагают диоксостроение, а для барбитуровой кислоты—смешанную форму, т. е. наличие двух оксо- и одной оксигруппы.

Браун и Шорт [6], исследуя таутомерные превращения окси- и аминопиримидинов с помощью ИК и УФ спектров в водных растворах, приходят к выводу, что-4-оксипиримидин имеет лактамную, а 4-аминопиримидин—аминоструктуру.

В ИК спектрах барбитуровой кислоты Шейнкер [7] находит полосы в области1700 см⁻¹, характерные для группы С=О, и не находит полосы ароматических двойных связей. Эти данные автор объясняет тем, что барбитуровая кислота в кристаллическом состоянии находится в триоксоформе.

Хромов-Борисов и Хейфиц [8], исследуя различные производные пиримидина, нашли, что хлороксипиримидин существует в виде димерной оксиформы следующегостроения:

При исследовании 4,6-диоксипиримидина те же авторы [9] пришли к заключению, что в водном растворе вещество существует преимущественно кяк 4-окси-1Н-пиримид-6-он, который находится в таутомерном равновесии с диоксоформой, а в спиртовом растворе и в диметилсульфоксиде—в оксо-оксиформе [10].

Кроме соединений I, II, III (R=CH₃), с целью получения сравнительных данных мы синтезировали и исследовали также ИК спектры 2-(4'-метоксибензил)-4,6-диметокси-(IV) и -4,6-диаминопиримидинов (V):

Вещества I, II, III очищались по описанному ранее методу [1]. ИК спектры сняты на приборе UR-10 в виде суспензий в вазелиновом масле или таблеток с КВг.

На рисунке 1а приведен спектр веществя IV. Здесь в области двойных связей находится поглощение $1610 \ cm^{-1}$, которое следует приписать колебанию бензольного ядра. Другие колебания, присущие валентным колебаниям C=O или деформационным колебаниям NH отсутствуют. Колебание $1585 \ cm^{-1}$ относится к ароматическому пиримидиновому ядру [11].

В этой области на рисунке 16 (вещество V) прибавился дуплет $1640-1650\ cm^{-1}$ — поглощение, характерное для деформационных колебаний NH₂. На рисунке 1в приведен спектр вещества II. Здесь область $1600-1700\ cm^{-1}$ отличается от спектров 1а и 16 тем, что прибавилось поглощение $1670\ cm^{-1}$, которое приписывается ассоцированному C=O [12]. Интенсивность поглощений 1585 и $1640\ cm^{-1}$ уменьшилось.

Спектр вещества I (рис. 1г) содержит такие же группы в области 1600—1700 см⁻¹, что и спектр вещества II с той лишь разницей, что

поглощение $1585 \, cm^{-1}$ совсем исчезло, а $1640 \, cm^{-1}$ стало еще меньше. Эти данные говорят о присутствии группы C=O в I (а также в небольшом количестве в II) и отсутствии ароматического пиримидинового ядра в веществе I.

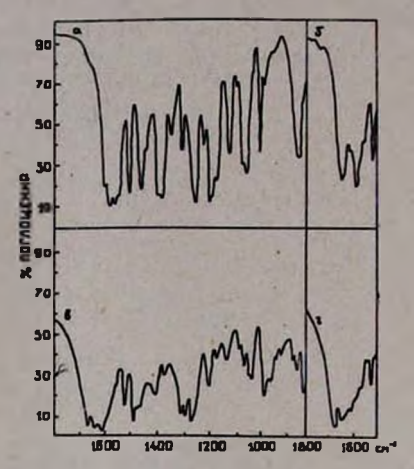


Рис. 1. ИК спектры (таблетки с КВг): а — вещество IV; 6 — вещество V; в — вещество II; г — вещество I.

В области валентных колебаний групп ОН и NH ($2600-3600\ cm^{-1}$) для вещества II (рис. 2a) характерны частоты 3140, 3320, $3450\ cm^{-1}$. При замене ОН в II на NH₂ (V) появляются новые полосы 3470, $3120\ cm^{-1}$ (рис. 26).

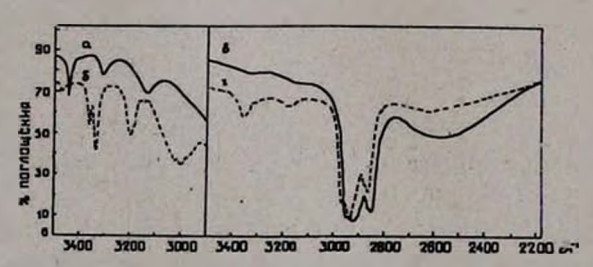


Рис. 2. ИК спектры в (вазелиновом масле): а — вещество II; 6 — вещество V; в — вещество I; г — вещество III.

Спектр вещества I имеет другой вид. На рисунке 28 в области $3000-3600~cm^{-1}$ нет сильных поглощений, соответствующих валентным колебаниям OH и NH, видны лишь еле заметные следы поглощения 3150, $3350~cm^{-1}$ и очень сильная и широкая полоса $2600~cm^{-1}$. Такое поглощение обычно имеют вещества с сильными межмолекулярными или внутримолекулярными ассоциациями типа жирных кислот. Причиной такого понижения поглощения группы NH надо считать перенос протона в ассоцированной молекуле [13]. Появление только одной широкой полосы для вещества I с OH и NH (в цикле)

группами показывает, что обе группы поглощают примерно в одной области.

Исходя из этих данных, а именно, наличия сильного поглощения ОН и NH, смещенного около $1000\ cm^{-1}$ в сторону меньших частот, наличия ассоцированного C=O, отсутствия ароматического пиримидинового ядра и наличия еле заметных полос 3150 и $3350\ cm^{-1}$, а также учитывая высокую температуру плавления и практическую нерастворимость вещества I, можно предполагать, что 2-(4'-метоксибензил)-4,6-диоксипиримидин в кристаллическом состоянии имеет оксо-окси структуру в виде полимерных ассоциаций приведенного строения, где связь между молекулами осуществляется через водородные мостики.

Группы NH и OH, образующие эти мостики, поглощают в области $2600~cm^{-1}$, карбонил — $1670~cm^{-1}$, концевые группы цепочек — 3150~u $3350~cm^{-1}$. Очень слабая интенсивность последних двух поглощений указывает на то, что цепочки полимеров очень длинные и, следовательно, мало и количество концевых групп.

На рисунке 2г приведен спектр вещества III в области 2600—3600 см⁻¹. Сравнение рисунков 2в и 2г показывает увеличение интенсивности поглощения концевых групп 3150—3350 см⁻¹ и уменьшение количества ассоцированных групп NH и OH, участвующих в образовании водородных мостиков. Это, по-видимому, следует объяснить тем, что введение в 5-ое положение I второго 4-метоксибензильного радикала приводит к пространственным затруднениям, препятствующим образованию длинных цепочек. В результате увеличивается количество концевых групп OH и NH.

Нами были исследованы ИК спектры соединений I, II, III, V, и с другими значениями R, однако было установлено, что величина алкоксильного радикала в бензольном ядре не влияет на поведение замещенного пиримидинового кольца.

Экспериментальная часть

2-(4'-Метоксибензил)-4,6-диметоксипиримидин (IV). К раствору 5,38 г (0,02 моля) 2-(4'-метоксибензил)-4,6-дихлорпиримидина в 50 мл абсолютного метанола добавляют метилат натрия, приготовленный из 0,92 г (0,04 г-ат.) натрия и 25 мл абсолютного метанола. Отфильтровывают выпавший хлористый натрий и отгоняют метанол в вакууме водоструйного насоса. К маслообразному остатку добавляют 25 мл

воды и экстрагируют эфиром. Отгоняют растворитель и остаток сущат в вакуум-эксикаторе. Выход маслообразного IV $90^{\circ}/_{\circ}$. Хроматографированием в тонком слое силикагель—гипс (система: бензол—этилацетат, 3,5:1,5) выявлено одно пятно $R_f = 0,65$. Найдено ${}^{\circ}/_{\circ}$: С 64,48; Н 6,06; N 10,58. С ${}^{14}/_{18}N_2O_3$. Вычислено ${}^{\circ}/_{\circ}$: С 64,60; Н 6,20; N 10,58.

2-(4'-Метоксибензил)-4,6-диаминопиримидин (V). В стальной автоклав емкостью 100 мл помещают 2,7 г (0,01 моля) 2-(4'-метоксибензил)-4,6-дихлорпиримидина, 50 мл абсолютного этанола, содержащего 0,05—0,06 моля аммиака, и нагревают при 300° около 8 часов. Затем к охлажденной до комнатной температуры реакционной смеси приливают 30 мл 10^{0} /0-ного раствора едкого натра и отгоняют спирт. Выпавшие кристаллы отсасывают, промывают водой и перекристаллизовывают из этанола. Выход $91,3^{0}$ /0; т. пл. $211-212^{\circ}$. Найдено 0^{0} /0: С 62,54; Н 6,32; N 23,95. С₁₂Н₁₄N₄O. Вычислено 0^{0} /0: С 62,59; Н 6,12; N 24,33.

ՊԻՐԻՄԻԴԻՆԻ ԱԾԱՆՑՑԱԼՆԵՐ

XII. 2-(4'-ԱԼԿՕՔՍԻԲԵՆԶԻԼ)-4,6-ԵՐԿՏԵՂԱԿԱԼՎԱԾ ՊԻՐԻՄԻԴԻՆՆԵՐԻ ՏԱՈՒՏՈՄԵՐԻԱՅԻ ՀԾՏԱԶՈՏՈՒՄ ԻԿՄ ՄԵԹՈԴՈՎ

L. J. LUBUSUL, A. S. UBLEP-OZULZULSUL E Z. U. ZUPASUL

Ldhnhnid

Ինֆրակարմիր սպեկտրասկոպիալի մեթոդով ուսումնասիրված է 2-(4'-ալկօքսիրենդիլ)-4,6-դիօքսի—(1), -4-օքսի-6-ամինա—(11), -4,6-դիօքսի-5-(4'Ճեթօքսիրենդիլ)—(111), -4,6-դիմեթօքսի—(1V) և -4,6-դիամինա—(V) պիրիմիդինների կառուցվածքը։

Սպեկտրները նկարահանված են UR-10 սարջի վրա, իրըև սուսպենզիաներ վաղելինի լուղի մեջ և կալիումի բրոմիդի հետ, հարերի ձևով,]V
նլուԹի սպեկտրը պարունակում է 1610 սմ⁻¹ (բենզոլի օղակի կրկնակի կապերը) և 1585 սմ⁻¹ (արոմատիկ պիրիմիդինալին օդակ) կլանումները, V
նլուԹի սպեկտրը, բացի նշված կլանումներից, պարունակում է NH₂-ին բետբոշ 1640—1650 սմ⁻¹ դուպլետը,]| նլուԹի սպեկտրում նկատվում է 1585
և 1640 սմ⁻¹ կլանումների նվազում և նոր կլանում 1670 սմ⁻¹ տիրուլԹում
(ասոցված C=O), իսկ I նլուԹի սպեկտրում չկա 1585 սմ⁻¹, ավելի փոջր
է դարձել 1640 սմ⁻¹ կլանումը և պահպանվել են կլանումները 1600—
1700 սմ⁻¹ տիրուլԹում,

գահ երսևսշ, 3120—3320 ող_{-լ} ակևունեուղ ավելն իրաթրոնվ ինարուղսվ։ ահ լջնունը առավանապես բուլը ոտերիանը գանտինը խղերև չագուլը վեջակուղ ուրի զատավանապես բուլը ոտերիանն գանտինը խղերև չագրով։ III ընսւնը ուրի դատավանապես բուլն ոտերիանը գանտինը խղերև չա-

ЛИТЕРАТУРА

- 1. А. А. Ароян, Р. Г. Мелик-Оганджанян, Арм. хим. ж., 20, 314 (1967); А. А. Ароян, Р. Г. Мелик-Оганджанян, Б. Т. Гарибджанян, Г. М. Степанян, Арм. хим. ж., 21, 868 (1968).
- 2. E. R. Blout, M. Flelds, J. Am. Chem. Soc., 72, 479 (1950).
- 3. J. E. Austin, J. Am. Chem. Soc., 56, 2141 (1934).
- 4. C. L. Angell, J. Chem. Soc., 1961, 505.
- F. Arndt, Rev. Fac. Sci., Istanbul, 1944, 2A, 19; L. N. Short, H. W. Thompson,
 J. Chem. Soc., 1952, 168.
- 6. D. J. Brown, L. N. Short, J. Chem. Soc., 1953, 331.
- 7. Ю. Н. Шейнкер, ЖФХ, 30, 79 (1956).
- 8. Н. В. Хромов-Борисов, Г. М. Хейфиц, ЖОХ, 34, 1321 (1964).
- 9. Г. М. Хейфиц, Н. Б. Хромов-Борисов, ЖОХ, 34, 3134 (1964).
- 10. Г. М. Хейфиц, Н. В. Хромов-Борисов, ЖОрХ, 2, 1516 (1966).
- 11. W. K. Thompson, J. Chem. Soc., 1962, 617.
- 12. Ю. Н. Шейнкер, Т. В. Гортинская, Т. П. Сычева, ЖФХ, 31, 599 (1957).
- 13. L. F. Bellamy, P. G. Rogasch, Proc. Poy. Soc., A 257, 98 (1960).

XXII Nº 8, 1969

НЕОРГАНИЧЕСКАЯ И АНАЛЕТИЧЕСКАЯ ХИМИЯ

УДК 543.258+546.72

КУЛОНОМЕТРИЧЕСКИЙ МЕТОД ОПРЕДЕЛЕНИЯ КОНЦЕНТРАЦИИ Fe (II) ЭЛЕКТРОЛИТИЧЕСКИ ГЕНЕРИРОВАННЫМ БРОМОМ С БИАМПЕРОМЕТРИЧЕСКОЙ ИНЛИКАЦИЕЙ ЭКВИВАЛЕНТНОЙ ТОЧКИ

Р. А. КРОПИВНИЦКАЯ

Институт тонкой органический химин АН Армянской ССР

Поступило 18 X 1968

Разработана методика кулонометрического анализа железа (II) в количестве 10^{-3} мэкв и выше. Электролитически генерируемый бром является окислителем и переводит двухвалентное железо в трехвалентное. Конечная точка титрования определяется биамперометрически. Погрешность метода при анализе от 0,5 до 1,1 мг Pe^{++} составляет 1,153%.

Рис. 2, табл. 1, библ. ссылок 4.

Кулонометрическое определение концентрации ионов железа (II) электролитически генерированным бромом имеет ряд преимуществ перед известными методами определения концентрации железа в различных средах [1].

Существенным преимуществом его является возможность выполнения анализа без применения трудностандартизируемых титрованных растворов и без предварительной калибровки приборов, значительно ускоренное проведение анализа, не требующего предварительного отделения ионов железа от анализируемой среды, и определение ионов Fe (II) в присутствии ионов Fe (III). Процесс длится 3—5 минут.

Принципиальная возможность применения кулонометрического метода определения закисного железа электрогенерированным бромом основана на реакциях:

$$2Br^- - e \longrightarrow Br_2$$
 (на генераторном аноде)
$$Fe^{++} - e \longrightarrow Fe^{+++}$$

$$Br_2 + 2e \longrightarrow 2Br^-$$
 (на индикаторных электродах).

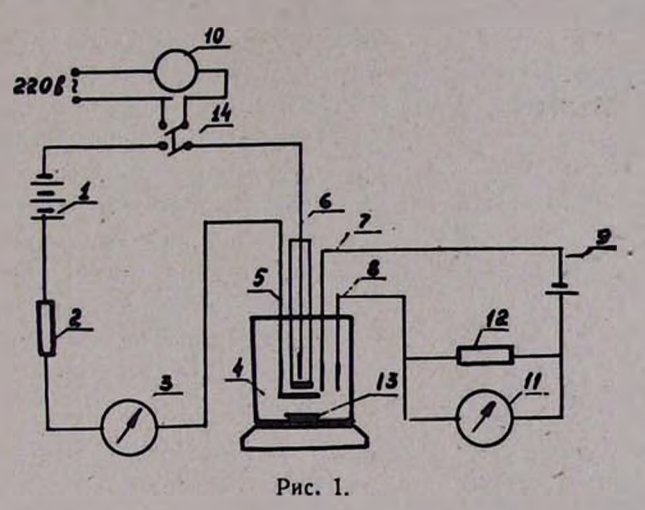
Сопоставление редокс-потенциалов для системы Fe (III)/Fe (II) ($E_0 = +0.77$ в) и системы $Br_2/2Br - (E_0 = +1.07)$ дает возможность предполагать, что реакция железа (II) с бромом проходит количественно, в соответствии со стехиометрией:

$$Fe^{++} + \frac{1}{2}Br_2 \longrightarrow Fe^{+++} + Br^-$$
.

Для выяснения оптимальных условий определения двухвалентного железа настоящая работа проводилась на основе раствора соли Мора, содержащего 0,224 мг Fe⁺⁺-нона в 1 мл.

Предлагаемый нами метод предназначен для определения концентрации ионов железа в количестве от 10^{-3} мэкв и выше. На основе данного метода нами были проведены определения концентрации ионов железа в $15^{0}/_{0}$ -ном растворе поливинилового спирта, в насыщенном растворе алюмоаммиачных квасцов и в воде промышленных стоков производства фурфурола.

Если в анализируемом растворе предполагается наличие двух- и трехвалентного железа, такую пробу перед кулонометрическим определением пропускают через редуктор Джонса [2] для восстановления трехвалентного железа в двухвалентное. Другие известные методы восстановления неприемлемы, так как, применяя их, мы вводим вещества, реагирующие с бромом.



Кулонометрическая установка состоит из электролитическойячейки, генераторной и индикаторной цепи (рис. 1). Генераторная цепь состоит из источника постоянного тока 1- три батареи БАС-80, сопротивления $2-20\,000$ ом, амперметра M 358 3, тумблера 14 и электросекундомера 10. Индикаторная цепь состоит из источника тока 9— элемента 3-С-Л-30, потенциометра 11- ЛПУ-01, сопротивления 12-100 ком. Электролитической ячейкой 4 служит стакан емкостью 150 мл, снабженный крышкой из винилпласта с пятью отверстиями для катодной камеры 6 и генераторного анода 5, двух индикаторных электродов 7, 8 и отверстия для внесения пробы, на время анализа закрыраемого пробкой. Перемешивание производится при помощи магнитной мешалки. Генераторный катод 6 представляет собой спираль из платиновой проволоки диаметром 0,5 мм и длиной 2 см; генераторным анодом служит плоская спираль из платиновой проволоки диаметром 0,5 мм и длиной 10 см. Катод помещен в катодную камеру, представляющую собой стеклянную трубку с дном из пористого стекла № 4. Анод расположен непосредственно у пористого дна катодной камеры. Индикаторными электродами служат две платиновые пластинки размером в 1 $c M^3$.

Сила тока во время генерации брома равнялась 10 ма. На индикаторные электроды подавалось напряжение 0,5—0,6 в.

Фоном для индикации железа, а также источником генерируемого брома является электролит состава: 0,1 н КВг в 0,2 н NaOH и 1,0 н CH,COOH.

В качестве католита применен этот же состав. С целью получения стабильных результатов при проведении анализа каждой пробы в электролит вводится в качестве катализатора 1 мл 0,01 н раствора CuSO₄ [3].

Ход анализа

В электролитическую ячейку заливают 50 мл электролита, состоящего из 0,1 н КВг, 0,2 н NаОН и 1,0 н СН,СООН. Затем вводят

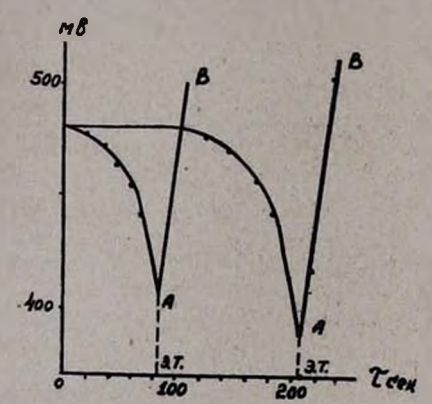


Рис. 2. AB — избыток генерируемого брома; Э. Т. — эквивалентная точка.

1 мл 0,01 и p-pa CuSO₄ и анализируемую пробу. Включают электромагнитную мешалку и после тщательного перемешивания включают генераторную цепь, фиксируя изменение напряжения на индикаторной цепи от времени генерации брома. Форма кривой показана на рисунке 2,

Содержание железа в анализируемой пробе рассчитывается по формуле:

$$P = \frac{0.01036 \cdot J \cdot \tau \cdot M}{V}$$

где P— количество определяемого вещества, mz; 0,01036 — постоянная величина, равная mz-экв определяемого вещества, отвечающего одному кулону; J— сила тока, a; τ — время, сек; M— молекулярный вес определяемого вещества, mz; V— объем пробы, mz.

Приведенные данные дают возможность определять концентрацию двухвалентного железа кулонометрическим методом при постоянном токе электролитически генерированным бромом, биамперометрической индикацией эквивалентной точки титрования.

Погрешность метода, вычисленная методом математической статистики [4], составляет $1.153^{\circ}/_{\circ}$ при величине пробы от 0.4 до 1.2 мг (см. табл.). Наилучшие результаты были получены при величине $\mathrm{Fe}^{++}-1$ мг, силе генераторного тока 10 ма и электролите 0.1 н КВг в 0.2 н NаOH и 1.0 н CH, COOH.

Таблица

Результаты определения концентрации двухвалентного железа в растворе соли Мора кулонометрическим методом

Fe	++, M2			111134	Границы
взято	найдено	сек	º/o	⁰ / ₀ средн.	достоверности при α =0,95
0,448 0,448 0,448 0,448 0,448	0,453 0,453 0,458 0,453 0,458	78 78 79 79 78 79	101,1 101,1 102,2 101,1 102,2	101,54	101,54 <u>+</u> 2,28
	$\overline{X} = 0,455$	78,4			
0,672 0,672 0,672 0,672 0,672	0,667 0,673 0,673 0,673 0,667	116 117 117 117 116	99,26 100,15 100,15 100,15 99,26	99,79	99,79 <u>+</u> 0,68
	$\overline{X} = 0,671$	116	-T+	25	
1,120 1,120 1,120 1,120 1,120	1,119 1,114 1,119 1,119 1,114	193 192 193 193 192	99,91 99,46 99,91 99,91 99,46	99,73	99,73±0,48:
	$\overline{X} = 1,117$	192,6	Kit.		14

ԷԼԵԿՏՐԱԼԻՏԻԿՈՐԵՆ ԴԵՆԵՐԱՑՎԱԾ ԲՐՈՄՈՎ Fe(II) ԿՈՆՑԵՆՏՐԱՑԻԱՑԻ ՈՐՈՇՄԱՆ ԿՈՒԼՈՆԱՉԱՓԱԿԱՆ ՄԵԹՈԴ ՀԱՄԱՐԺԵՔ ԿԵՏԻ ԲԻԱՄՊԵՐԱՉԱՓԱԿԱՆ ԵՂԱՆԱԿՈՎ

Ռ. Ա. ԿՐՈՊԻՎԻՆԻՑԿԱՑԱ

Udhahnid

Մշակված է 10⁻³ և ավելի միլիհամարժեք քանակությունների համար կուլոնամետրիկ անալիզի մեթողիկա։ Էլեկտրալիտիկորեն գեներացվող բրոմը հանդիսանում է օքսիդիչ և երկվալենտ երկաթը դարձնում է եռվա-լենտ։ Տիտրման վերջնակետը որոշվում է բիամպերամետրիկ եղանակով։ 0,5-ից մինչև 1,1 մգ Fe⁺⁺-ի անալիզի ժամանակ մեթոդի սխալը կազմում է 1,153⁰/₀։

ЛИТЕРАТУРА

- 1. T. Takahashi, H. Sakuarai, Talanta, 5, 205 (1960).
- 2. Г. Шарло, Методы аналитической химин, Изд. "Химия", Москва—Ленинград, 1966, стр. 195.
- 3. P. S. Farrington, W. P. Schaefer, Anal, Chem., 33, 1318 (1961).
- В. В. Налимов. Применение математической статистики при анализе веществ.
 Изд. физ-мат. литературы, Москва, 1960.

XXII, № 8, 1969

УДК 543.062+546.27

ОПРЕДЕЛЕНИЕ БОРА В ОРГАНИЧЕСКИХ СОЕДИНЕНИЯХ

А. А. АБРАМЯН, М. А. ГЕВОРКЯН и Р. С. САРКИСЯН

Институт органической химии АН Армянской ССР, Армянский государственный педагогический институт им. X. Абовяна

Поступило 19 VI 1968

Разработан простой и быстрый способ определения бора в органических соединениях. Органические соединения нагревают при 400—500° в течение часа в присутствии перманганата калия в запаянных стеклянных трубках. Выделившаяся при количественном окислении органического соединения борная кислота с маннитом образует маннитоборную кислоту, которую титруют 0,1 и раствором гидроокиси натрия. Абсолютная точность определения бора ±0,20%.

Табл. 1. библ. ссылок 1.

Борсодержащее органическое соединение подвергают минерализации как мокрым, так и сухим способом. Полученную борную кислоту в присутствии маннита титруют водным раствором щелочи (в качестве индикатора применяют фенолфталеин). Маннитоборную кислоту можно определить потенциометрическим титрованием, колориметрическим, а также фотометрическим способами.

На основе прежних наших работ [1] мы разработали новый, простой и быстрый способ определения бора в органических соединениях. Борсодержащее органическое соединение нагревают в присутствии перманганата калия в стеклянных запаянных трубках при 400—500° в течение часа. Содержимое трубки обрабатывают азотной кислотой и образующуюся борную кислоту в присутствии маннита титруют водным раствором гидроокиси натрия.

Экспериментальная часть

Навеску (7—10 мг) борорганического соединения взвешивают в запаянной с одного конца трубке длиной 18—20 см с внутренним диаметром 8—10 мм, прибавляют 130—150 мг сухого порошкообразного перманганата калия и открытый конец трубки запаивают. Трубку помещают в электропечь типа Т6—15/260 и в течение часа нагревают при 400—500°. Органическое соединение количественно окисляется, бор превращается в В₂О₃, основное количество которого собирается в заостренной части трубки, находящейся вне печи. Во избежание потерь В₂О₂, вскрытие трубки производят иначе, чем при микрокариусе. Трубку придерживают полотенцем, на 1,5—2 см ниже ее заостренной части напильником осторожно делают срез, нагревают спиртовкой эту часть и с помощью смоченной ваты, приставляемой к срезу, вскрывают трубку. Заостренную часть трубки и ее содержимое

помещают в коническую колбу емкостью 100-150 мл. Трубку несколько раз промывают смесью 7-8 мл 0,5 и раствора азотной кислоты и 15-20 капель пергидроля. В заключение трубку промывают дистиллированной водой. Содержимое колбы кипятят до растворения MnO₀ и полного разложения H₀O₀, объем раствора доводят до 20 мл. После охлаждения раствор нейтрализуют 0,1 и раствором NaOH до получения неисчезающего грязно-желтого цвета (в начале образуется белый осадок Мп(ОН), на воздухе очень быстро окисляющийся в Мп(ОН)4, имеющий бурый цвет). Затем прибавляют немного маннита (на кончике ланцета). Цвет раствора исчезает. Образовавшуюся маннитоборную кислоту титруют 0,1 н раствором NaOH. При этом непрерывно добавляют маннит и смешивают раствор до появления желтого цвета, который при дальнейшем добавлении маннита не исчезает. Общее количество расхода маннита составляет 1,5-2 г. Израсходованный при титровании 1 мл 0,1 и NaOH соответствует 1,082 мг бора. При массовом анализе, не считая времени, расходуемого для разложения органического вещества, на одно определение тратится 20-25 минут.

Таблица

		B, %					
Вещества	Навеска, м2	вычис- лено	найдено	разница			
C ₄ H ₁₈ B ₁₀ O ₂	8,55 7,28 9,00 8,60 7,78	47,0	47,18 47,05 47,20 47,15 46,96	+0,18 +0,05 +0,20 +0,15 -0,04			
C ₈ H ₁₆ B ₁₀	8,20 7,90 8,00 8,00 7,00	49,09	49,09 49,03 49,23 49,10 49,00	0,00 -0.06 +0,14 +0,01 -0,09			
C ₅ H ₁₄ B ₁₆ O ₃	8,10 7,60 8,35 10,20 8,80	50,47	50,49 50,68 50,58 50,39 50,53	+0.02 $+0.21$ $+0.11$ -0.08 $+0.06$			
C ₂ H ₂ B ₁₀ Cl ₁₀	10,50 10,90 10,50 9,25 9,30	22,40	22,49 22,53 22,36 22,54 22,45	+0,09 +0,13 -0,04 +0,14 +0,15			
C ₄ H ₁₄ B ₁₀ O ₂	9,50 9,00 8,90 8,36 8,20	53,46	53,53 53,62 53,37 53,45 53,57	+0,07 +0,16 -0,09 -0,01 +0,11			
C ₄ H ₁₆ B ₁₀ O ₂	7,78 8,20 9,36 9,00 8,10	50,00	50,06 50,14 49,77 50,21 50,09	+0.06 +0.14 -0.23 +0.21 +0.09			

Результаты анализов некоторых борорганических соединений приведены в таблице. Абсолютная точность определения бора $\pm 0.2^{\circ}/_{\circ}$.

ՔՈՐԻ ՈՐՈՇՈՒՄԸ ՕՐԳԱՆԱԿԱՆ ՄԻԱՑՈՒԹՅՈՒՆՆԵՐՈՒՄ

ու ու կթրաչատցան, տ, ա, Գեվորդցան և Ռ. Ս. Սարդսցան

Udhahaid

Մշակված է օրգանական միացություններում բորի որոշման պարզեցթած և արագ հղանակ։ Օրգանական միացությունը կալիումի պերմանգանատի
ներկալությամբ ապակե գոդված խողովակում 400—500°-ում մեկ ժամ տեվողությամբ ապակե գոդված խողովակում է օքսիդացման։ Խողովակը բաց անելուց հետո մի քանի անգամ լվանում են 7—8 մլ 0,5 ն ազոտական թթվի և 15—20 փաթիլ պերհիդրոլի խառնուրդով։ Լուծուլթը եռացնում են մինչև MnO₂ ի և H₂O₂-ի չրիվ քալքալումը, ապա ավելացնում են
թորած ջուր և ծավալը հասցնում մինչև 20 մլ. Լուծուլթը 0,1 ն NaOH-ով
չեզոքացներոց հետո առաջացած բորաթթուն մանիտի ներկալությամբ աիտթում են NaOH-ի 0,1 ն չուծույթով մինչև չանհետացող դեղին գույնի երանպավորում (NaOH-ի ազգնցությամբ առաջանում է Mn(OH)₃, որը օդում
արագ օքսիդանում է և փոխարկվում թուխ դույնի Mn(OH)₄-ի). NaOH-ի
0,1 ն լուծուլթի մեկ միչիլիարին համապատասկանում է 1,082 մզ բոր։
Բորի որոշման բացարձակ ճշտությունը ±0,200/₀ է։

ЛИТЕРАТУРА

А. А. Абрамян, Р. С. Саркисян, Изв. АН АрмССР, ХН, 12, 341 (1959); 14, 35 (1961); 15, 127 (1962); А. А. Абрамян, С. М. Аташян, М. А. Балян, Изв. АН АрмССР, ХН, 13, 343 (1960); А. А. Абрамян, Р. С. Саркисян, М. А. Балян, Изв. АН АрмССР, ХН, 14, 561 (1961); А. А. Абрамян, С. М. Аташян, Изв. АН АрмССР, ХН, 14, 441 (1961); А. А. Абрамян, М. А. Геворкян, Арм. хим. ж., 22, 128 (1969).

XXII, № 8, 1969

ОРГАНИЧЕСКАЯ ХИМИЯ

УДК 541.69+547.655.6

ИССЛЕДОВАНИЕ В ОБЛАСТИ ПРОИЗВОДНЫХ β-(1-НАФТИЛ)ПРОПИОНОВОЙ КИСЛОТЫ

А. Л. МНДЖОЯН и В. Е. БАДАЛЯН

Институт тонкой органический химии АН Армянской ССР Поступило 27 XII 1968

Для изучения зависимости между строением и спазмолитической активностью получен ряд аминоэфиров α -замещенных β -(1-нафтил)пропионовых кислот. Разработан метод синтеза 5- и 4,5-замещенных фурфурилхлоридов.

Табл. 7, библ. ссылок 26.

За последнее время появилось много работ, посвященных синтезу биологически активных соединений, содержащих в качестве основного элемента а-замещенные нафталиновые структуры [1—8].

Результаты фармакологических исследований показали, что такие соединения обладают большим спектром биологического воздействия — от нейростимулирующего до спазмолитического. Авторы отмечают, что замена бензольного кольца нафталиновым резко повышает биологическую активность соединений [1, 2]. В исследованных соединениях были препараты активнее папаверина в 30—40 раз [3], аспирина — в 2—3 раза [1], эфиров *п*-хлорфеноксиуксусной кислоты (психостимулятор) — в 5—10 раз [2] и т. д.

В продолжение исследований по синтезу спазмолитических препаратов был получен ряд аминоэфиров α -замещенных β -(1-нафтил)-пропионовых кислот общей формулы:

α-C₁₀H₇CH₃CHRCOOR₁.

В качестве аминоспиртов были использованы α,β -диметил- γ -диметил- и -диэтиламиновропанолы, хорошо зарекомендовавшие себя в синтезе таких ганглиолитиков как ганглерон и кватерон [9].

Для изучения зависимости между строением и спазмолитической активностью аминоэфиров в а-положение кислотной части введены незамещенный, гидрированный и 5- и 4,5-замещенные фурфуриловые остатки.

Синтез исходных кислот осуществлен по схеме:

$$\begin{array}{c} \text{RCH}_2\text{OH} & \longrightarrow \text{RCH}_2\text{CI} & \longrightarrow \text{RCH}_2\text{CH}(\text{COOC}_2\text{H}_5)_2 & \longrightarrow \\ \text{I} & \text{III} & \text{III} & \\ \\ \text{RCH}_2 & \subset \text{CCOOC}_2\text{H}_5)_2 & \longrightarrow & \text{RCH}_2 & \subset \text{CCOOH}_2 & \longrightarrow \\ \\ \alpha \cdot \text{C}_{10}\text{H}_7\text{CH}_2 & \text{CCOOH}_2 & \longrightarrow \\ \\ \text{IV} & \text{V} & \text{V} & \\ \\ & \longrightarrow & \text{CH}_2 & \text{CH}_2 & \text{CH}_2 & \text{CH}_2 & \text{COOH}_2 & \longrightarrow \\ \\ & & \longrightarrow & \text{CH}_2 & \text{CH}_2 & \text{CH}_2 & \text{CH}_2 & \text{CH}_2 & \text{COOH}_2 & \longrightarrow \\ \\ & & \longrightarrow & \text{CH}_2 & \text{$$

5- и 4,5-Замещенные фурфуриловые спирты получены с удовлетворительными выходами восстановлением алюмогидридом лития алкиловых эфиров соответствующих фуран-2-карбоновых кислот (табл. 1). Для сравнения бензфурфуриловый спирт был получен восстановлением алюмогидридом лития как кумариловой кислоты [16], так и ее этилового эфира. В обоих случаях выход был почти одинаковым — порядка 80—85%.

Действием на спирты I хлористым тионилом в среде абсолютного эфира получены соответствующие хлориды II. Из полученных хлоридов в литературе описаны хлористый фурфурил [17] и 5-метилфурфурилхлорид [18, 19].

Метод получения хлористого фурфурила разработан достаточно хорошо, в то время как метод получения 5-метильного производного требовал значительной доработки, так как 5-метилфурфурилхлорид получался не всегда [18]. Исследование взаимодействия 5- и 4,5-замещенных фурфуриловых спиртов с хлористым тионилом показало, что выход хлорида сильно зависит от температуры, причем оптимальная температура ограничена интервалом в несколько градусов — при температурах ниже оптимальной реакция не протекает, а выше — происходит осмоление. Оптимальные температуры сугубо специфичны: так, для 5-метильного производного она равна 2°, а не —15°, как указано в литературе [18, 19], 5-бензил- и 5-метил-4-бензил-замещенных—0°, 5-л-метоксибензила — 5—10°, 5-м, л-диметоксибензила — 5°, а 4,5-диметилзамещенного — 10°.

Проведение реакции при указанных оптимальных температурах обеспечивает выходы порядка 40—70%. Все 4- и 4,5-замещенные фурфурилхлориды нестойки и осмоляются не только при нагревании, но и в отсутствии растворителя. Попытки перегнать хлориды даже при 0,05 мм не имели успеха; поэтому для дальнейших реакций использовались концентрированные эфирные растворы.

В виду того, что хлориды не перегонялись и отпадала возможность аналитического контроля, был осуществлен встречный синтез \$-(5-бензилфуран-2)пропионовой кислоты (A, Б).

R₁—CH₂OH

		Dt CO				9.9.7	M	R_{D}		Aιι	а л	н з,	0/0	
		E E	0/0	Т. кип.,	-20	20	= 1	9		C		1	0	Н
R ₁	R ₃	Молекулярная формула	Выход,	°С/мм	d ₄ ²⁰	п ²⁰	найдено	вычислено	найдено	-5110	найдено	- H C	найдено	HC-
		Woф	Выя			-	най	P 179	най	вычис-	найу	вычис-	най	вычис-
н	CH3O-CH2	C ₁₃ H ₁₄ O ₃	84.5	187—188/5	-	-	_	-	71,54	71,53	6,80	6,47	8 90	7,82
	CH ₃ O													
Н	CH ₃ O-CH ₂	C14H16O4	52,7	210-212/5	-	-	-	-	67,51	67,74	6,21	6,50	7,53	6,87
СНа	CH ₃	C7H10O1	89,9	95—96/10	1,0522	1,4911	34,73	34,56	66,54	66,67	8,00	7,93	14,10	13,47
CH ₃	СНа	C13H14O2	74,2	167—169/5	1,1113	1,5580	58,68	58,68	77,30	77,19	6,90	6,99	9,30	8,41

A.
$$\bigcirc CH_3 \bigcirc \longrightarrow \bigcirc CH_2 \bigcirc CHO \longrightarrow$$

$$\longrightarrow \bigcirc CH_3 \bigcirc CH_2 C(COOC_2H_5)_2 \longrightarrow \bigcirc CH_2 \bigcirc CH_2 CI \longrightarrow$$

$$\longrightarrow \bigcirc CH_3 \bigcirc CH_2 OH \longrightarrow \bigcirc CH_2 \bigcirc CH_2 CI \longrightarrow$$

$$\longrightarrow \bigcirc CH_2 \bigcirc CH_2 CH(COOC_2H_5)_2 \longrightarrow \bigcirc CH_2 CH_2 CH(COOH)_2 \longrightarrow$$

$$\longrightarrow \bigcirc CH_3 \bigcirc CH_3 CH_2 COOH.$$

Метод А связан с трудностью получения соответствующих альдегидов, сложностью разделения продуктов восстановления, а при получении дизамещенных малоновых эфиров — многостадийностью. Метод Б значительно проще и доступнее. Синтезированные обоими методами образцы 5-бензилфурфурилмалоната оказались идентичными по своим физико-химическим показателям, а 5-бензилфуран-2-пропионовая кислота имела т. пл. 49—50° и при смешении не давала температурной депрессии.

Мономалоновые производные (табл. 2) получены обычным методом из соответствующих хлоридов. В случае тетрагидрофурфурильного производного использован бромид, так хак хлорид не вступает в реакцию малонового синтеза [20]. Введение второго радикала — а-нафтилметила—протекало гладко и с хорошими выходами (табл. 3). После омыления и декарбоксилирования монокарбоновые кислоты выделялись из реакционной смеси перегонкой в глубоком вакууме (табл. 4).

Хлорангидриды кислот неустойчивее соответствующих кислот, они перегоняются с трудом, с небольшим первоначальным разложением (табл. 5).

Для биологических испытаний получены четвертичные соли аминоэфиров (табл. 6, 7) — гидрохлориды и йодалкилаты. Гидрохлориды гигроскопичны, хорошо растворимы в воде. Йодалкилаты — низкоплавкие или некристаллизующиеся в отсутствии абсолютного эфира вещества.

Бумажная хроматография кислот в системе растворителей аммиачная вода—вода—этиловый спирт в соотношении 1:3:16 показала их удовлетворительную чистоту. Значения R_1 приведены в таблице 4.

ИК и УФ спектроскопия кислот подтвердила наличие соответствующих групп и заместителей.

Молекулярная формула	Выход, 0/0
C ₁₈ H ₁₈ O ₅	67,8
C ₁₃ H ₁₈ O ₅	37,7*
C ₁₉ H ₂₂ O ₅	55,6*
C ₂₀ H ₂₄ O ₆	54,7*
	100
C21H26O7	44,1*
C ₁₄ H ₂₀ O ₅	30,8*
C ₂₀ H ₂₄ O ₅	58,9*
	формула C ₁₆ H ₁₈ O ₅ C ₁₃ H ₁₈ O ₅ C ₁₆ H ₂₂ O ₅ C ₂₀ H ₂₄ O ₆ C ₂₁ H ₂₆ O ₇ C ₁₄ H ₂₀ O ₅

[•] Выход рассчитан на исходный спирт.

		- 31	M	R _D	A	налі	11 3, 0	o
Т. кип.,	.90	90	3.05	вычислено				1
Т. кип., d ₄ ²⁰ n ₁	n _D	под		найдено	вычис-	найдено	лено	
		-						
179—182/3	1,1650	1,5170	75,39	74,77	66,36	66,22	6,07	6,22
132135/3	1,0810	1,4491	63,11	64,05	60,96	61,43	6,83	7,14
201-203/3	1,1061	1,5124	89,69	88,16	69,30	69,09	6,84	6,7!
222 - 224,1	1,1321	1,5177	96,42	94,42	66,24	66,61	6,78	6,72
236—238/1	1,1649	1,5288	103,33	100,68	64,80	64,58	6,70	6,72
152—154/3	_	-	-	-	62,39	62,68	7,62	7,47
204206/1	1,1182	1,5201	94,20	92,78	70,00	69,74	7,03	7,02

R	Молекулярная формула	Выход, 0/0
	C ₂₇ H ₂₆ O ₅ *	83,0
CH ₃ -	C ₂₄ H ₂₆ O ₅	77,5
CH ₂ C	C ₃₀ H ₃₀ O ₅	74,6
CH30 CH3	C31H32O6*	74,8
CH3O CH3O	C ₃₂ H ₃₄ O ₁ *	64,9
CH ₃ -CH ₃	C ₂₈ H ₂₈ O ₅ *	55,3
CH ₂ -CO	C31H32O5*	63,5
* Вязкая жидкость.		

		MRD			A	нали	3, 0/0	
Т. кип., °С/ <i>мм</i>	d420	n ²⁰	найдено	вычислено	найдено	вычис-	найдено	лено
2-1			най	75 8	Hai	вы	най	a de
254—256/1,0	-	_	-	_	75,22	75,33	6,27	6,08
222—225/1,0	1,1808	1,5560	107,38	108,11	73,32	73,13	6,48	6,63
282-284/1,0	1,1732	1,5772	132,96	132,22	76,29	76,57	6,72	6,43
302—303/0,8	-	_	-	-	74,41	74,37	6,37	6,44
200 - 200				-				0.45
307-309/0,6	-	_	_		72,62	72,45	6,84	6,45
233—235/1,0	-	-	-	1-	73,80	73,51	7,00	6,90
297—299/1,0	_	-	-	-	76,70	76,82	6,94	6,66

Экспериментальная часть

5- и 4,5-Замещенные фурфуриловые спирты (I) получены востановлением алюмогидридом лития метиловых эфиров соответствующих фуран-2-карбоновых кислот [10—13, 15, 22—24], аналогично 5-метил и 5-бензилфурфуриловому спирту [12, 14] (табл. 1).

5- и 4,5-Замещенные фурфурилхлориды (11). К смеси 0,2 моля соответствующего фурфурилового спирта, 0,24 моля сухого пиридина, 100 мл абсолютного эфира при охлаждении до оптимальной температуры и интенсивном перемешивании прибавляют 0,22 моля хлористого тионила в 100 мл абсолютного эфира. После окончания прибавления перемешивают еще 1 час, жидкость декантируют, а осадок несколько раз промывают абсолютным эфиром. Эфирный раствор при охлаждении ледяной водой обрабатывают 25 мл 50%, ного раствора едкого кали. Эфирный раствор декантируют, сушат прокаленным сульфатом натрия и концентрируют в вакууме на холоду до объема 80—100 мл. Ввиду того, что 5- и 4,5-замещенные фурфурилхлориды осмоляются при нагревании, для дальнейшей реакции используется свежеконцентрированный эфирный раствор.

Хлористый бензофурфурил, -фурфурил и бромистый тетрагидрофурфурил получены описанными в литературе методами [16, 17, 20].

Монозамещенные малонаты (III). К алкоголяту натрия, полученному из 0,2 г-ат. натрия и 150 мл свежеприготовленного абсолютного этилового спирта, прибавляют 0,3 моля диэтилмалоната и через 30 минут при охлаждении ледяной водой прибавляют свежеконцентрированный эфирный раствор соответствующего фурфурилхлорида, полученный при хлорировании 0,2 моля спирта. Смесь оставляют на ночь, кипятят 4 часа, отгоняют растворитель, к остатку добавляют 200 мл воды и вещество экстрагируют эфиром. Эфирные экстракты сушат сульфатом натрия, отгоняют растворитель и остаток перегоняют в вакууме (табл. 2). Тетрагидрофурфурил-, фурфурил- и а-нафтилметилмалонаты получены описанными в литературе методами [20—22].

Дизамещенные малонаты (IV). К алкоголяту натрия, полученному из 0,2 молей натрия и 150 мл абсолютного спирта, прибавляют 0,2 моля монозамещенного малоната, кипятят 3 часа и по охлаждении прибавляют 0,21 моля α-хлорметилнафталина [25]. Смесь кипятят 12 часов и по охлаждении вливают в воду. Экстрагируют эфиром, сушат сульфатом натрия, отгоняют растворитель и остаток перегоняют в вакууме (табл. 3).

а-Замещенные β -(1-нафтил) пропионовые кислоты (VI). К 0,2 моля диэтилового эфира дизамещенной малоновой кислоты приливают 200 мл $15^{0}/_{0}$ -ного водно-спиртового раствора едкого кали. Кипятят 12 часов, вливают в воду, экстрагируют эфиром. К водному слою прибавляют 250 мл эфира и подкисляют разбавленной (1:1) соляной кислотой; выделившуюся кислоту экстрагируют эфиром, су-

2 - Commerce was the		1
R	Молекулярная формула	Выход, 0/0
120000	2	3
	C ₁₈ H ₃₀ O ₃ *	82,6
	C ₁₈ H ₁₈ O ₃ **	79,3
	C ₃₃ H ₁₈ O ₃	71,5
CH3-C	C ₁₉ H ₁₈ O ₃	73,0
CH ₃ -C	C ₂₅ H ₂₂ O ₃	75,2

		A		900				
Т	T	-	C	ŀ	1000			
Т. кип., °С/.и.и	Т. пл., °C	найдено	вычис-	найдено	вычис-	Rf		
15923		най	BE	най	ne.	300		
4	5	6	7	8	9	10		
	20013	1111	-1117			-		
225—226/3,0	_	-	-	-	-	0,57		
218-220/3,0	72—74	-		_	_	0,74		
	1000		277		6	5 33		
259261/3,0	111-112	80,30	79,98	5,59	5,49	0,68		
000 020/2 0	69 70	77 74	77 50		6.16	0.00		
228—230/3,0	68—70	77,74	77,52	6,44	6,16	0,80		
280-283/1.0	70—72	81,40	81,04	6,12	5,99	0,73		

1	2	3
СН3ОССН3-	C26H24O4	82,5
CH₃O.	11-35-	303
CH3OCH3-CH	C ₂₇ H ₂₈ O ₅	74,2
CH ₃ —CO	C ₂₀ H ₂₀ O ₂	55,4
CH ₃ -CH	C ₂₆ H ₂₄ O ₃	70,5

[•] Описан в литературе [5]. •• Описан в литературе [1].

Продолжение	таблицы	4
-------------	---------	---

4	5	6	7	8	9	10
274—276/0,4	-	80,13	79,98	6,31	6,04	0,90
285—288/0,4	61-62	75,07	75,34	6,29	6,11	0,82
230-232/1,0	-	78,26	77,91	6,80	6,53	0,82
264—266/0,4	51—52	81,07	81,22	6,22	6,30	0,85

		Выход, 0/0	Т. кип., °С/мм	d ²⁰	n ²⁰	MKD		Анализ, %					
R	Молекулярная формула					найдено	вычислено	С		Н		Cl	
								найдено	вычис-	пайдено	вычис- лено	найдено	вычис-
		200	3-302			Hak	73	най	BEN	Hen	вы лен	най	He He
1	2	3	1 4	5	6	7	8	9	10	11	12	13	14
	C18H19CIO2*	74,2	201-202/1.0	2-		_		71,19	71,43	6,60	6,32	12,06	11,70
	C ₁₈ H ₁₅ ClO ₂	78,2	190—192/1,0	1,2017	1,6007	80,58	80,70	72,12	72,38	5,14	5,06	11,70	11,86
	C ₃₂ H ₃₇ ClO ₂ *	80,6	228-230/1,0	_	-	_	-	76,05	75,75	5,02	4,91	9,95	10,17
CH ₃ -	C19H17CIO2	70,5	202-204/1,0	1,1781	1,5826	88,69	86,59	73,17	72,93	5,35	5,48	10,70	10,35
CH3-CH	C ₂₅ H ₂₁ CIO ₂ *	87,3	277—280/1,0	-	-	-	-	77,49	77,23	5,22	5,43	9,28	9,12

еский	1 '	2	3	4	5	6
журнал,	CH30 CH3-	C ₂₈ H ₂₃ ClO ₃ *	75,0	280—282/0,6**	-	-
XXII, 8—3	CH ₃ O CH ₃ -	C ₂₇ H ₂₅ C1O ₄ *	69,4	285—286/0.4**	_	_
	CH ₃ -CH ₃	C ₂₀ H ₁₉ ClO ₂ *	72,6	210—212/1,0		-
	CH ₃ -CH ₂ -	C ₂₆ H ₂₃ ClO ₂ *	74,1	253—255/0,6**	-	-

^{*} Вязкая жидкость.
** Перегоняется с разложением.

Продолжение	таблицы	5
-------------	---------	---

7	8	9	10	11	12	13	14
-	-	74,33	74,57	5,97	5,53	8,61	8,46
-	_	72,07	72,24	6,03	5,62	7,81	7,90
-	-	73,67	73,50	6,19	5,86	11,12	10,85
_	_	77,25	77,50	6,01	5,76	9,07	8,80

		The said		1-		M	R ₁ ,		Ан	а л	н з.	°/o	18.
		%					₽	C		Н		N	
R	Молекулярная формула	Выход, 0	Т. кип., °С/мм	d ₄ ²⁰	п <mark>2</mark> 0	найдено	вычислено	найдено	вычис-	найдено	вычис- лено	найдено	вычис-
1 - 1 - 1 - 1 - 1	2	3	4	5	6	7	8	9	10	11	12	13	14
н	C ₂₀ H ₂₇ NO ₂	90,6	182—183/1,0	1,0240	1,5415	96,22	93,42	76,40	76,60	8,91	8,70	4,67	4,47
CO-CH3	C ₂₅ H ₃₅ NO ₃ *	46,3	233—235/1,0	-	-	-	-	75,21	75,54	9,03	8 .87	3,67	3,52
CH ₃	C ₂₅ H ₃₁ NO ₃	84,7	226 - 227/1,0	1,0649	1,5448	116,71	115,02	76,38	76,29	7,85	7,95	3,70	3,56
O_CH ₂	C ₂₉ H ₃₃ NO ₃ *	88,3	261-262/1,0	-	-	_	-	78,77	78,55	7,79	7,49	3,28	3,15
CH ₃ -CH ₃	C ₂₆ H ₃₃ NO ₃	82,5	233—234/1,0	1,0571	1,5481	:22,30	119,64	76,90	76,64	7,86	8,16	3,81	3,41
CH ₂ -CH ₂	C ₃₂ N ₃₇ NO ₃ *	76,3	280-282/0,8	-	-	-	-	79,22	79,49	7,93	7,70	3,10	2.89

1	2	3	4	5
CH3O CH3-CH3	C ₂₃ H ₃₉ NO ₄ *	77,3	304-305/0,6	-
CH3O CH3-CH3	C ₃₄ H ₄₁ NO ₅ *	74,1	302—304/0,4	- 1
CH3-CH3-CH3	C ₂₇ H ₃₅ NO ₃ *	70,8	239—240/1,0	-
CH ₃ -CH ₃ -CH ₃	C ₃₃ H ₃₉ NO ₃ *	76,3	248—250/0,2	-

^{*} Вязкая жидкость.

Продолжение таблицы в

6	7	8	9	10	11	12	13	14
-	-	-	76,85	77,17	7,43	7,65	3,04	2,72
_	_	 :	74,83	75,11	8,01	7,60	2,79	2,58
-	-	-	77,21	76,93	8,60	8,37	3,10	3,32
-	-	-	79,94	79,66	8,23	7,89	3,10	2,81

R	Молекулярная формула
1	2
Н	C ₂₂ H ₃₁ NO ₂
Сн.	C ₂₇ H ₃₉ NO ₃ *
CH ₂	C ₂₇ H ₃₅ NO ₃
СН,	C ₃₁ H ₃₁ NO ₃ *
сн, —Со —сн,	C28H31NO3
Сн,-С,-сн,	C ₃₄ H ₄₁ NO ₃ *

)cı	н,снс	оосн снен	C ₂ H ₅
<	R.	CH ₃ CH ₃	C ₂ H ₅
1			

				MI	RD		Ан	я	н з,	°/o	
0/0	Т. кип.	d ₄ ²⁰	n ²⁰		OH:		2	Н		N	
Выход,	°С/мм			найдено	вычислено	найдено	вычис-	найдено	вычис-	найдено	вычис- лено
3	4	5	6,	7	8	9	10	11	12	13	14
89,8	188—190/1,0	1,0072	1,5332	105,26	102,66	77,60	77,40	9,40	9,14	3,87	4,10
42,7	240-241/1,0	-	-	-	_	76,05	76,18	9,36	9,25	3,47	3,29
81,3	233 — 234/1.0	1,0434	1,5321	125,22	124,27	76,50	76,92	8,65	8,37	3,54	3,33
85,1	270-271/1,0	_	-	-	-	78,80	78,94	8,06	7,91	3,03	2,97
83,1	240-241/1,0	1,0446	1,5420	131,24	128,87	77,45	77,20	8,51	8,56	2,95	3,22
79,5	287—288/0,8	-	-	-		80,15	79,81	7,96	8,07	2,48	2,74

1	2	3	4	5	6
CH3O CH3- CH3	C ₃₅ H ₄₃ NO ₄ *	78,7	310—311/0,6		
CH ₃ O		19.		100	
сн ₃ о Сн ₃ -Сн ₃	C ₃₆ H ₄₅ NO ₅ *	76,8	308-310/0,4	-	-
CH ₃ -CH ₂	C ₂₉ H ₃₉ NO ₃ *	72,7_	240—242/0,8	_	-
CH3-CH3-CH3	C ₃₅ H ₄₃ NO ₃ *	68,3	255-256/0,2	-	_

^{*} Вязкая жидкость.

Продолжение таблицы 7

7	8	9	10	11	12	13	14
ı	-	77,31	77,52	7,96	8,00	2,84	2,58
. –	-	75,93	75,62	8,15	7,93	2,78	2,45
-	-	77,80	77,46	9,04	8,75	3,41	3,12
-	-	80,26	79,94	8;31	8,25	2,51	2,67

шат сульфатом натрия, отгоняют растворитель, а остаток декарбоксилируют в атмосфере азота при 180-200° в течение 2 часов. Монокарбоновую кислоту перегоняют в вакууме (табл. 4).

Хлорангидриды. К раствору 0,1 моля кислоты в 150 мл абсолютного бензола приливают 0,13 моля хлористого тионила, кипятят 4 часа, отгоняют растворитель и остаток перегоняют в глубоком ва-

кууме (табл. 5).

Аминоэфиры. К раствору 0,1 моля хлорангидрида в 100 мл абсосолютного бензола приливают 0,12 моля аминоспирта в 30 мл абсолютного бензола. Кипятят 4 часа, подкисляют разбавленной (1:1) соляной кислотой и экстрагируют водой. Водный слой подщелачивают 10°/0-ным раствором едкого натра. Аминоэфир экстрагируют эфиром, сущат сульфатом натрия, отгоняют растворитель и остаток перегоняют в вакууме (табл. 6, 7).

Диэтиловый эфир 5-бензилфурфурилиденмалоновой кислоты. Получен аналогично диэтиловому эфиру фурфурилиденмалоновой кислоты [26]. Выход $62^{0}/_{0}$; т. кип. $220-222^{\circ}/1$ мм; т. пл. $43-44^{\circ}$. Найдено $^{\circ}/_{0}$: С 69,27; Н 6,41. Вычислено $^{\circ}/_{0}$: С 69,52; Н 6,13.

5-Бензилфурфурилиденмалоновая кислота. Получена омылением ее диэтилового эфира. Выход $95,2^{\circ}/_{\circ}$; т. пл. 167° (с разложением). Найдено $^{\circ}/_{\circ}$: С 66,25; Н 4,32. Вычислено $^{\circ}/_{\circ}$: С 66,18; Н 4,44.

5-Бензилфурфурилмалоновая кислота. Метод А. Получена восстановлением натриевой соли 5-бензилфурфурилиденмалоновой кислоты амальгамой натрия. Взято кислоты 0.2 моля, $2^0/_0$ -ой амальгамы натрия 1,0 кг. Выход $86,5^0/_0$; т. пл. $136-137^\circ$.

Метод Б. Получена омылением диэтилового эфира 5-бензилфурфурилмалоновой кислоты. Выход 87,0%; т. пл. 136—137°.

 β -(5-Бензилфуран-2)пропионовая кислота. Получена декарбоксилированием 5-бензилфурфурилмалоновой кислоты, полученной как по методу A, так и по методу Б. Выход 85-88%; т. пл. $49-50^\circ$. Найдено %: метод A C 73,23; H 6,08; метод Б C 73,18; H 6,21. Выйислено %: C 73,03; H 6,13.

ՀԵՏԱԶՈՏՈՒԹՅՈՒՆ β-(1-ՆԱՖԹԻԼ)-ՊՐՈՊԻՈՆԱԹԹՎԻ ԱԾԱՆՑՅԱԼՆԵՐԻ ԲՆԱԳԱՎԱՌՈՒՄ։

Ա. Լ. ՄՆՋՈՑԱՆ և Վ. Ե. ԲԱԴԱԼՅԱՆ

Udhnhaid

Կառուցվածքի և սպազմոլիտիկ հատկությունների միջև եղած կապը ուսումնասիրելու նպատակով սինթեզված են մի շարք α-տեղակալված β-(1-նաֆթիլ)-պրոպիոնաթթուների ամինոԷսթերներ։ Այդ թթուները ստացված են մալոնային սինթեզի միջոցով։ Մշակված Է․5- և 4,5-տեղակալված ֆուրֆուրիլքլորիդների սինթեզի եղանակ։

ЛИТЕРАТУРА

- 1. E. Szarvasi, L. Neuvy, Bull. Soc. Chim. France, 1982, 1343.
- 2. M. Delepine, E. Szarvasi, L. Neuvy, L. Fontaine, C. r., 260, 921 (1965).
- 3. M. Delepine, E. Szarvasi, M. Balssat, L. Fontaine, C. r., 269, 3095 (1965).
- 4. E. Szarvasi, M. Balssat, L. Fontaine, M. Grand, Bull. Soc., chim. Fr., 1966, 1838.
- 5. Lipha, Бельг. пат., 613, 547 (1962); С. А., 58, 1435 (1963).
- 6. Lipha, Франц. пат., 1.289.597 (1962); С. А., 57, 16 563 (1962).
- 7. Lipha, Франц. пат., М 1318 (1962); С. А., 38, 506 (1963).
- 8. E. Szarvasi, L. Neuvy, L. Fontaine, Bull. Soc. Chim. Fr., 1963, 1181.
- 9. А. Л. Миджоян, В. Г. Африкян, А. Н. Оганесян, ДАН АрмССР, 24, 105 (1957).
- 10. А. Л. Миджоян, М. Т. Григорян, там же, 17, 101 (1953).
- 11. А. Л. Миджоян, В. Г. Африкян, М. Т. Григорян, так же, 17, 166 (1953).
- 12. А. Л. Миджоян, В. Г. Африкян, М. Т. Григорян, Э. А. Маркарян, там же, 25, 277 (1957).
- 13. А. Л. Миджоян, В. Г. Африкян, А. А. Дохикян, Э. А. Маркарян, там же, 17, 164 (1953).
- 14. А. Л. Миджоян, В. Г. Африкян, А. А. Дохикян, Э. А. Маркарян, там же, 25, 201 (1957).
- А. Л. Миджоян, В. Г. Африкян, А. Е. Калайджян, Л. З. Казарян, Э. А. Маркарян, Изв. АН АрмССР, ХН, 16, 175 (1963).
- 16. R. Gaertner, J. Am. Chem. Soc., 73, 4400 (1951).
- 17. W. Kirner, J. Am. Chem. Soc., 50, 1955 (1928).
- 18. T. Reichstein, H. Zschokke, Helv. Chim. Acta, 15, 249 (1932).
- 19. E. Scott, J. Johnson, J. Am. Chem. Soc., 54, 2549 (1932).
- 20. G. Barger, R. Robinson, L. Smith, J. Am. Chem. Soc., 59, 718 (1937).
- 21. W. Kirner, G. Richter, J. Am. Chem. Soc., 51, 3131 (1929).
- 22. L. Fieser, M. Gates, J. Am. Chem. Soc., 62, 2335 (1940).
- 23. А. Л. Миджоян, В. Г. Африкян, Э. А. Маркарян, Изв. АН АрыССР, 12, 435: (1959).
- 24. А. Л. Миджоян, В. Г. Африкян, Р. С. Оганесян, А. С. Аджибекян, С. Г. Кара-гезян, В. Г. Сарафян, Арм. хим. ж. (в печати).
- 25. A. Cambron, Can. J. Research, 17, 13, 10 (1939).
- 26. B. Wojciek, H. Adkins, J. Am. Chem. Soc., 56, 2424 (1934).

XXII, № 8, 1969

УДК 542.91+547.436

эфиры СУЛЬФОКИСЛОТ

хvi взаимодействие β-хлорэтиловых эфиров сульфокислот с аминами

А. А. СТЕПАНЯН, С. Г. АГАБАЛЯН и Г. Т. ЕСАЯН

Институт органической химии АН Армянской ССР

Поступило 8 VII 1967

С целью синтеза β-аминоэтиловых эфиров сульфокислот изучена реакция β-хлорэтиловых эфиров ряда алкан- и бензолсульфокислот с вторичными аминами (диметиламин, диэтиламин, пиперидин). Показано, что в зависимости от природы амина и кислотного радикала сульфоэфира, а также способа обработки продуктов реакции преобладает образование β-аминоэтилового сульфоэфира, его гидрохлорида или продуктов расщепления. Взаимодействием β-хлорэтиловых эфиров сульфокислот с пиридином получены соответствующие четвертичные соли.

Табл. 2. библ. ссылок 7.

Ранее был получен ряд β-хлорэтиловых эфиров сульфокислот, которые проявили акарицидную активность [1]. Целью настоящей работы является синтез аминоэфиров сульфокислот с различными радижалами в сульфокислотной и аминоспиртовой части молекулы, для выяснения их влияния на биологическую активность сульфоэфиров.

Известно, что многие эфиры алкансульфокислот, в особенности этиловые, содержащие β-заместители, обладают ценными свойствами, в том числе и антиканцерогенным действием. В литературе описан метод получения отдельных β-аминоэтиловых сульфоэфиров из соответствующих аминоэтанолов и хлорангидридов сульфокислот [2]. Некоторые β-аминоэтиловые эфиры сульфокислот получены в виде солей с сульфокислотой, при взаимодействии гидрохлоридов соответствующих β-хлорэтиламинов с серебряной солью сульфокислоты или β-аминоэтанола с сульфохлоридами [3].

Взаимодействие β-хлорэтиловых эфиров сульфокислот [1, 4] с различными аминами могло бы явиться удобным методом синтеза β-аминоэтиловых эфиров сульфокислот. Нам казалось вероятным, что при этом, наряду с ожидаемыми β-аминоэтиловыми эфирами или их гидрохлоридами, могли образоваться продукты их расщепления, аналогично реакциям β-хлорэтиловых сульфоэфиров с роданистым [5] и фтористым [1] калием. Наши опыты показали, что при взаимодействии β-хлорэтиловых эфиров сульфокислот (этан-, пропан-, бутан-, бензол-) с вторичными аминами (диметил-, диэтиламины, пиперидин) в зависимости от природы амина и кислотного радикала сульфоэфира.

а также способа выделения продуктов реакции преобладает образонание 3-аминосульфоэфира, его гидрохлорида или продукта расщепления — N,N,N',N'-тетраалкилэтилендиамина:

$$RSO_{3}CH_{2}CH_{2}CI + NH(R')_{3} \stackrel{RSO_{3}CH_{2}CH_{2}N(R')_{2}-HCI}{\longleftarrow} RSO_{3}CH_{2}CH_{2}N(R')_{2}$$

$$(R')_{2}NCH_{2}CH_{2}N(R')_{3} \stackrel{RSO_{3}CH_{2}CH_{2}N(R')_{2}}{\longleftarrow} RSO_{3}CH_{2}CH_{2}N(R')_{2}$$

$$R=C_{2}H_{5}, C_{3}H_{7}, C_{4}H_{9}, C_{6}H_{5}, R'=CH_{3}, C_{2}H_{5}; (R')_{2}=C_{5}H_{10}.$$

При взаимодействии β-хлорэтиловых эфиров этан-, пропан- и бутансульфокислот с диэтиламином в бензоле оседает гидрохлорид диэтиламина. Перегонкой фильтратов получены N,N,N',N'-тетраэтилэтилендиамин и β-диэтиламиноэтиловый сульфоэфир, причем выход последнего возрастает с увеличением алкильного радикала. Если реакционную смесь обработать щелочью, единственным аминным продуктом реакции является тетраэтилэтилендиамин. В противоположность β-хлорэтиловым эфирам алифатических сульфокислот, при взаимодействии β-хлорэтилового эфира бензосульфокислоты с диэтиламином получен, в основном, аминоэфир. То же наблюдается и в случае диметиламина. На примере конденсации β-хлорэтилового эфира бутансульфокислоты с пиперидином было показано, что при обработке реакционной смеси щелочью образуется дипиперидилэтан. Пиперидинэтиловый эфир бутансульфокислоты удалось выделить в виде гидрохлорида.

Взаимодействием β-хлорэтиловых сульфоэфиров с эквимолекулярным количеством пиридина синтезированы четвертичные соли аминоэфиров.

RSO₃CH₂CH₂CI + C₅H₈N
$$\longrightarrow$$
 RSO₃CH₂CH₂N \overline{CI}

$$R=C_2H_5. \ \text{κ-C_4H_9, C_6H_5.}$$

Экспериментальная часть

Исходные β-хлорэтиловые сульфоэфиры получены ранее описанным способом [1] — взаимодействием этиленхлоргидрина с соответствущими сульфохлоридами в присутствии пиридина или водного раствора едкого натра.

Взаимодействие р-хлорэтиловых эфиров сульфонислот с диэтиламином. Раствор 0,1 моля сульфоэфира и 18,25 г (0,25 моля) диэтиламина в 50 мл сухого бензола кипятили на водяной бане с обратным холодильником в течение 4—6 часов. Обработку реакционной смеси производили двумя способами.

1. После охлаждения реакционную смесь фильтровали. В случае β-хлорэтиловых эфиров этан-, пропан- и бутансульфокислот получили кристаллы гидрохлорида диэтиламина. Фильтраты упаривали и остаток перегоняли в вакууме. Получали две фракции: а) низкокипящая — N,N.N',N'-тетраэтилэтилендиамин; б) высококиящая, представляющая собой соответствующий аминосульфоэфир.

В случае β -хлорэтилового эфира этансульфокислоты практически единственным продуктом реакции явился тетраэтилэтилендиамин с т. кип. $78-80^{\circ}/15$ мм; d_4^{30} 0,8270: n_2^{20} 1,4350; MR_D найдено 54,61; вычислено 53,42. Найдено $^{\circ}/_{\circ}$: С 69,70; Н 13,80; N 15,93. $C_{10}H_{24}N_2$. Вычислено $^{\circ}/_{\circ}$: С 69,70; Н 14,03; N 16,26. Т. пл. дигидрохлорида 183—185°; по литературным данным — 187° [6].

При взаимодействии β-хлорэтиловых єфиров пропан- и бутансульфокислот с диэтиламином наряду с тетраэтилэтилендиамином получены соответствующие сульфоэфиры—диэтиламиноэтиловый эфир пропансульфокислоты с т. кип. 275°/15 мм. Выход 30°/₀. Найдено °/₀:

S 14,80; N 6,60. С₀Н₂₁SO₃N. Вычислено %: S 14,36; N 6,28.

Днэтиламиноэтиловый эфир бутансульфокислоты с т. кип. $260^\circ/$ 3 мм. Выход $36^0/_0$: n_D^{20} 1,4498; d_2^{20} 1,0255; MRD найдено 62,18; вычислено 62,67. Найдено $0^0/_0$: S 13,50; N 5,80. $C_{10}H_{23}SO_3N$. Вычислено $0^0/_0$: S 13,50; N 5,90.

В случае β -хлорэтилового эфира бензолсульфокислоты выпавшие кристаллы представляли собою гилрохлорид аминоэфира с т. пл. $105-107^\circ$. Выход 85%: Найдено %: S 11,29; Cl 11,70. $C_{12}H_{19}SO_3N\cdot HCl$. Вычислено %: S 10,91; Cl 12,06.

2. Реакционную смесь обработали насыщенным раствором поташа, выделившиеся амины экстрагировали эфиром, экстракты высушили над безводным сернокислым магнием. После отгонки эфира в вакууме водоструйного насоса (с целью удаления диэтиламина) остаток перегнали в вакууме; во всех случаях получили тетраэтилэтилендиамин.

Взаимодействие β-хлорэтиловых эфиров сульфокислот с диметиламином. Раствор 0,1 моля сульфоэфира в насыщенном бензольном растворе диметиламина, содержащем 11,25 г (0,25 моля) амина, оставляли на ночь. Затем нагревали на водяной бане 4 часа. Выделенные кристаллы промывали абсолютным бензолом. Они представляют собой гидрохлориды аминоэфиров (см. табл. 1). В случае β-диметиламиноэтилового эфира этансульфокислоты обработкой гидрохлорида насыщенным водным раствором поташа выделено основание, из которого слабым нагреванием удален диметиламин. Полученный аминоэфир представляет собой вязкую жидкость, перегоняющуюся в вакууме с разложением. Выход 30%. Найдено %: S 17,84; N 7,50. СвН15 SO2 N. Вычислено %: S 17,68: N 7,73.

Взаимодействие р-хлорэтиловых эфиров сульфокислот с пиперидином. Реакция проводилась так, как с диэтиламином. После охлаждения реакционную смесь отфильтровывали, выделяли гидрохлорид пиперидина. В случае р-хлорэтилового эфира бутансульфокислоты фильтрат обрабатывали двумя способами:

Таблица 1

RSO₃CO₂CH₂CH₂N(CH₃)₃·HCI

	0/0	Т. пл., °С	Молекулярная	-	A F	ал	и з,	0/o_	ATT
R				выч	исл	ено	найдено		
	Выхо		формула	CI	N	s	CI	N	S
C ₂ H ₅	30	210—212	C ₆ H ₁₆ SO ₃ NCI	16,30	6,43	14,71	15,90	6,70	14,50
н-С ₄ Н ₉	36	212-214	C ₈ H ₂₀ SO ₃ NCI	14,46	5,70	13,04	14,60	6,20	12,80
C _s H ₅	43	221—223	C ₁₀ H ₁₆ SO ₃ NCI	13,37	5,27	12,06	13,50	5,70	12,00

- 1. Фильтрат обработали насыщенным водным раствором поташа, выделенные амины экстрагировали эфиром, высушили над безводным сернокислым магнием. После отгонки эфира остаток перегнали в вакууме. Получили вещество с т. кип. $102^{\circ}/3$ мм, которое является: дипиперидилэтаном, n_D^{20} 1,4860 (по лит. данным, $n_D^{17,8}$ 1,4887 [7]).. Выход $26^{\circ}/_{\circ}$. Найдено $^{\circ}/_{\circ}$: N 14,44. $C_{12}H_{24}N_2$. Вычислено $^{\circ}/_{\circ}$: N 14,27..
- 2. После отгонки бензола из фильтрата в вакууме водоструйного насоса (с целью удаления пиперидина) к остатку прибавили сухой эфир и осадили гидрохлорид пиперидилэтилового эфира бутансульфокислоты действием эфирного раствора хлористого водорода. Выход 40%. Найдено %: S 11,40; N 4,80; Cl 12,25. С₁₁Н₂₄SO₃NCI. Вычислено %: S 11,20; N 4,90; Cl 12,43.

В случае взяимодействия β -хлорэтилового эфира бензолсульфокислоты с пиперидином выделен непосредственно гидрохлорид аминоэфира с т. пл. 104—106°. Выход 46°/о. Найдено °/о: S 10,00; N 4,70; CI 11,50. С₁₂Н₁₈SO₃N·HCI. Вычислено °/о: S 10,48; N 4,59; CI 11,62.

Взаимодействие β-хлорэтиловых эфиров сульфожислот с пиридином. Эквимолекулярную смесь β-хлорэтилового сульфоэфира и пиридина нагревали на кипящей водяной бане в течение 3—4 часов. Образовавшуюся вязкую гигроскопическую массу растирали с эфиром для удаления исходных продуктов, сушили в вакуум-эксикаторе. Выходы и характеристика полученных соединений приведены в таблице 2.

RSO₃CH₂CH₂H

Таблица 2

		_	•					
R	0/0					и 3, ⁰ / ₀ найдено		
	Выход,	формула	N	S	N	S		
C ₂ H ₅	88	C,H,SO,NCI	5,56	12,73	5,62	12,39		
н-С ₄ Н,	90	C ₁₁ H ₁₈ SO ₃ NCI	5,01	11,45	5,24	11,60		
C ₆ H ₅	94	C ₁₃ H ₁₄ SO ₃ NCI	4,70	10,69	4,69	9,90		

ՍՈՒԼՖՈԹԹՎԻ ԷՍԹԵՐՆԵՐ

XVI. ህበት(\$ብሎውበትՆԵՐԻ β-ՔԼՈՐԷԹԻԼԱՑԻՆ ԷՍԹԵՐՆԵՐԻ ՓՈԽԱԶԴԵՑՈՒԹՅՈՒՆԸ ԱՄԻՆՆՆԵՐԻ ՀԵՏ։

u. u. usboursur, u. s. uzpulsur i 2. s. buusur

Udhnhnid

Սուլֆոթթուների β-ամ ինաէթիլային էսթերներ սինթեզելու նպատակով աւսումնասիրված են ալկան- և բենղոլսուլֆոթթուների չարքի β-քլորէթիլային «Եսթերների ռեակցիաները ևրկրորդային ամինների հետ (դիմեթիլամին, դի-«Էթիլամին, սիպերիդին).

ЛИТЕРАТУРА

- 1. В. Д. Азатян, Г. Т. Есаян, А. А. Степанян, Изв. АН АрыССР, ХН, 16, 461 (1963).
- 2. A. C. Cope, M. Burg, J. Am. Chem. Soc., 74, 611 (1952).
- 3. Англ. пат. 692445 (1953). С. А., 48, 8256 (1954).
- C. J. Ross, W. Dawis, J. Chem. Soc., 1957, 2420; C. J. Ross, W. Dawis, Nature, 1.77, 995 (1956); O. Q. Fahmy, M. J. Fahmy, Nature, 177, 996 (1956).
- 5. Г. Т. Есаян, А. Г. Варданян, Изв. АН АрмССР, ХН, 11, 119 (1958).
- 6. H. Gilman, E. M. Pickens, J. Am. Chem. Soc., 47, 251 (1925),
- 7. T. E. Glarke, J. Chem. Soc., 1934, 99.

ДЦЗЧЦЧЦЪ ЕГГРЦЧЦЪ ЦГГЦЧТР АРМЯНСКИЯ ХИМИЧЕСКИЯ ЖУРНАЛ

XXII, № 8, 1969

УДК 541.69+547.435

ИССЛЕДОВАНИЯ В ОБЛАСТИ СИНТЕЗА ПРОИЗВОДНЫХ АМИНОКЕТОНОВ

IV. СИНТЕЗ И ИССЛЕДОВАНИЕ НЕКОТОРЫХ 1-(n-АЛКОКСИФЕНИЛ)-3--ДИМЕТИЛАМИНО- И 1-(n-АЛКОКСИФЕНИЛ)-1-ЦИКЛОГЕКСИЛ-3-ДИ-МЕТИЛАМИНОПРОПАНОЛОВ-1

О. Л. МНДЖОЯН. Г. А. ГЕВОРГЯН, М. З. ПАХЛЕВАНЯН и С. Н. АСРАТЯН

Институт тонкой органической химин АН Армянской ССР

Поступило 17 I 1969

Осуществлен синтез восемнадцати новых 1-(n-алкоксифенил)-1-циклогексил-3-диметиламинопропанолов-1 и 1-(n-алкоксифенил)-3-диметиламинопропанолов-1. Установлена оптимальная температура образования n-алкоксиацетофенонов при ацилировании алкоксибензолов в присутствии фосфорной кислоты. УФ спектры показывают смещение главного максимума в сторону больших длин волн при введении алкоксильной группы в бензольное кольцо. По данным предварительных фармакологических испытаний, гидрохлориды и йодметилаты полученных аминокетонов и аминоспиртов не оказывают влияния на периферические и центральные М- и Н-холинореактивные структуры. Большинство из них имеет умеренные гипотензивные свойства, а некоторые обладают местноанестезирующим действием.

Табл. 5. библ. ссылок 10.

Среди активных соединений, используемых при лечении паркинонизма, в основном, находятся препараты, имеющие выраженное сцентральное холинолитическое действие.

К препаратам такого типа относятся арпенал, динезин, циклодол и др. Циклодол [1] представляет собой гидрохлорид 1-фенил-1-циклогексил-3-N-пиперидилпропанола-1. По литературным данным, препарат оказывает сильное центральное и периферическое холинолитическое действие. В связи с периферическим действием наблюдаются побочные явления; поэтому получение избирательно действующих препаратов является необходимостью для медицинской практики.

Учитывая это обстоятельство, а также для установления влияния алкоксильной группы на фармакологическую активность циклодола были получены аминоспирты следующего строения:

> n-ROC₆H₄C(OH)CH₂CH₂N(CH₂)₂, C_6 H₁₁

где $R = CH_3 - C_5H_{11}$, включая изорадикалы.

Синтез этих соединений осуществлен по следующей схеме:

$$ROC_{6}H_{5} \xrightarrow{(CH_{3}CO)_{2}O, H_{3}PO_{1} & 85P/_{6}} \rightarrow n-ROC_{6}H_{4}COCH_{3} \xrightarrow{CH_{3}O. (CH_{3})_{3}NH:HOI} \rightarrow n-ROC_{6}H_{4}CH(OH)CH_{2}CH_{2}N(CH_{3})_{2}$$

$$n-ROC_{6}H_{4}COCH_{2}CH_{2}N(CH_{3})_{2}\cdot HCI \xrightarrow{C_{6}H_{1,1}MgBr} n-ROC_{6}H_{4}C(OH)CH_{2}CH_{2}N(CH_{3})_{2}$$

$$C_{6}H_{11}$$

Исходные *п*-алкоксиацетофеноны получены взаимодействием алкоксибензолов и уксусного ангидрида в присутствии 85% оной ортофосфорной кислоты. Ранее этот метод использовался при получении *п*-алкоксибензофенонов [2]. Как видно из таблицы 1, результаты ацилирования удовлетворительны и с удлинением и разветвлением алкильного радикала алкоксильной группы выходы увеличиваются только при 125—130°. Дальнейшее повышение температуры положительного эффекта не дает.

При синтезе аминокетонов по реакции Манниха выходы в зависимости от изменения алкильного радикала алкоксильной группы колеблются от 45 до $80^{\circ}/_{\circ}$. Полученные аминокетоны при вакуум-перегонке разлагаются; поэтому они были выделены в виде гидрохлоридов и для очистки подвергались повторной перекристаллизации изацетона.

Хлористоводородные соли полученных аминокетонов в водных растворах при нагревании подвергаются расщеплению [3]:

n-ROC₆H₄COCH₂CH₂N(CH₃)₂·HCI \longrightarrow n-ROC₆H₄COCH=CH₂ + (CH₃)₂NH·HCI.

В зависимости от длины и строения углеродной цепи алкильного радикала алкоксильной группы степень разложения меняется, причем устойчивость снижается при удлинении алкильного радикала.

Гидрохлориды аминокетонов восстанавливались до соответствующих аминоспиртов амальгамой натрия в уксуснокислой среде. Аминоспирты перегоняются в вакууме без разложения и образуют кристаллические соли—гидрохлориды и йодметилаты. Синтез конечных продуктов — 1 - (n-алкоксифенил)-1-циклогексил-3-диметиламинопропанолов-1 — осуществлен взаимодействием циклогексилмагнийбромида с гидрохлоридами соответствующих β-диалкиламинопропиофенонов; выходы довольно низки. Попытка проведения реакции не с хлористоводородными солями, а со свободными аминокетонами не дала положительных результатов.

Данные хроматографирования водных растворов хлористоводородных солей как аминокетонов, так и аминоспиртов в тонком слое окиси алюминия (растворитель—хлороформ—спирт, 30:1, проявление парами йода) приведены в таблицах. Как аминокетоны, так и аминоспирты, имеющие изостроение алкоксильной группы, проявлются в двух точках. По-видимому, появление второй точки нужно объяснить наличием дизамещенного продукта, образовавшегося при реакции. Манниха:

nROC₆H₄COCHCH₂N(CH₃)₂. CH₂N(CH₃)₂

Это предположение подтверждается следующим фактом: после двукратной перекристаллизации гидрохлорида n-изоамилоксифенил- β -диметиламиноэтилкетона обнаруживаются два отдельных продукта. Первый из них — труднорастворимое соединение с т. пл. $162-163^\circ$, имеет $R_f = 0,274$. Найдено $^0/_0$: СI 17,3. $C_{10}H_{27}Cl_2N_2O_2$. Вычислено $^0/_0$: СI 18,22. Второй продукт, лучше растворимый в ацетоне, имеет т. пл. $154-156^\circ$ и $R_f = 0,413$. Найдено $^0/_0$: СI 13,93. $C_{16}H_{20}ClNO_2$. Вычислено $^0/_0$: СI 13,46. Подобная картина наблюдается и в случае соответствующего аминоспирта; для труднорастворимого с т. пл. $198-199^\circ$ найдено $^0/_0$: СI 15,17. $C_{25}H_{46}N_2O_2$. Вычислено $^0/_0$: СI 14,76. Для однозамещенного с т. пл. $206-208^\circ$ найдено $^0/_0$: СI 10,88. $C_{22}H_{38}ClNO_2$. Вычислено $^0/_0$: СI 9,42.

Все синтезированные вещества, начиная от алкоксибензолов, подвергались очистке и хроматографированию в одинаковых условиях.

УФ спектры аминокетонов снимались на спектрофотометре СФ-4а. Установлено, что при введении алкоксильной группы в бензольное ядро аминокетона происходит сглаживание полосы и смещение главного максимума в сторону длинных волн. Одновременно происходит увеличение интенсивности поглощения. При увеличении нормального алкильного радикала больших изменений в спектре не происходит, но в случае изорадикалов усиливается как сглаживание кривой, так и интенсивность минимального значения.

Полученные соединения в виде гидрохлоридов и йодметилатов подверглись предварительному фармакологическому исследованию.

В серии опытов по изучению влияния препаратов на периферические H- и M-холинореактивные системы было установлено, что соединения в разведении $1 \cdot 10^{-7}$ и $1 \cdot 10^{-6}$ не подавляют спазм отрезка тонкой кишки, вызванный ацетилхолином, хотя в отдельных случаях выявляется их слабый H-холинолитический эффект на прямой мышце живота лягушки.

Препяраты в дове 50 мг/кг при подкожном введении интактным мышам не предупреждают никотиновые судороги и гиперкинеза, вызванного ареколином. Большинство полученных соединений в дозе 3 мг/кг при внутривенном введении крысам снижают кровяное давление примерно на 10—30 мм ртутного столба. Препараты в дозе 50 мг/кг при подкожном введении мышам не оказывают аналгезирующего действия. Большинство их в той или иной степени обладают анестетической активностью. Наибольшую терминальную анестетическую активность проявляет гидрохлорид п-пропоксифенил-β-диметиламинокетона. Анестетический эффект 0,50/0-ного раствора этого препарата выражается 265 ед. Ренье, а 10/0-ного раствора — 587, что несколько уступает эффекту, полученному от дикаина.

Гидрохлориды 1-(n-бутоксифенил-)-3-диметиламинопропанола-1, 1-(n-изопропоксифенил)-1-циклогексил-3-диметиламинопропанола-1 и 1-(n-амилоксифенил)-1-циклогексил-3-диметиламинопропанола-1 в виде $0,1^0/_0$ -ного раствора вызывают обезболивание продолжительностью в 75 минут. Анестезирующее действие этых препаратов примерно аналогично действию новокаина.

Эти данные говорят о том, что в случае аминокетонов у активных соединений более выражено терминальное анестетическое действие, а в случае аминоспиртов —

проводниковое анестетическое действие. Некоторые йодметилаты как аминокетонов, так и аминоспиртов обладают проводниковым анестезирующим действием. Среди них наиболее активным соединением является йодметилат 1-(n-амилоксифенил)-1-циклогексил-3-диметиламинопропанола-1, который в виде $0,1^0/_0$ -ного раствора вызывает обезболивание в течение 75 минут.

Некоторые физико-химические константы полученных соединений приведены в таблицах. Элементарные анализы произведены С. Н. Тонаканян.

Экспериментальная часть

n-Пропоксиацетофенон. Смесь 136 г (1 моль) пропоксибензола, 102 г (1 моль) уксусного ангидрида и 20 г (0,2 моля) o-фосфорной кислоты нагревалась в течение двух часов при $125-130^\circ$. После охлаждения и добавления 200 мл воды происходит расслоение. Соединенные верхний слой и бензольные экстракты водного остатка высушивались сульфатом натрия и после отгонки бензола остаток перегонялся в вакууме. Собрана фракция с т. кип. $151-155^\circ/4$ мм; выход 86,0 г ($48,7^0/_0$). Остальные n-алкоксиацетофеноны получены таким же способом (см. табл. 1).

Таблица 1

	%			9-11			-	M	R _D
R	Выход,	Т. кип. °С/ <i>мм</i>	Лит. ссылка		Т. пл., Молекуляр- °С ная формула		n _D ²⁰	найдено	въчис-
СНа	52,3	117—120/4	4, 5, 6	38—39	C ₉ H ₁₀ O ₂	-	_	2- 1	14
C ₂ H ₅	61,4	125-128/4	6, 7	36—37	C10H13O3	3-3		_	
C ₃ H ₇	65,7	151-153/4	8	-	C11H14O2	1,0930	1,5360	51,051	50,832
шзо-С _з Н ₁	70,1	128—130/6	9	24	C11H14O2	_	_		_
C ₄ H _e	60,5	152—154/6	8	_	C12H16O2	1,0601	1,5250	55,563	55,869
изо-C ₄ H,	64,5	142-145/3	8	_	C12H16O2	1,0239	1,5260	56,320	55,869
C.H.11	70,5	165- 169/4	9	30	C13H18O2	_	_	_	_
изо-С ₅ Н ₁₁	72,5	150—155/2	8	-	C ₁₃ H ₁₆ O ₂	1,0318	1,5220	60,287	60,957

По литературным данным:

	Т. кип., "С/мм	т. пл., °С
1.	CH ₃ O - 114-121/8	CH ₃ O — 38; 38—39
2.	$C_3H_7O - 160-165/8$	C ₂ H ₅ O - 35,5; 38-39
3.	C ₄ H ₉ O — 160—162/11	изо-C ₃ H ₇ O — 22
4.	изо-С ₄ H _• O — 149—151/10	$C_5H_{11}O - 30$
5.	C ₅ H ₁₁ O — 181—183/18	
6.	$u30-C_5H_{11}O - 172-173/11.$	

Хлористоводородная соль 3-диметиламино-п-пропоксипропиофенона. Смесь 54,4 г (0,4 моля) n-пропоксивцетофенона, 24 г (0,8 моля) параформа, 40 г (0,49 моля) солянокислого диметиламина, 60 мл абсолютного этилового спирта и нескольких капель соляной кислоты (pH=1) при непрерывном перемешивании нагревалась на кипящей водяной бане в течение 2 часов (до образования однородной массы). После отгонки спирта остаток закристаллизовался. Вещество дважды перекристаллизовывалось из сухого ацетона: т. пл. 135—137°; выход 70,0 г (49,1°/0). Хлористоводородные соли других аминокетонов получены вналогично (см. табл. 2).

RCOCH3CH3N(CH3)3 · HCI

Таблица 2 .

	0/0		- 4	1 0/0	CI		
R	Выход, о	т. пл., °С	Молекулярная формула	найдено	лено	R _f **	
Н	89,5	153155	C ₁₁ H ₁₆ NOCI	16,87	16,10	0,45	
CH ₃ O	71,2	181182*	C ₁₃ H ₁₈ NO ₂ CI	14,68	14,48	0,46	
C ₂ H ₅ O	73,0	141-142	C ₁₃ H ₂₀ NO ₂ CI	13,78	13,69	0,48	
C ₃ H ₇ O	49,1	135—137	C ₁₄ H ₂₂ NO ₂ CI	13,24	12,99	0,52	
изо-С ₃ Н ₇ О	45,6	134—135	C ₁₄ H ₂₂ NO ₂ CI	13,31	12,99	0,55; 0,08	
C ₄ H ₉ O	50,5	142-143	C ₁₅ H ₂₄ NO ₂ CI	12,22	12,34	0,56	
изо-С ₄ Н ₉ О	47,6	133—134	C15H24NO2CI	12,55	12,34	0,56; 0,65	
C5H11O	46,8	132—133	C ₁₆ H ₂₆ NO ₂ CI	12,05	11,76	0,58	
изо-С ₅ Н ₁₁ О	45,8	143—144	C ₁₈ H ₂₆ NO ₂ CI	11,38	11,76	0,58; 0,66	

^{*} По литературным данным [10], т. пл. 178-178,5°.

Йодметилат β-диметиламино-п-пропоксипропиофенона. 10 г солянокислой соли β-диметиламино-п-пропоксипропиофенона обработаны водным раствором углекислого калия. Основание экстрагировалось эфиром и после высушивания карбонатом натрия смешивалось с 5 г йодистого метила (0,035 моля). После 12-часового стояния образовались кристаллы с т. пл. 167—168°. После перекристаллизации из абсолютного ацетона т. пл. 171—173°.

Остальные йодметилаты были получены аналогично (см. табл. 3). 1-(n-Пропоксифенил)-3-диметиламинопропанол-1. К раствору 7 г (0,025 моля) хлористоводородной соли β-диметиламино-n-(пропоксипропиофенона) в 45 мл 50% - ной уксусной кислоты добавлялось 250 г 2% - ной амальгамы натрия. После окончания реакции восста-

^{**} В тонком слое окиси алюминия; растворитель—хлороформ—спирт (30:1), проявлено парами йода.

новления и отделения ртути остаток обрабатывался $40^{\circ}/_{\circ}$ -ным раствором едкого натра, экстрагировался эфиром, экстракт высушивался карбонатом натрия. После отгонки эфира остаток в колбе закристаллизовался. Т. пл. 83—85°; выход 5,5 г (88,0%). С помощью сухого хлористого водорода получен гидрохлорид, который после перекристаллизации из ацетона имеет т. пл. 198—200°. Йодметилат этого же аминоспирта плавится при 79—80°. Остальные аминоспирты и их соли получены аналогично (см. табл. 4).

Таблица 3 COCH,CH, T(CH,),J-% J Выход, Молекулярная найдено вычис-лено R формула 85.5 200---202 40.30 39.61 H C₁₂H₁₈ONJ CH₃O 67.8 167-168 C13H20O,NJ 36,50 36,20 34,80 C,H,O 71,5 143 - 144C14H22O2NJ 34,97 50.6 171 - 173C15H24O2NJ 33,50 33,50 C₃H₇O 430-C3H1O 48,7 181-183 C15H24O2NJ 33,40 33,50 C.H.O 51,8 162 - 164C16 H26 O2 NJ 31,90 32,29 49,8 32,29 изо-C4H,O 155 - 157C16H26O2N2 31,87 47,5 164 - 166C17 H28 O2 NJ 31,66 32,12 C5H110 50,5 150 - 152C17 H28 O2 NJ 31,43 32,12 430-C5H110

1-(п-Пропоксифенил)-1-циклогексил-3-диметиламинопропанол-1. К эфирному раствору циклогексилмагнийбромида, полученному из 10,69 г (0,44 г-ат) магния и 69,2 г (0,4 моля) циклогексилбромида, при охлаждении льдом добавлено в течение 0,5 часа 27,1 г (0,1 моля) хлористоводородной соли β-диметиламино-п-пропоксипропиофенона. Смесь кипятилась в течение 3 часов, затем к ней добавлялась уксусная кислота до кислой реакции и 170 г колотого льда. После отдения эфира декантацией остаток обрабатывался раствором едкого кали, экстрагировался эфиром, высушивался сульфатом натрия и после отгонки эфира перегонялся в вакууме. Т. кип. 190—195°/1 мм; выход 5 г (15,4°/р). Остальные аминоспирты получены аналогично (табл. 5).

RCH(OH)CH₂CH₂N(CH₃)₂

	%		-			0/0	CI		0/	J	-
R	Выход,	Т. кип., °С/ <i>мм</i>	Т. пл., °C	Молекулярная формула	Т. пл. гидро- хлорида	найдено	вычис-	Т. пл. йодметн- лата	наплено	вычис-	R _f *
н	70,7	128—130/3	_	C ₁₁ H ₁₇ NO	124—126	16,29	16,35	115—116	39,25	39,5 5	0,42
CH3O	38,7	135—137/1	-	C ₁₂ H ₁₀ NO ₂	201—202	14,61	14,37	125—127	36,12	35,98	0,42
€ ₂ H ₅ O	64,6	175—178/1	- 3	C ₁₃ H ₂₁ NO ₂	180—182	14,21	13,58	97-98	34,48	34,60	0,41
C ₃ H ₂ O	52,3	-	83—85	C14H23NO2	197-200	12,54	12,88	93—94	33,57	33,31	0,42
µ30-С₃Н₁О	37,0	163-164/1	-	C14H23NO2	188-190	13,68	12,88	88—89	33.23	33,31	0,41
C ₄ H ₀ O	49,6	162—163/1	_	C15H25NO3	118-120	12,19	12,25	99-101	31,66	32,11	0,43
<i>изо</i> -С ₄ Н ₉ О	49,1	160162/1		C15H25NO2	179—181	12,68	12,25	66—67	31,01	32,11	0,432; 0,371
C ₅ H ₁₁ O	51,8	188-189/1		C16H27NO3	192—193	11,87	11,68	87—88	31,20	31,00	0,44
µ30-С ₅ Н ₁₁ О	45,2	175—176/1	_	C ₁₆ H ₂₇ NO ₃	124—125	11,88	11,68	116117	30,65	31,00	0,45; 0,39

^{*} В тонком слое окиси алюминия; растворитель—хлороформ—спирт (30:1); проявлено парами йода.

				9.0		M	R _D	A	нал	и з,	2/0	Т. пл. с	олей, °С	-11-11
Ř	Выход, °/о.	Т. кнп., °С/мм	Молекулярная формула	d ²⁰	n _D ²⁰	найдено	вычислено	найдено	вычис-	найдено	вычис-	гидро- хлорид	Йодме- тилат	R _f *
Н	10,5	148—150	C17H27ON	1,0031	1,5240	79,49	79,27	12,30	11,84	31,90	31,06	188—190	150—151	0,412
CH ₃ O	10,0	175—180	C ₁₈ H ₂₉ O ₂ N	1,0759	1,5362	86,33	86,63	10,67	10,75	28,95	29,14	202-203	168—169	0,406
C ₂ H ₅ O	18,6	179—181	C19H31O2N	1,0739	1,5450	89,93	91,24	10,69	10,31	28,65	28,22	164-166	171-172	0,426
C ₃ H ₇ O	15,4	190—195	C20H33O2N	1,0329	1,5277	95,24	95,86	10,17	9,90	28,10	27,38	182—183	188-190	0,446
<i>изо-</i> С ₃ Н ₇ О	12,5	189—191	C20H33O2N	1,0338	1,5278	95,13	95,86	9,92	9,90	27,11	27,38	128-129	181-182	0,416
C ₄ H ₉ O	17,9	205—209	C31H35O2N	1,0390	1,5180	99,68	100,48	10,01	9,52	27,04	26,57	_	138140	0,408
изо-C ₄ H ₉ O	18,0	162-164	C ₂₁ H ₃₅ O ₂ N	1,0218	1,5297	100,75	100,48	9,86	9,52	26,39	26,57	145-146	166—167	0,440; 0,400
C ₅ H ₁₁ O	11,3	207-210	C22H27O2N	1,0111	1,5265	105,89	105,10	8,84	9,17	26,32	25,79		183—185	0,407
<i>изо</i> -С ₅ Н ₁₁ О	8,47	205—207	C ₂₂ H ₃₇ O ₂ N	1,0052	1,5200	105,07	105,10	8,90	9,17	26,32	25,79	186—187	182—183	0,447; 0,373

[•] Хроматография в тонком слое окиси алюминия; растворитель—хлороформ—спирт (30:1); проявлено парами йода.

ՀԵՏԱԶՈՏՈՒԹՅՈՒՆՆԵՐ ԱՄԻՆԱԿԵՏՈՆՆԵՐԻ ԱԾԱՆՑՅԱԼՆԵՐԻ ՍԻՆԹԵԶԻ ԲՆԱԳԱՎԱՌՈՒՄ

IV. ՄԻ ՔԱՆԻ $1-(\mathbf{q}-\mathbf{U})$ ԿԻՖԵՆԻԼ)-3-ԳԻՄԵԹԻԼԱՄԻՆԱ $-\mathbf{L} 1-(\mathbf{q}-\mathbf{U})$ ԿԵԹԵՆԻԼ)-1-8ԻՎՈՀԵՔՍԻԼ-3-ԳԻՄԵԹԻԼԱՄԻՆԱՊՐՈՊԱՆՈԼ-1-ՆԵՐԻ ՍԻՆԹԵՋ ԵՎ ՀԵՑԱՋՈՑՈՒԹՑՈՒՆ։

Հ. Լ. ՄԱԶՈՅԱՆ, Գ. Ա. ԳԵՎՈՐԳՑԱՆ, Մ. Ձ. ՓԱԽԼԵՎԱՆՑԱՆ և Ս. Ն. ՀԱՍՐԱԹՅԱՆ

Udhnhnid

Ֆարմակոլոգիական ուսումնասիրության նպատակով պ-ալկօքսիացետոֆենոններից Մաննիխի ռեակցիալով սինթեղել ենք մի քանի 1-(պ-ալկօքսիֆենիլ)-3-դիմեթիլամինա- և 1-(պ-ալկօքսիֆենիլ)-1-ցիկլոհեքսիլ-3-դիմեթիլամինապրոպանոլներ-1։

Գանված է ֆոսֆորական թթվի ներկալությամբ ալկօքսերենզոլների ացիլացման գրական չերմաստիացիլացմամբ պ-ալկօքսիացետոֆենոնների ստացման օպտիմալ չերմաստիճանը։ Սինթեղված միացությունների ուլտրամանիչակագույն սպեկտրների ուսումնասիրությունը ցույց է տվել, որ բենզոլային օզակի մեջ ալկօքսի այիքների կողմը։ Նախնական ֆարմակոլոգիական տվյալներով ստացված միացությունների ջլորանչիդրիդներից և լոդմեթիլատներից շատերն ունեն հիպոտենզիվ, իսկ որոշ մասը անէսթետիկ հատկություն։

ЛИТЕРАТУРА

- 1. H. Pfanz, E. Jassmann, Герм. пат. 1,049,378 (1959); С. А., 55, 3621 (1961).
- 2. О. Л. Миджоян, Н. М. Морозова, Изв. АН АрмССР, ХН, 15, 553 (1962).
- 3. О. Л. Миджоян, Г. М. Погосян, Изв. АН АрмССР, ХН, 13, 361 (1960).
- 4. В. И. Максимов, З. А. Пряхина, ЖОХ, 28, 248 (1958).
- 5. H. D. Hartough, A. I. Kosak, Пат. США, 2,475,564 5 (1949); (С. А., 43, 7966h (1949).
- 6. K. V. Anwers, Lieb. Ann., 408, 242 (1915).
- 7. R. Stewart, K. Yates, J. Am. Chem. Soc., 80, 6355 (1958).
- 8. E. Profft, Chem. Tech., 4, 241 (1962).
- 9. A. McCoubrey, N. K. Iyenger, J. Chem. Soc., 1951, 2931.
- 10. Wm. S. Johnson, E. Robert, Пат. США, 2, 842, 559, 8 (1958); (С. А., 53, 3156h (1959)).

XXII, № 8, 1969

УДК 547.284+547.551.1+547.552.2

синтез енаминовых соединений

конденсация первичных ароматических аминов с кетонами

В. О. БАБАЯН, Л. Г. ГРИГОРЯН и Л. М. ГЕВОРКЯН Армянский педагогический институт им. Х. Абовяна Поступило 25 IV 1968

Изучена реакция конденсации алифатических кетонов с первичными ароматическими аминами — анилином и ксилидином.

Получен ряд N-алкениланилинов (III), ранее не описанных в литературе. Рис. 4, табл. 1, библ. ссылок 4.

В литературе имеются данные о синтезе енаминов из альдегидов [1]. В случае кетонов эта реакция имеет более ограниченный характер; так, в случае диэтилкетона такая конденсация не удается [2, 3].

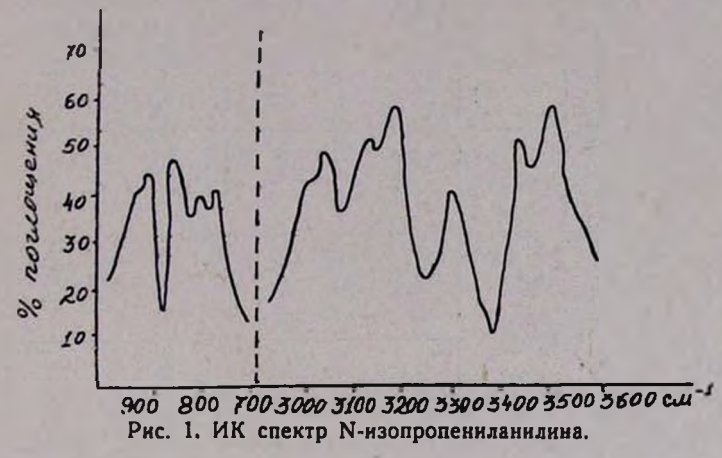
С целью изыскания новых путей синтеза алкениламиновых соединений ароматического ряда нами изучены реакции конденсации первичных ароматических аминов с алифатическими кетонами. Показано, что конденсацией первичных ароматических аминов с кетонами получаются соответствующие N-алкениланилины. Реакция проводилась в растворе сухого толуола в присутствии муравьиной кислоты с азеотропным удалением образовавшейся воды из реакционной сферы.

В качестве кетонов использованы: диметил-, метилэтил-, метилпропил-, метилбутил-, этилбутил-, этилизоамил-, диизобутилкетоны. При взаимодействии указанных кетонов с анилином и ксилидином во всех случаях с хорошими выходами получены соответствующие продукты конденсации.

Исходя из литературных данных, можно предполагать, что конденсация первичных ароматических аминов с кетонами протекает последующей схеме:

$$\begin{array}{c} \begin{array}{c} R''' \\ R''' \end{array} + R'COCH_{2}R \end{array} \longrightarrow \begin{array}{c} R''' \\ R''' \end{array} \longrightarrow \begin{array}{c} R''' \\ R'' \end{array} \longrightarrow \begin{array}{c} R'' \\ R'' \end{array} \longrightarrow \begin{array}{c} R' \\ R'' \end{array} \longrightarrow \begin{array}{c} R' \\ R'' \end{array} \longrightarrow \begin{array}{c} R' \\ R'' \end{array} \longrightarrow \begin{array}{c} R'' \\ R'' \end{array} \longrightarrow \begin{array}{c} R' \\ R' \end{array} \longrightarrow \begin{array}{c} R' \\ R'' \end{array} \longrightarrow \begin{array}{c} R' \\ R' \end{array} \longrightarrow \begin{array}{c} R' \\ R' \end{array} \longrightarrow \begin{array}{c} R' \\ R' \end{array} \longrightarrow \begin{array}{c} R' \\ R$$

Структуры полученных аддуктов установлены с помощью ИК спектров. В ИК спектрах N-изопропениланилина и N-изопропенилксилидина наблюдаются характерные полосы поглощения однозамещенной винильной группы (3080, 880 $c.м^{-1}$) и NH-группы (3380 $c.м^{-1}$) (рис. 1, 2). В



случае N-фенил-2,6-диметилгептена-4 наблюдаются полосы поглощения двузамещенной винильной группы (165! cm^{-1}) и NH-группы (3380 cm^{-1}) (рис. 3).

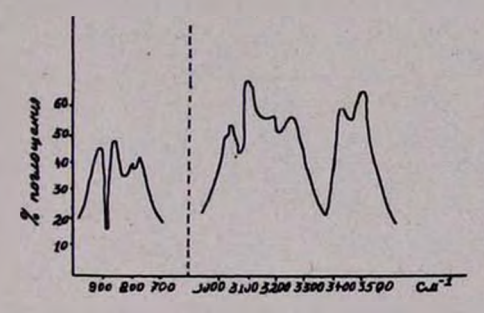


Рис. 2. ИК спектр N-изопропенилксилидина.

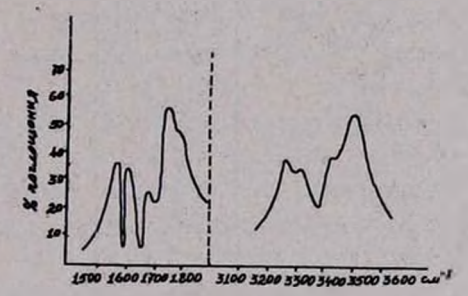


Рис. 3. ИК спектр N-фенил-2,6-диметилгептена-4.

Структура полученного N-изопропениланилина была установлена также химическим путем—реакцией с малеиновым ангидридом [4].



R'	R"	R'''	R	Молекулярная формула	Выход, °/о
Н	Н	Н	CH ₃	C _g H ₁₁ N	94
CH3	н	Н	CH ₃	C10H13N	80,6
CH ₃	Н	·H	C₃H₅	C ₁₁ H ₁₅ N	90,9
СНа	Н	Н	C ₃ H ₇	C13H17N	65,6
C₂H₅	Н	Н	C ₃ H ₇	C13H19N	66,5
C ₂ H ₅	Н	Н	изо-С ₄ Н ₉	C ₁₄ H ₂₁ N	54,3
изо-С ₃ Н ₇	н	Н	CH ₂ -u30-C ₃ H ₇	C ₁₅ H ₂₃ N	57,6
CH ₃	СН	СН3	н	C ₁₁ H ₁₅ N	75,7
CH2-u30-C3H7	CH ₃	CH ₃	изо-С _з Н ₁	C17H27H	60,1
C ₂ H ₅	CH3	CH ₃	C ₃ H ₇	C ₁₅ H ₂₃ N	68,9

-R" -R''' R' CHR

- OI III						
			MI	[₹] D	N,	0/0
Т. кип., °С/ <i>мм</i> , или т. пл.	d ₄ ²⁰	n _D ²⁰	найдено	вычис-	найдено	вычис-
63/1	1,018	1,5700	42,85	43,30	11,00	10,52
56/1	0,943	1,5352	48,50	47,91	10,10 10,13	9,52
69/1	0,930	1,5235	52,91	52,53	9,31 9,00	8,70
79—80/1	0,926	1,5150	56,93	57,15	8,80 8,35	-8,00
83-84/1	0,917	1,5189	62,12	60,66	8,53 8,12	7,40
9496/1	0,913	1,5151	67,05	66,39	7,64 8,21	6,89
96-97/1	0,904	1,5120	71,88	71,004	7,50 7,23	6,40
73/1	0,9566	1,5520	53,32	52,53	9,11	8,69
115—116					6,00	5,70
108-110			100		7,05	6,40

В ИК спектре полученной кислоты обнаружены полосы поглощения ОН-группы (3100—3290 см $^{-1}$), амидного карбонила (1640—1660 см $^{-1}$) и карбонильной группы (1690—1720 см $^{-1}$) (рис. 4).

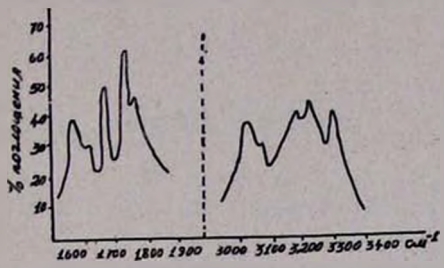


Рис. 4. ИК спектр N-фенил-2-метилпропилиден-2-он-5-уксусной кислоты-4.

Экспериментальная часть

N-Изопропениланилин (III, R=R''=R'''=H, $R'=CH_3$). К смеси 18,6 г (0,2 моля) свежеперегнанного анилина, 1 мл муравьиной кислоты и 20 мл сухого толуола при перемешивании в течение 15—20 минут по каплям прибавляли 11,6 г (0,2 моля) чистого сухого диметилкетона. Затем реакционную смесь кипятили в течение 5—5,5 часов. В водоотделителе собралось примерно 4—4,5 мл воды, после чего реакционную смесь перегоняли в вакууме. Получено 25 г (94%) вещества с приятным и нежным запахом грушевой эссенции. Аналогичным образом конденсированы и остальные кетоны с анилином и ксилидином. Константы полученных соединений приведены в таблице.

 $N-\Phi$ енил - 2-метилпирролинон - 5-уксусная кислота - 4 (IV). 0,5 г (0,004 моля) N-изопропениланилина растворяли в 10 мл сухого бензола и медленно присыпали 0,4 г (0,004 моля) малеинового ангидрида. Реакция экзотермична. Через 5 часов из образовавшейся густой маслянистой массы отделяли соответствующую кислоту. Растворяли в ацетоне и осаждали гексаном. Получено белое порошкообразное вещество, T. пл. 183° . Найдено 0 / $_0$: N 7,00. $C_{13}O_{13}NO_3$. Вычислено 0 / $_0$: N 6,6.

ԵՆԱՄԻՆԱՅԻՆ ՄԻԱՑՈՒԹՅՈՒՆՆԵՐԻ ՍԻՆԹԵԶ

ԱՌԱՋՆԱՅԻՆ ԱՐՈՄԱՏԻԿ ԱՄԻՆՆԵՐԻ ԿՈՆԴԵՍՈՒՄ ԱԼԻ**ՖԱ**ՏԻԿ ԿԵՏՈՆՆԵՐԻ ՀԵՏ

4. 4. PUPUSUS, I. S. SPESOPSUS L L. U. SEGOPSSUS

Udhnhnid

Ուսումնասիրված է արոմատիկ առաջնալին ամինների կանդենսման ռեակցիան ալիֆատիկ շարքի կետանների հետ, ստացված են գրականության մեջ չնկարագրված N-ամինային միացությաններ։ Ստացված ագուկտների կառուցված ըր ապացուցված է ԻԿ սպեկտրալ անալիզի միջացավ (նկ. 1, 2, 3)։

Ելսելով գրականության տվյալներից, սինթեզված N-իզոպրոպենիլանիլինի կառուցված չն ապացուցված է մալեինաթթվական անհիդրիդի հետ նրա փոխ-ազդմամը։ Ստացված N-ֆենիլ-2-մեթիլպիրոլին-2-ոն-ö, 4-ջացախաթթվի (IV) կառուցված ջը հաստատված է ԻԿ սպեկտրալ անալիզի տվյալներով (նկ. 4)։

ЛИТЕРАТУРА

- 1. C. Mannich, H. Davidsen, Chem. 69, 2106 (1936).
- 2. P. L. De Benneville, J. H. Macartnag, J. Am. Chem. Soc., 72, 3073 (1950).
- 3. G. Opitz, H. Hellmann, H. Schubert, Lieb. Ann., 623, 112 (1959).
- 4. С. Г. Агбалян, Л. А. Нерсесян, А. О. Ншанян, Арм. хим. ж., 20, 447 (1967).

XXII, № 8, 1969

УДК 541.69+547.556.9+547.756

ПРОИЗВОДНЫЕ ИНДОЛА

СИНТЕЗ И БИОЛОГИЧЕСКОЕ ИССЛЕДОВАНИЕ ГИДРАЗИДО-ГИДРАЗОНОВ АЛЬДЕГИДОВ И КЕТОНОВ ИНДОЛЬНОГО РЯДА

А. Л. МНДЖОЯН, Г. Л. ПАПАЯН, Л. Д. ЖУРУЛИ, С. Г. КАРАГЕЗЯН, Л. С. ГАЛСТЯН и В. Г. САРАФЯН

Институт тонкой органический химии АН Армянской ССР

Поступило 15 I 1969

Приведены результаты исследования противотуберкулезной активности синтезированных ранее гидразонов альдегидов и кетонов индольного ряда. Установлено, что изоникотиноилгидразоны индол-3- и 5-метоксииндол-3-альдегидов обладают близкой к тубазиду активностью и низкой токсичностью.

К пиррольному азоту гидразона индол-3-альдегида введены бензоильный и бензильный заместители с целью изучения влияния на активность. Найдено, что бензоильное производное намного уступает в активности незамещенному гидразону, а бензильное производное на отдельных штаммах проявило активность, равную активности исходного гидразона.

Табл. 4, библ. ссылок 7.

В последние годы в литературе все чаще отмечаются роль и и значение атипичных авирулентных штаммов микобактерий в патогенезе и в клинике туберкулеза.

Так, Каграманов [1], Драбкина [2], Runjon [3], Weissfeller [4] и др. выявили и описали атипичные микобактерии у туберкулезных больных, которые как у животных, так и у человека вызывали заболевание, сходное с туберкулезом, но с необычным течением. Для атипичных микобактерий характерна довольно выраженная лекарственная устойчивость. Существующие противотуберкулезные средства не эффективны по отношению к ним. Поэтому работы по изысканию соединений, устраняющих лекарственную устойчивость микобактерий, являются актуальными; синтезы в этом направлении ведутся широко.

Ранее нами были опубликованы данные о противотуберкулезных свойствах гидразидо-гидразонов фуранового ряда [5]. В данной работе приводятся результаты изучения гидразонов индольной серии [6].

Исследование проводилось с двумя группами соединений, полученных из гидразидов α,β,γ-пиридилкарбоновых кислот:

Из них шесть являются гидразонами индол-3- и 5-метоксииндол-3-альдегидов и шесть — гидразонами 4-(β-индолил-3)бутанона-2 и его 5-метокси аналога.

In vitro опыты проводились на 20 питаммах микобактерий (атипичные, авирулентные, свежевыделенные от больных, лекарственно устойчивые и лекарственно чувствительные, лабораторные). Ввиду нерастворимости в воде препараты испытывались в спиртовых растворах.

Таблица 1

-60			Бак	тернос	гатиче	ская ког	центра	ация in	vitro,	Y/MA
Ne Ne npenapa- Tob	R	R'= N	M. Kansasii	M. Kirgch- berg	M. Smegma	M. Avlum- battey SN 402	M. Bainei	M. Fribur- gensis	M. Aquae SN 632	M. Ranae cicc/17
8358		α	100	200	200	200	200	200	50	200
8359	Н	β	200	200	200	200	200	200	50	200
8360	. 13	۲	50	200	200	10	200	200	10	200
8361	100	a	200	200	200	10	200	200	10	200
8362		β	100	200	200	200	200	200	50	200
8363	CH ₃ O	7	50	100	200	20	200	200	10	200
Тубазид	7 - 7		10	50	50	20	50	50	10	50
Армазид			10	50	50	50	50	50	10	50

-8			Бан	териос	татиче	ская ко	ниентр	aция in	vitro,	Y/MA
Na Na npenapa- ros	R	R'= N	M. Kansasii	M. Kirgch- berg	M. Smegma	M. Avlum battey SN 402	M. Balnet	M. Fribur- gensis	M. Oquae SN 632	M. Ranae cicc/17
8364	1	α	200	200	200	50	200	200	10	200
8365	н	β	200	200	200	200	200	200	10	200
8366	5779	1,	100	100	100	10	100	200	20	100
8367	1000	α	200	200	200	10	200	200	200	200
8368	CH ₃ O	β	200	200	200	200	100	200	200	200
8369		ا ۲	100	200	200	10	200	200	10	200

Опыты проводились на яично-агаровой среде Герольда. Контролем к опытам служила среда Герольда, содержащая 10/0 спирта. Как опытные, так и контрольные пробирки засевались 0,1 мл эмульсии микобактерий, содержащей 1 млн микробных тел в 1 мл. Пробирки выдерживались в термостате в течение двух месяцев, с учетом результатов каждые 10 дней. Данные исследований приведены в таблицах.

Таблица 2

лем пре- паратов	Формулы препаратов	КО	акте	риос трац ү/-	тати ия ! ил	чесі in v	tag Itro,
Ne.		2d	3d	4d	7d	9d	10 <i>d</i>
8358	CH=NNHCO N	10	50	50	1	50	1
8359	CH=NNHCO N	50	50	50	1	50	2
8361	CH ₃ OCH=NNHCO	20	50	50	1	50	10
8363	CH ₃ OCH=NNHCO	10	50	2	1	20	1
8365	$CH_2CH_2C(CH_3) = NNHCO$	50	50	50	1	50	50
8366	CH ₂ CH ₂ C(CH ₃)=NNHCO	10	50	10	1	50	I.
Тубазид	CONHNH ₂	10	20	10	1	20	¥.
Армазид	CONHN=C(CH ₃) CH ₂ C ₆ H ₅	10	20	10	1	20	1

Из таблицы 1 видно, что по своему бактериостатическому действию изоникотиноилгидразоны альдегидов приближаются к эффекту тубазида; вместе с тем они являются низко токсичными препаратами (80 раз). По сравнению с препаратом фуранового ряда—армазидом, ранее синтезированным в ИТОХ [5], соединения 8360 и 8363 оказались в два раза активнее при одинаковой токсичности. α-Ппридилпроизводные подавляют рост туберкулезной палочки в концентрациях 1—2 γ/мл, а β-пиридилпроизводные практически неактивны. Наиболее активными гидразонами кетонов также оказались производные гидразида изоникотиновой кислоты. Однако, по сравнению с гидразонами альдегидов, они в 2 раза менее активны.

Все атипичные и сапрофитные штаммы микобактерий устойчивы по отноше-

нию к изучаемым соединениям (табл. 1).

Таблица З

№ № пре-	B	R R'=		Бактериостатическая концентрация in vitro, ү/мл							
паратов	I,	K = N	Acad.	Bov. 8	БЦИС № 67	18	19	35	Однократно переноси- мая доза,		
8358	13	α	1	1	1	1	1	1	150		
8359	Н	β	100	50	100	100	200	200	75		
8360		7	0,05	0,05	0,05	0,05	0,05	0,05	200		
8360 гидрохлорид		100	0,1	0,1	0,1	0,2	0,2	0,1	50		
8361		α	1	1	1	1	1	1	200		
8361		β	100	100	200	200	200	100	150		
8363	CH3O	γ	0,05	0,05	0,05	0,1	0,1	0,1	200		
8363 гидрохлорид			0,2	0,1	0,2	0,2	0,2	0,2	20		
Тубазид			0,04	0,04	0,04	0,04	0,04	0,04	2,5		
Армазид			0,1	0,1	0,1	0,1	0,1	0,1	200		

$$R$$
 $CH_2CH_2C(CH_3) = NNHCOR'$
 H

№№ пре- паратов	R	$R' = \bigcirc_N$	Ба	кратно носи- поза мшь					
			Acad.	Bov. 8	БЦИС № 67	18	19	35	Однокі перено мая до мгг/мы
8364		α	1	1	1	2	2	2	75
8365	H '	β	200	100	100	100	100	200	50
. 8366		л	0,1	0,1	0,1	0,1	0,1	0,1	200
8367		α	1	1	1	1	1	1	150
8368	CH,O	β.	200	100	100	100	100	200	75
8369		γ :	.0,1	0,1	0,2	0,2	0,2	0,2	100

Выяснено также, что, если штамм, выделенный от больных, устойчив к фтивазиду или тубазиду, то он устойчив в большей или меньшей степени и к гидразидогидразонам индола (табл. 2). Гидрохлориды препаратов 8360 и 8363 были менее активными и более токсичными, чем основания.

Острая токсичность всех препаратов была изучена на белых мышах (табл. 3). Препараты давались рег оя в виде водной суспензии. Из таблицы видно, что наиболее активные соединения являются и наименее токсичными (150—200 мг/мышь).

В настоящее время препараты 8360 и 8363 изучаются in vivo на зараженных туберкулезом животных. Данные будут опубликованы поэже.

Одновременно на тех же штаммах была изучена бактериостатическая активность альдегидов и кетонов, образующих гидразоны. Оказалось, что исходные альдегиды и кетоны не обладают противотуберкулезным действием.

Таблица 4

Ne.Ne npena- paros		Бактериостатическая концентрация in vitro, ү/мл							
	Формулы	H ₃₇ R _v	БЦИС № 67		4d	M. Smeg- ma	M. Fribur- gensis	M. Bainei	
10267	CH=NNHOC-	0,1	0,05	0,06	2	1000	1000	1000.	
x	CH ₂ C ₆ H ₅ -CH=NNHOC-	0,2	0,2	0,1	2	1000	1000	1000-	
	COC ₆ H ₅	100				3		ET SALV	

С целью изучения влияния на биологические свойства изменения структуры соединения 8360 введением в 1-положение индольного кольца заместителей были синтезированы 1-бензольное и 1-бензильное производные. Индол-3-альдегид в присутствии сухого карбоната натрия в диметилформамиде или в среде пиридина (без карбонатов щелочных металлов) вводился в реакцию с хлористым бензилом или бензоилом. Полученные 1-замещенные альдегиды при взаимодействии с тубазидом в присутствии каталитических количеств пиридина и ледяной уксусной кислоты образовали изоникотиноилгидразоны 1-замещенных индол-3-альдегидов:

$$X = CH_2$$
, CO.

Биологическое исследование этих соединений показало (табл. 4), что 1-бензил производное на отдельных изтаммах проявляет почти аналогичную, а бензоил производное — в 4 раза меньшую активность по сравнению с исходным незамещенным соединением.

Экспериментальная часть

1-Бензоил-индол-3-альдегид. К перемешиваемой смеси 0,02 моля индол-3-альдегида в 30 мл сухого пиридина по каплям добавляли 0,02 моля хлористого бензоила. После 5 часов нагревания смесь оставляли на ночь и обрабатывали разбавленной соляной кислотой. Перемешивали полчаса и отфильтровывали выпавший коричневого цвета осадок. После перекристаллизации из спирта получили бледнорозовые кристаллы с т. пл. 85—86°; выход 67,6°/₀. Найдено °/₀: С 77,40; Н 4,24; N 5,80. С₁₀Н₁1NО₂. Вычислено °/₀; С 77,10; Н 4.41; N 5,62.

1-Бензильный аналог получен из индол-3-альдегида, хлористого бензила в присутствии прокаленного карбоната натрия. Т. пл. 112—113° [7]. Выход 89%.

Изоникотиноилгидразоны замещенных индол-3-альдегидов. Смесь 0,01 моля соответствующего альдегида и 0,1 моля тубазида в абсолютном бензоле нагревали в колбе с приспособленным к ней водоотделителем в присутствии 0,1 мл пиперидина и 0,2 мл ледяной уксусной кислоты. По охлаждении отфильтровывали выпавший из смеси осадок, фильтр промывали абсолютным эфиром. Выход изоникотиноилгидразона 1-бензил-индол-3-альдегида 95%, т. пл. 229—230°. Найдено %. С 74,70; Н 5,68; N 16,23, С22 Н18 N4O. Вычислено %. С 74,57; Н 5.08; N 15,82. Изоникотиноилгидразон 1-бензоил-индол-3-альдегида. Выход 94,0%, т. пл. 228—230°. Найдено %. С 71,96; Н 4,35; N 15,42. С22 Н18 N4O2. Вычислено %. С 71,73; Н 4,35; N 15,21.

Для биологических испытаний получены гидрохлориды описанных ранее [6] изоникотиноил гидразона индол-3-альдегида (бледнокрасного цвета кристаллы; т. пл. 150—151° с разложением). Найдено 0 /₀: Cl 12,00. $C_{15}H_{13}CIN_{4}O$. Вычислено 0 /₀: Cl 11,81 и изоникотиноил гидразона 5-метоксииндол-3-альдегида (бледно-красного цвета кристаллы, т. пл. 241—242°). Найдено 0 /₀: Cl 10,03. $C_{16}H_{18}CIN_{4}O_{2}$. Вычислено 0 /₀: Cl 10,74).

1 2 1 2 1 4

ԻՆԴՈԼԻ ԱԾԱՆՑՑԱԼՆԵՐ

ԻՆԴՈԼԻ ՇԱՐՔԻ ԱԼԴԵՀԻԴՆԵՐԻ ԵՎ ԿԵՏՈՆՆԵՐԻ ՀԻԴՐԱՋԻԴԱՀԻԴՐԱՋՈՆՆԵՐԻ ՍԻՆԹԵՋԸ ԵՎ ՆՐԱՆՑ ԿԵՆՍԱՐԱՆԱԿԱՆ ՀԱՑԿՈՒԹՅՈՒՆՆԵՐԻ ՈՒՍՈՒՄՆԱՄԻՐՈՒԹՅՈՒՆՆԵՐԸ

Ա. Լ ՄՆՋՈՑԱՆ, Հ. Լ. ՊԱՊԱՅԱՆ, Լ. Դ. ԺՈՒՐՈՒԼԻ, Մ. Գ. ՂԱՐԱԳՅՈԶՅԱՆ, Ղ. Ս. ԳԱԼՄՏՅԱՆ և Վ. Գ. ՍԱՐԱՖՅԱՆ

Udhnhnid

Նախորդ աշխատան քներից մեկում նկարագրված ինդոլ-3- և 5-մեթօք-«իինդոլ-3-ալդեհիդներից ու 4-(ինդոլ-3)- և 5-մեթօքսի-4-(ինդոլ-3) բուտանոն-2-ների սինթեզված հիդրազոնների հակապալարախտալին հատկութլունների ուսումնասիրութլունները ցույց տվեցին, որ ինդոլ-3- և 5-մեթօքսիինդոլ-3-ալդեհիդների իզոնիկոտինաթթվի հիդրազիդի հիդրազոնները ցուցարերում են տուբազիդի ակաիվութլանը մոտ հատկություն և միաժամանակ ունեն ցածը տոքսիկականություն,

Ալուր, ծուր 8360 չիմետանուրն։ Թյուրչորնի որ արարվ դիտծությեւու դաձվել թը արդին ձագև արարկաւհյուրչորնի որ արանան արտանություրություն որ հրանի հատարան արտանար հյուրչորնի որ արտանություրություն արտարան արտանար հյուր, ծուր թուր հատարան արտանար հյուր, ծուր արտանար արտանար հյուր, ծուր արտանար հյուր, ծուր արտանար հյուր, ծուր արտանար հյուր, ծուր արտանար հյուր արտանար հյտ արտանա

ЛИТЕРАТУРА

- 1. А. И. Каграманов, "Проблемы туберкулеза", 7, 69 (1963).
- 2. Р. О. Драбкина, М. С. Марова, "Проблемы туберкулеза", 10, 63 (1965).
- 3. E. H. Runjon, Bull: unt. Un. Tuberc., 29, 396 (1959).
- 4. J. Weissfeller, Y. Karassova, Acta microbiol. Acad. Sci. Hung., 7, 77 (1960).
- 5. А. Л. Миджоян, В. Г. Африкян, Э. А. Маркарян, А. Н. Оганесян, Г. А. Хоренян, А. Г. Калайджян, Л. А. Колотян, А. А. Санасарян, Л. Д. Журули, С. Г. Карагезян, В. Г. Сарафян, Арм. хим. ж., 19, 793 (1966).
- 6. А. Л. Миджоян, Г. Л. Папаян, Л. С. Галстян, Арм. хим. ж., 19, 538 (1966).
- 7. A. Kalir, S. Szara, J. Med. Chem., 9, 793 (1966).

XXII, № 8, 1969

УДК 547.39+547.833.3-

ОБ АКТИВНОСТИ МЕТИЛЬНОЙ ГРУППЫ 1-МЕТИЛ-3,4-ДИГИДРОИЗОХИНОЛИНА

VI. РЕАКЦИИ 1-ЗАМЕЩЕННЫХ 3,4-ДИГИДРОИЗОХИНОЛИНОВ С МАЛЕИНОВОЙ, ФУМАРОВОЙ, КОРИЧНОЙ КИСЛОТАМИ И ИХ ЭФИРАМИ.

С. Г. АГБАЛЯН и Л. А. НЕРСЕСЯН

Институт органической химии АН Армянской ССР

Поступило 11 III 1968

При взаимодействии 1-замещенных 3,4-дигидроизохинолинов с фумаровой и малеиновой кислотами, а также с их эфирами получены 1-замещенные 5,6-дигидробенз(g)-пирроколин-3-он-2-уксусные кислоты и их эфиры, а при конденсации с коричной кислотой и ее метиловым эфиром — 1-замещенные 2-бензил-5,6-дигидробенз(g)-пирроколин-3-оны.

Библ. ссылок 3.

Целью настоящего исследования было выяснить, как реагируют 1-замещенные 3,4-дигидроизохинолины [1] с эфирами малеиновой, фумаровой и коричной кислот.

В литературе имеется лишь одно сообщение о конденсации диэтилового эфира малеиновой кислоты с енаминами с образованием циклобутанового соединения, неустойчивого при наличии водорода у β-углерода [2].

При нагревании 1-метил-3,4-дигидроизохинолина с фумаровой или маленновой кислотами до расплавления образовались фумарат и малеат 1-метил-3,4-дигидроизохинолина, из которых действием пикриновой и хлористоводородной кислот были получены пикрат и гидрохлорид 1-метил-3,4-дигидроизохинолина.

Фумарат и малеат при нагревании до 150—160° с выделением воды превратились в один и тот же продукт, не содержащий основного азота. Можно было предположить образование двух кислот (I, II). Образование (II) вероятнее, так как этот продукт идентичен кислоте полученной из 1-метил-3,4-дигидроизохинолина и малеинового ангидрида [3], где образование пятичленного кольца согласуется с данными Тейлора [4]. Та же кислота (II) образуется при обработке щелочью продукта взаимодействия 1-метил-3,4-дигидроизохинолина с диэфирами малеиновой или фумаровой кислот.

При конденсации различных 1-замещенных 3,4-дигидроизохинолинов с фумаровой кислотой (опыты проводились с фумаровой кислотой, так как в условиях опыта была возможна ангидридизация малеиновой кислоты) во всех случаях наблюдалось образование 1-замещенных 5,6-дигидро-бенз(g)-пирроколин-3-он-2-уксусных кислот (II—VI), идентичных кислотам, синтезированным взаимодействием 1-замещенных 3,4-дигидроизохинолинов с малеиновым ангидридом [3]. Метиловый, а также этиловый эфиры кислоты (III) были синтезированы взаимодействием 1-бензил-3,4-дигидроизохинолина с эфирами малеиновой и фумаровой кислот (VII, VIII).

COOH

$$CH_{2}R$$

$$RCH$$

$$RCH_{2}R$$

$$RCH_{2}R$$

$$RCH_{3}R$$

$$RCH_{3}R$$

$$RCH_{3}R$$

$$RCH_{3}R$$

$$RCH_{3}R$$

$$RCH_{3}R$$

$$RCH_{3}R$$

II R=H; R"=COOH. III R=C₆H₅; R"=COOH. IV R=CH₂CH₂CN; R"=COOH. V R=CH₂CH₂COOCH₃; R"=COOH. VI R=COOCH₃; R"=COOH. VII R=C₆H₅; R"=COOCH₄ VIII R=C₆H₅; R"=COOC₂H₅. IX R=H; R"=C₆H₅. X R=C₆H₅; R"=C₆H₅. XI R=COOC₂H₅; R"=C₆H₅.

При взаимодействии 1-замещенных 3,4-дигидроизохинолинов с коричной кислотой и ее эфирами почти всегда наблюдали образование циклических продуктов (IX—XI).

Идентичность соединений, полученных конденсацией с коричной кислотой и с ее эфиром доказана сравнением их ИК спектров, точек плавления и данных элементарного анализа. В одном случае при перегонке наблюдалось сильное разложение; образовался продукт декарбоксилирования:

Образование последнего вещества является иллюстрацией того, что реакция 1-замещенных 3,4-дигидроизохинолинов с ненасыщенными кислотами и их эфирами идет, по всей вероятности, по β -углерод 3,4-дигидроизохинолина, реагирующего в енаминной форме, с образованием продуктов конденсации, которые в дальнейшем подвергаются циклизации.

Экспериментальная часть

Малеат 1-метил - 3, 4 - дигидроизохинолина. Нагрели до 100° смесь 2,95 г (0,02 моля) 1-метил-3,4-дигидреизохинолина и 2,32 г (0,02 моля) малеиновой кислоты до образования однородного расплава и оставили на ночь. Образовавшиеся кристаллы растворили в спирте и осадили равным объемом эфира. Образовался кремовый порошок с т. пл. 79—82°, растворимый в воде. Выход 4,9 г. Найдено $^{\circ}$ /₀: С 64,18; Н 6,12; N 4,91. $C_{14}H_{15}NO_4$. Вычислено $^{\circ}$ /₀: С 64,37; Н 5,80; N 5,34.

Фумарат 1-метил-3,4-дигидроизохинолина получили, аналогично малеату, из 0,02 моля реагентов; т. пл. 127—129°. Выход 3,8 г. Найдено %: С 64,32; Н 5,87; N 5,33. С₁₄Н₁₅NO₄. Вычислено %: С 64,37;

H 5,80; N 5,34.

- 5,6-Дигидро-бенз(g)-пирроколин-3-он-2-уксусная кислота (II). а) Нагрели 4,9 г малеата 1-метил-3,4-дигидроизохинолина при 180° 30 минут. Продукт реакции растворили в щелочи, экстрагировали эфиром для удаления смол, затем отфильтровали щелочной раствор, подкислили разбавленной соляной кислотой. Получили 1,3 г продукта циклизации с т. пл. 190—195° (с разложением). Найдено 0 /₀: С 66,57; Н 5,75; N 5,54. $C_{15}H_{13}NO_{3}$. Вычислено 0 /₀: С 66,37; Н 5,80; N 5,34- 0 /₀=0 (амидн.) 1650—1660, 0 /₀=0 1720, 0 /₀ 3100—3330 0 см $^{-1}$.
- 6) При вышеописанной обработке из 3,8 г фумарата 1-метил-3,4-дигидроизохинолина образуется 1,1 г вещества с т. пл. 190—195° (с разложением). Найдено $^{0}/_{0}$: С 66,27; Н 5,98; N 5,78. $^{\vee}_{C=0}$ (амидн.) 1650—1660, $^{\vee}_{C=0}$ 1720, $^{\vee}_{OH}$ 3100—3300 $^{\circ}_{CM}$ -1.
- в) Из 2,95 г (0,02 моля) 1-метил-3,4-дигидроизохинолина и 2,88 г (0,02 моля) диметилового эфира малеиновой кислоты при нагревании в течение 30 минут при 150° и обработке, описанной в предыдущем опыте, получили 1,2 г кислоты (1) с т. пл. 190—195° (с разложением). Найдено %0: С 66,20; Н 5,55; N 5,36. %0—0 (амидн.) 1650, %0—1715, %0—3100—3300 \mathcal{CM}^{-1} .
- г) 1 г той же кислоты получили при взаимодействии 2,95 г (0,02 моля) 1-метил 3,4-дигидроизохинолина с 2,88 г(0,02 моля) диметилового эфира фумаровой кислоты в условиях опыта (а). Найдено 0 /₀: С 67,06; Н 5,69; N 5,55; 1 _{C=0} (амидн.). 1 640—1660, 1 _{C=0} 1716—1720, 1 _{OH} 3100—3300 2 2 1 .

Метиловый эфир 1-фенил-5,6-дигидро-бенз(g)-пирроколин-3-он-2-уксусной кислоты (VII). Нагревали 4,4 г (0,02 моля) 1-бензил-3,4-дигидроизохинолина и 2,9 г (0,02 моля) диметилового эфира фумаровой кислоты на металлической бане при $150-155^\circ$ в течение 3 часов. Образовавшуюся густую массу кристаллизовали из эфира. Получили 2,67 г вещества, не образующего пикрата и гидрохлорида. Т. пл. $95-97^\circ$. Найдено 0 / $_0$: С 75,60; Н 5,02; N 3,46. С $_{21}$ Н $_{10}$ NO $_3$. Вычислено 0 / $_0$ С 75,65; Н 5,74; N 4,19. $\nu_{C=0}$ (амидн.). 1670-1690, $\nu_{C=0}$ 1620-1630, $\nu_{C=0}$ (сл. эф.) 1730-1750 см⁻¹

Этиловый эфир 1-фенил-5,6-дигидро-бенз(g)-пирроколин-3-он-2-уксусной кислоты (VIII). 4,4 г (0,02 моля) 1-бензил-3,4-дигидро-изохинолина и 3,4 г (0,02 моля) диэтилового эфира малеиновой кислоты нагревали на металлической бане при 150—160° в течение 5 часов. Реакционную массу растворили в абсолютном эфире и осадили гексаном. Получили 0,8 г коричневого порошка, не дающего пикрата и гидрохлорида; т. пл. 80—85°. Найдено 0 /₀: С 75,35; Н 6,18; N 4,20. С₂₀ 1 ¹/₂₁ 1 NO₃. Вычислено 0 /₀: С 75,84; Н 6,09; N 4,01. 1 /_{С—0} (амидн.) 1670—1690, 1 /_{С—0} (сл. эфирн.) 1720—1730 см⁻¹.

1-Замещенные-5,6-дигидро-бенз(g)-пирроколин-3 - (он) - уксусные кислоты. При нагревании 0,01 моля 1-замещенного 3,4-дигидроизо-хинолина и 1,16 г (0,01 моля) фумаровой кислоты при 130—150° в течение 2 часов получили следующие вещества, не дающие пикратов и гидрохлоридов.

I-Карбметоксиэтил-5,6-дигидро-бенз (g)-пирроколин-3- он-2-уксусная кислота (V). Выход 1,5 г; т. пл. 95—100° (из гептана). Найдено %: С 65,54; Н 5,90; N 4,85. С₁₈Н₁₉NO₅. Вычислено %: С 65,64; Н 5,81; N 4,25. $\nu_{\rm OH}$ 3100—3300, $\nu_{\rm C=0}$ (сл. эфирн.) 1720—1730, $\nu_{\rm C=0}$ (амидн.) 1670—1690 см⁻¹.

1-(β -Цианэтил)-5,6-дигидро-бенз(g)-пирроколин-3-он-2-уксусная кислота (IV). Выход 0,4 г; т. пл. 35— 38° . Найдено 0 / $_0$: С 64,62; Н 5,80; N 8,64. С $_{17}$ Н $_{18}$ NO $_3$ ·Н $_2$ О. Вычислено 0 / $_0$: С 64,36; Н 5,76; N 8,90... $^{\nu}$ С $_{-N}$ 2220, $^{\nu}$ Он (кисл.) 3100—3300 с $^{-1}$.

1-Карбметокси-5,6-дигидро-бенз (g) -пирроколин-3-он-2-уксусная кислота (VI). Получили 1,35 г вещества с т. пл. 134—137° (из гептана). Найдено 0 0: С 63,48; Н 4,95; N 4,36. С₁₆Н₁₅NO₅. Вычислено 0 0: С 63,74, Н 5,01; N 4,64.

2-Бензил-5,6-дигидро-бенз(g)-пирроколин-3-он (IX). а) 7,25 г (0,025 моля) 1-метил-3.4-дигидроизохинолина и 8,1 г (0,025 моля) метилового эфира коричной кислоты нагревали при 160° в течение 13 часов. Образовавшуюся густую массу перегнали в вакууме. Получили 8,3 г вещества, перегоняющегося при $216-220^{\circ}/4$ мм. Найдено $^{0}/_{0}$; С 82,62; Н 6,69; N 5,21. $C_{10}H_{17}NO$. Вычислено $^{0}/_{0}$: С 82,88; Н 6,92; N 5,08. $^{\circ}_{0}C_{0}C_{0}C_{0}$

б) Из 14,5 г (0,1 моля) 1-метил-3,4-дигидроизохинолина и 14,8 г (0,1 моля) коричной кислоты при нагревании в течение 4 часов при 145—150° получили 10,5 г вещества с т. кип. $217-220^{\circ}/4$ мм. Найдено $^{\circ}/_{\circ}$: С 82,54; Н 6,57; N 5,08. С₁₉Н₁₇NO. Вычислено $^{\circ}/_{\circ}$: С 82,88; Н 6,22, N 5,08. $^{\circ}_{\circ}$ (выкан.) 1630—1680 см⁻¹.

1-Фенил - 2- бензил-5,6 - дигидро-бенз (g)-пирроколин-3 - он (X). a) 8,8 г (0,04 моля) 1-бензил-3,4-дигидроизохинолина и 6 г (0,04 моля) коричной кислоты нагревали при 150- 160° в течение 15 часов. После перегонки в вакууме получили 7,5 г вещества, перегоняющегося при $226-230^\circ$ /3 мм. Найдено 0 / $_0$: С 85,15, Н 6,51; N 4,19. С $_{25}$ Н $_{21}$ NO. Вы-

числено 0 /₀: С 85,44; Н 6.02; N 3,98, 1 1 (амидн.) 1660—1680, 1

6) Из 8,8 г (0,04 моля) 1-бензил-3,4-дигидроизохинолина и 6,44 г $^{\prime}$ (0,04 моля) метилового эфира коричной кислоты после 14-часового нагревания при $180-190^{\circ}$ и перегонки в вакууме получили 9,4 г вещества с т. кип. $225-230^{\circ}/3$ мм. Найдено $^{0}/_{0}$: С 85,49; Н 6,33; N 4,29. $^{\prime}$ С₂₅Н₃₁NO. Вычислено $^{0}/_{0}$: С 85,44; Н 6,02; N 3,98. $^{\prime}$ С₂₀ (амидн.) $^{\prime}$ 1670 см $^{-1}$.

7-Карбметокси-2-бензил-5,6-дигидро-бенз (g)-пирроколин - 3 - он (XI). 6 г (0,03 моля) метилового эфира 3,4-дигидроизохинолин-1-уксусной кислоты и 4,8 г (0,03 моля) метилового эфира коричной кислоты нагревали при 160° 15 часов. После перегонки в вакууме получили стекловидную массу с т. кип. 240—245°/6 мм. При растирании с гептаном образовалось 1,5 г красноватого порошка. Найдено %: С 75,32; Н 6,07; N 4,55. С₂₁Н₂₀NO₃. Вычислено %: С 75,43; Н 6,02; N 4,19.

Метиловый эфир β -фенил- α -[1-(3,4-дигидроизохинолин)]-масляной кислоты (XII). 6,8 г (0,04 моля) метилового эфира 3,4-дигидроизохинолин-1-уксусной кислоты и 6 г (0,04 моля) коричной кислоты нагревали на металлической бане при $150-160^\circ$ в течение 7 часов. Реакционную смесь перегнали в вакууме. Выделенную после перегонки густую массу растворили в абсолютном эфире, отфильтровали от кристаллических примесей. После отгонки эфира и повторной перегонки в вакууме получили 2 г вещества, перегоняющегося при $232-234^\circ/2$ мм. Найдено $^0/_0$: С 78,64; Н 6,79; N 4,59. С₂₀Н₂₁NO₂. Вычислено $^0/_0$: С 78,34; Н 6,88; N 4,55. Пикрат—желтые кристаллы с т. пл. 164° . Найдено $^0/_0$: N 10,46. Вычислено $^0/_0$: N 10,45.

1_ՄԵԹԻԼ-3,4_ԳԻՀԻԳՐՈՒԶՈԽԻՆՈԼԻՆԻ ՄԵԹԻԼ ԽՄԲԻ ԱԿՏԻՎՈՒԹՅԱՆ ՄԱՍԻՆ

VI. 1-8ዕጊԱԿԱԼՎԱԾ 3.4-ԴԻՀԻԴՐՈՒԶՈԽԻՆՈԼԻՆՆԵՐԻ ՌԵԱԿՑԻԱՆ ՄԱԼԵՒՆԱԹԹՎՒ, ՖՈՒՄԱՐԱԹԹՎՒ, ԴԱՐՉՆԱԹԹՎՒ ԵՎ ՆՐԱՆՑ ԷՍԹԵՐՆԵՐԻ ՀԵՑ

Ս. Գ. ԱՂԱԲԱԼՑԱՆ և Լ. Ա. ՆԵՐՍԻՍՑԱՆ

Udhahaid

Ներկա աշխատանքի նպատակն է պարզարանել, Թե ինչպե՞ս են ռեակցիալի մեջ մտնում 1-տեղակալված 3,4-դիհիդրոիղոխինոլինները մալեինա-ԹԲՎի, ֆումարաԹԹՎի, դարչնաԹԹՎի ԷսԹերների հետ, որոնք տիպիկ ակցեպտորներ են Միխաելի ռեակցիալում, ինչպես նաև մալեինաԹԹՎի, դարչնաԹԹՎի և ֆումարաԹԹՎի հետ, որոնց կիրառումը Միխաելի ռեակցիալում քիչ է ուսումնասիրված

Պարզված է, որ ֆումարան Թվի և մալհինան Թվի, ինչպես նաև նրանց Էսներների հետ 1-տեղակալված 3,4-դեհիդրոիզոխինոլինների փոխազդմամբ գոլանում են 1-տեղակալված 5,6-դիհիդրորենը(g)-պիրոկոլին-3-ոն-2-քացախան Թուներ և նրանց Էսխերները։

1-Տեղակալված 3,4-դիհիդրոիզոխինոլինների և ֆումարաԹԹվի փոխազդմամբ ստացվող ԹԹուները նուլնական էին այն ԹԹուների հետ, որոնջ ստացվում են 1-տեղակալված 3,4-դիհիդրոիզոխինոլինների և մալեինաԹԹվի փոխաղդմամբ։

ԴարչնաԹԹվի և նրա մևԹիլէսԹերի կոնդենսմամբ ստացվում են 1-տեղակալված 2-բենզիլ-5,6-դիհիդրորենզ(գ)-պիրոկոլին-3-ոններ։

ЛИТЕРАТУРА

- 1. С. Г. Агбалян, Л. А. Нерсесян, Ж. А. Ханамирян, Арм. хим. ж., 20, 45 (1967).
- 2. Дж. Шмушкович, Успехи органической химии, 4, 48, Изд. "Мир", Москва, 1966.
- 3. С. Г. Агбалян, Л. А. Нерсесян, А. О. Ншанян, Арм. хим. ж., 20, 447 (1967).
- 4. E. C. Taylor, E. S. Hand, J. Am. Chem, Soc., 85, 770 (1963).

XXII, № 8, 1969

УДК 547.99+615.779.932

ИССЛЕДОВАНИЯ В ОБЛАСТИ ПОЛУСИНТЕТИЧЕСКИХ ПЕНИЦИЛЛИНОВ

ІІ. НЕКОТОРЫЕ α-ЗАМЕЩЕННЫЕ β-(І-НАФТИЛ)ЭТИЛПЕНИЦИЛЛИНЫ

А. Л. МНДЖОЯН, В. Е. БАДАЛЯН, Ю. З. ТЕР-ЗАХАРЯН и Н. Г. ОГАНЯН

Институт тонкой органический химии АН Армянской ССР

Поступило 27 XII 1968

Получено несколько α-замещенных β-(1-нафтил) этилпенициллинов. В качестве заместителей взяты фуран, тетрагидрофуран, бензофуран и 5- и 4,5-замещенные фураны. Полученные пенициллины обладают антибактериальным действием, спектр которого совпадает со спектром бензилпенициллина. Некоторые из них по уровню антибактериальной активности сравнимы с бензилпенициллином и в 15—60 раз более активны в отношении устойчивых к бензилпенициллину стафилококков; скорость их инактивации в 2—3 раза меньше, чем у бензилпенициллина.

Рис. 1, табл. 2, библ. ссылок 10.

Количество производимых промышленностью биосинтетических пенициллинов очень ограничено и они имеют ряд существенных недостатков: ограниченный грамположительными микробами спектр действия, устойчивость многих штаммов к применяемым в настоящее время пенициллинам, нестойкость в кислой среде и т. д.

Получение новых пенициллинов определенного строения стало возможным лишь после открытия 6-аминопенициллановой кислоты (6-АПК) [1] и, в особенностипосле разработки удобного энзиматического гидролиза бензилпенициллина [2, 3]. В
зависимости от строения карбоновых кислот в 6-АПК можно ввести любой ацилирующий остаток со всевозможными алифатическими, ароматическими и гетероциклическими остатками. Кроме того, это направление дает гораздо больше возможностей для изучения зависимости антибиотических свойств пенициллинов от строения
боковой цепи.

Нами получено несколько пенициллинов, содержащих в боковой цепи, как ароматический, так и гетероциклический остатки. В качестве ароматического радикала был выбран 1-нафтил, так как некоторые производные нафталина, как, например, нафциллин—натриевая соль 6-(2-алкокси-1-нафтимидо)пенициллановой кислоты, оказались более активными и устойчивыми, чем метициллин [4, 5], а в качестве второго заместителя были взяты производные фурана, также хорошо зарекомендовавшие себя при синтезе различных полусинтетических пенициллинов [6].

Ожидалось, что сочетание в боковой цепи молекулы пенициллина нафтильной и фурильной групп придаст ему как повышенную кислотостойкость, так и широкий спектр антибактериального действия.

Синтез исходных кислот и их хлорангидридов описан ранее [7]. Ацилирование 6-АПК производилось двумя методами: хлорангидридным [8] и смешанно-ангидридным [9], по схеме:

ИК спектры подтвердили наличие в полученных пенициллинах β-лактамного и тиазолидинового колец (поглощение в области 1750—1780 см⁻¹), амидной (1667 см⁻¹), карбоксильной группы и соответствующих заместителей в боковой цепи. Тонкослойная хроматография пенициллинов, проведенная по методу Васильевой [10], показала их достаточную чистоту. В таблице 1 приведены некоторые физико-химические свойства и антибактериальные спектры полученных пенициллинов.

Пенициллины испытаны в виде натриевых солей. Однократно переносимая доза при внутривенном введении мышам колеблется от 125 до 750 мг/кг. Иодометрическая активность пенициллинов этой группы показала наличие как активных препаратов (936—1062 ед/мг), так и препаратов, полностью лишенных активности.

Изучение антибактериальных свойств пенициллинов проводилось методом двукратных серийных разведений на мясопептонном бульоне (рН 7,2—7,4). Действие препаратов изучалось на грамположительных и грамотрицательных бактериях: staph. aureus 209 p, staph. albus, B. subtilis, B. megaterium, E. coli, E. tuphi, sh. dysenteriae Flexneri, prot. Vulgaris, ps. aeruginosa, V. Metschnikoff.

Испытанные пенициллины обладают антибактериальным действием только в отношении грамположительных микроорганизмов. В таблице 1 приведены минимальные концентрации пенициллинов, задерживающие рост грамположительных бактерий. По уровню антибактериальной активности препараты №№ 3, 5, 6, 7, 10 сопоставимы с бензилпенициллином. Антибактериальное действие полученных пенициллинов определялось также в отношении устойчивых к бензилпенициллину штаммов стафилококков, выделенных в клинике (табл. 2). Как видноиз приведенной таблицы, некоторые пенициллины обладают заметной активностью (препараты №№ 3, 5, 9, 10); их минимальная бактериостатическая концентрация в 15—60 раз меньше, чем у бензилпенициллина.

Для определения скорости инактивации активных пенициллинов был изучен их гидролиз стафилакокковой пенициллиназой. Скорость гидролиза определялась йодметрическим методом. На рисунке 1 при-

ата		Tel or				нал	н з,	º/o		ив- /жг	Миним ческая	альная концент	бактерио рация, (стати- (кг/мл)	10СНМВЯ M2/K2
№ препарата	R*	Молекулярная формула	Выход, °/0	Т. пл., °С	найдено	вычис- лено	найдено	вычис-	Rf	Иодоиетриче- ская актив- ность, ед/жг	staph- aureus 209 p	staph. albus	B. sib-	B. mega- terlum	Переноси» доза, ж2/к
1	2	3	4	5	6	7	8	9	10	11	12	13 -	14	15	16
1	Н	C21H22N2O4S	64,7	77-78*	7,26	7,02	8,24	8,03	0,77	0	6,2	6,2	500	>250	500
2	CH ₂	C ₂₈ H ₃₀ N ₂ O ₈ S	72,6	65-67	5,86	5,81	6,68	6,63	0,71	132	0,19	0,19	62,5	>125	500
3	СН,	C26H26N2O5S	76,9	102—103	6,02	5,85	6,55	6,69	0,71	1062	0,09	0,04	3,9	7,8	250
. 4	O_CH ₃	C ₃₀ H ₂₈ N ₂ O ₅ S	79,4	115—116*	5,47	5,30	6,32	6,06	0,73	0	15,6	7,8	>500	500	750
5	сн, Сн,	C27H28N2O5S	71,2	80—81*	5,80	5,68	6,65	6,50	0,75	766	0,03	0,06	3,9	7,8	125
6	CH3-CH3	C33H32N2O3S	70,3	78-80*	5,18	4,93	5,60	5,64	0,68	568	0,09	0,024	3,9	3,9	125

1	2	3	4
7	CH30 CH3 CH3	C ₃₄ H ₃₄ N ₂ O ₈ S	69,8
	CH3O	100	
8	CH3O CH3-CH3	C ₃₅ H ₃₆ N ₂ O ₇ S	58,1
9	CH ₃ —CH ₃ —CH ₃	C ₂₈ H ₃₀ N ₂ O ₅ S	70,3
	—CH ₂ ——	81115	
10	CH ₂ —CH ₂	C34H34N2O5S	65,2

^{*} Плавятся с разложением,

Продолжение	таблицы	ľ
-------------	---------	---

5	6	7	8	9	10	11	12	13	14	15	16
101—103*	4,54	4,68	5,43	5,35	0,78	518	0,09	0,19	7,8	15,6	125
82—84*	4,21	4,45	5,23	5,09	0,75	345	0,24	0,48	15,6	31,2	125
96—98*	5,36	5,53	6,25	6,33	0,79	236	0,39	0,19	7,8	7,8	250
82—84	4,80	4,81	5,28	5,50	0,74	936	0,04	0,003	3,9	31,2	125

ведены данные о сравнительной инактивации пенициллинов за 1 час. Из приведенных данных видно, что эти препараты гидролизуются в меньшей степени, чем бензилпенициллин. Гидролиз наиболее устойчивого пенициллина (препарат № 10) изучался в динамике. Если за 3 5 часа бензилпенициллин, взятый в опыт, инактивируется на 100°/о, то в тех же условиях препарат № 10 инактивируется только на 36° о

Таблица 2

	Число штама	ов устойчивых с	тафилококков
№ прела-	5	3	4
рата	Минимальная ба	ктерностатическа <i>мкг/мл</i>	я концентраци
1	>500	>500	>500
2	31,2-125	125-500	62,5-500
3	7,8—250	62,5-250	250-500
4	>500	>500	>500
5	15,6-31,2	31,2-125	31,2-250
6	15,6125	62,5-125	31,2-62,5
7	31,2-125	62,5—125	62,5—125
8	31,2—125	125—250	125-500
9	3,9-31,2	31,2-250	15,6-500
10	7,8-31,2	31,2—62,5	15,6-125
Бензи л -пе- нициллин	250—500	500—1000	1000—2000

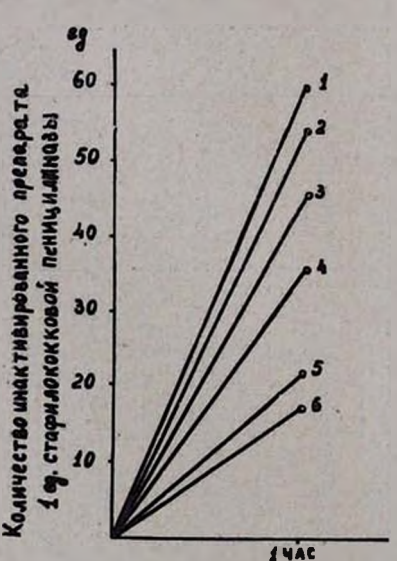


Рис. Скорость инактивации препаратов: 1 — бензил пеницилин, 2—препарат № 4, 3 — препарат № 5, 4—препарат № 6, 5 — препарат № 7, 6 — препарат № 10.

Экспериментальная часть

Хлорангидридный метод. В круглодонную колбу помещают раствор 0,1 моля хлорангидрида в 20 мл ацетона и при перемешивании и охлаждении ледяной водой в течение 15—20 минут добавляют водно-ацетоновый раствор натриевой соли 6-АПК, полученной прибавлением 2,16 г (0,01 моля) 6-АПК в 20 мл ацетона к раствору 2,2 г (0,025 моля) бикарбоната натрия в 40 мл воды. Смесь перемешивают 4 часа, прибавляют 100 мл воды и в вакууме на холоду отгоняют большую часть ацетона. Остаток экстрагируют вфиром, водный слой подкисляют 1 н соляной кислотой до рН 2 и выделившийся пенициллин экстрагируют эфиром. Эфирные экстракты промывают водой и в течение 30—40 минут взбалтывают с 2—3 г активированного угля. Эфирный ряствор отфильтровывают и обрабатывают 50/0-ным раствором бикарбоната натрия до рН 7. Водный слой экстрагируют эфиром и подвергают лиофильной сушке (табл. 1).

Ангидридный метод. К раствору 0,01 карбоновой кислоты в 30 мл ацетона при перемешивании и охлаждении ледяной водой прибавляют раствор 1,2 г (0,012 моля) триэтиламина в 15 мл ацетона и 1,5 г (0,014 моля) этилхлорформиата в 10 мл ацетона. Смесь перемешивают 30 минут, удаляют охлаждающую баню, дают принять комнатную температуру и отфильтровывают осадок. Фильтрат прибавляют при перемешивании к смеси 2,8 г (0,013 моля) 6-АПК в 60 мл ацетона и 100 мл 2,5% ного раствора бикарбоната натрия. Если при этом происходит выделение маслянистого осадка, то к смеси прибавляют ацетон до его полного исчезновения. Смесь оставляют на ночь, после чего экстрагируют эфиром. Водный слой подкисляют 1 н соляной кислотой до рН 2 и выделившийся пенициллин экстрагируют эфиром. К эфирному экстракту добавляют 10-15 мл воды и подщелачивают 2,5% -ным раствором бикарбоната натрия до рН 8. Выделение, очистку и сушку пенициллина производят аналогично вышеописанному (табл. 1).

ՀԵՏԱԶՈՏՈՒԹՅՈՒՆՆԵՐ ԿԻՍԱՍԻՆԹԵՏԻԿ ՊԵՆԻՑԻԼԻՆՆԵՐԻ ԲՆԱԳԱՎԱՌՈՒՄ։

II. UP PULP α -8674441440 β -(1-645641)-\$6649668616666

Ա. Լ. ՄՆՋՈՅԱՆ, Վ. Ե. ԲԱԴԱԼՅԱՆ, Ցու. Զ. ՏԵՐ-ԶԱՔԱՐՅԱՆ և Ն. Գ. ՕՀԱՆՅԱՆ

Udhahaid

Ստացվել և փորձարկվել են մի քանի α-տեղակալված β-(1-նաֆթիլ)-Էթիլպենիցիլիններ, որոնցից մի քանիսն իրենց ազդեցությամբ համեմատելի են բենզիլպենիցիլինի հետ, 15—60 անդամ ավելի ակտիվ են բենզիլպենիցիլինի հանդեպ կալուն շտամների նկատմամբ և 2—4 անգամ ավելի դանդաղ են քալքալվում, քան բենզիլպենիցիլինը։

ЛИТЕРАТУРА

- 1. F. Batchelor, F. Dojle, H. Nayler, G. Robinson, Nature, 183, 257 (1959).
- 2. H. Huang, A. English, 7. Seto, G. Shul, B. Sobin, J. Am. Chem. Soc., 82, 3790 (1960).
- 3. G. Rolinson, F. Batchelor, D. Butterworth, J. Cameron-Rood, M. Cole, G. Enstence, M. Hart, M. Richards, E. Chein, Nature, 187, 236 (1960).
- 4. A. White, Сборник "Antimikrobial Agents and Chemotheray", Ann. Arbor. Michigan, 1962 г., стр. 629.
- 5. E. Foltz, B. Graves, A. Rosenblatt, Сборник "Antimicrobial Agents and Chemotherapy", Ann. Arbor. Michigan, 1962 г., стр. 568.
- 6. А. Л. Миджоян, История естествознания и техники в Армении, 5, (1969).
- 7. А. Л. Миджоян, В. Е. Бадалян, Арм. хим. ж. (в печати).
- 8. Y. Perron, W. Minor, C. Holdrege, W. Gottstein, J. Godfrey, L. Crast, R. Babel, L. Cheny, J. Am. Chem. Soc., 82, 3934 (1960).
- 9. C. Alfred, W. Hoover, R. John, патент США 3,041,332 26/VI, 1962; [С. А., 57, 15117 (1962)].
- 10. Б. Васильева, И. Цесляк, Антибнотики, 10, 877 (1965).

XXII, № 8, 1969

химическая технология

УДК 678.744.422+678.744.53

получение поливинилформаля

III. АЦЕТАЛИРОВАНИЕ ПОЛИВИНИЛАЦЕТАТА

А. Е. АКОПЯН, М. Б. ОРДЯН, Л. А. САРКИСЯН, Дж. Х. САРКИСЯН и Р. Г. ГЕВОРКЯН,

Научно-исследовательский институт полимеризационных процессов

Поступило 12 IX 1967

Исследованы процесс ацеталирования поливинилацетата в водно-уксуснокислой среде формальдегидом в присутствии минеральных кислот и влияние концентрации компонентов и катализатора на скорость и глубину реакции ацеталирования; установлены оптимальные условия ведения процесса. Установлена зависимость растворимости поливинилформаля от молекулярного веса исходного поливинилацетата и температуры процесса.

Рис. 7, табл. 1, библ. ссылок 10.

В предыдущих сообщениях [1, 2] было отмечено, что растворимый в доступных растворителях поливинилформаль можно получить, если исходить из поливинилацетата с молекулярным весом не более 25000. В данном сообщении приводятся результаты исследования процесса ацеталирования поливинилацетата формальдегидом в водно-уксуснокислой среде в присутствии катализаторов (HC1, H₂SO₄).

Процесс ацеталирования протекает по следующей схеме:

Таким образом, реакции гидролиза поливинилацетата с образованием частично омыленного поливинилацетата и ацеталирование полученного продукта формальдегидом приводят к образованию поливинилформаля. Наличие в конечном продукте
гидроксильных групп дает основание предполагать, что поливинилформаль образуется из поливинилацетата через поливиниловый спирт.

Условия процесса и применяющиеся катализаторы вполне подходят как для гидролиза поливинилацетата, так и для ацеталирования поливинилового спирта.

В литературе имеется много данных относительно непосредственного ацеталирования поливинилацетата в различных растворителях: в спиртах, эфирах, уксусной кислоте и др. [3—10]. Однако, ни один из описанных в литературе методов не обеспечивает получение хорошо растворимого в доступных растворителях поливинил-

формаля.

Выбор водного раствора уксусной кислоты — среды для ацеталирования поливинилацетата, обуславливается тем, что процесс полимеризации винилацетата с получением поливинилацетата также осуществляется в водно-уксуснокислой среде, что позволяет резко сократить число необходимых операций и упростить технологические процессы получения поливинилформаля. При этом отпадает и надобность выделения поливинилацетата из реакционной среды, его промывка, сушка и растворение в уксусной кислоте. Значительно упрощается процесс регенерации растворителя, так как сама уксусная кислота образуется в процессе ацеталирования поливинилацетата и, таким образом, устраняется ввод нового компонента в реакционную смесь.

Экспериментальная часть

С целью получения растворимого поливинилформаля и установлегия оптимальных условий ацеталирования поливинилацетата повыбранному способу проводились опыты по следующей методике. К реакционной смеси, полученной при полимеризации винилацетата в водном растворе уксусной кислоты в присутствии персульфатного инициатора и регулятора полимеризации [1], добавлялись определенные количества катализатора-соляной или серной кислот и формалина. О ходе ацеталирования судили по результатам анализа на содержание ацетальных и ацетатных групп во взятых через каждые 3-4 часа пробах. После завершения процесса ацеталирования реакционная смесь разбавлялась 40% ным водным раствором уксусной кислоты при соотношении разбавитель: реакционная смесь 1:1; изэтого раствора поливинилформаль осаждался в виде порошка при медленном добавлении воды к смеси и интенсивном ее перемешивании. Осажденный порошкообразный полимер выделяли из маточного раствора фильтрованием, промывали сначала водой, а затем слабым раствором карбоната натрия $(0.03-0.05^{\circ})_{\circ}$) и сушили при $70-75^{\circ}$ в течение 4-5 часов.

Проводилась серия опытов с целью определения зависимости процесса ацеталирования поливинилацетата и растворимости получаемого поливинилформаля от молекулярного веса и концентрации исходного полимера, температуры реакции, концентрации формальдегида и среды ацеталирования.

Влияние молекулярного веса поливинилацетата и температуры процесса на растворимость поливинилформаля. Полимеризация винилацетата проводилась по описанной ранее рецептуре [2].

Температура реакции ацеталирования изменялась в пределах 60—85°, а молекулярный вес поливинилацетата—от 8600 до 57000.

В качестве растворителя при определении растворимости поливинил рормаля использовалась смесь хлорбензола и этилцеллозольва в тесовом соотношении 1:1. Полимер считался растворимым, когда

его 12,5%-ный раствор в смеси растворителей при длительном хранении не подвергался желатинизации.

Полученные результаты приведены в таблице.

Таблица Зависимость растворимости полимера от условий ведения процесса

Темие-	Молеку- лярный вес		ие функцио- групп, ⁰ / ₀	Растворимость ПВФ в смеси
ратура, °С	исходного ПВА	-ОСН₂О —	-ососн _з -	н хлорбензола = 1:1
60	5 70 00	34,8 35,0	4,6 6.1	не растворим
€0	20000	33,3 34,2	5,5 4,6	
60	140000	34,5 31,5 33,4 33,6 34,7	4,3 4,6 5,1 4,2 4,7	растворим.
	4.17	35,8 34,3	4,1 4,2	растворим
60	8600	35,1 36,1	3,8 4,3	растворим
70 70 85	57000 20000 20000	35,2 34,7 35,7	5.9 5,0 6,2	не растворим не растворим. не растворим:

Эти данные показывают, что при продолжительности ацеталирования поливинилацетата 20 часов и температуре процесса 60° изменение молекулярного веса исходного полимера в пределах 8600 до 57000 на содержание ацетатных и ацетальных групп в получаемом поливинилформале заметного влияния не оказывает, однако резко изменяет его растворимость. Так, например, поливинилацетат с молекулярным весом 8600—20000 дает растворимый, а поливинилацетат с молекулярным весом 57000—нерастворимый поливинилформаль.

На растворимость поливинилформаля аналогичное влияние оказывает также повышение температуры реакции. При использовании поливинилацетата с молекулярным весом 20000 и при проведении процесса его ацеталирования при различных температурах, например, при 60 и 85°, получается, соответственно, растворимый и плохо растворимый поливинилформаль. Следует отметить, что при проведении полимеризациии винилацетата в тех же условиях, но без применения регуляторов полимеризации, образуется разветвленный поливинилацетат и, независимо от молекулярного веса и температуры процесса ацеталирования, он не дает хорошо растворимого поливинилформаля.

Воздействие высокой температуры при ацеталировании на растворимость поливинилформаля, возможно, объясняется образованием межмолекулярных связей между отдельными макромолекулами линейного поливинилформаля. Влияние же наличия регуляторов при

полимеризации винилацетата на растворимость получаемого поливинилформаля связано с уменьшением степени полидисперсности и разветвленности поливинилацетата [2].

Зависимость скорости ацеталирования от концентрации поливинилацетата. Проводились две серии опытов при температуре 60° , при которых концентрация поливинилацетата в исходном растворе изменялась в пределах от 20 до $35^{\circ}/_{\circ}$. В первой серии в качестве катализатора была использована $36^{\circ}/_{\circ}$ соляная кислота $(4,2^{\circ}/_{\circ})$ от смеси) а во второй серии—концентрированная серная "кислота $(3,0^{\circ}/_{\circ})$ от веса смеси). Результаты изображены в виде графиков (рис. 1 и 2).

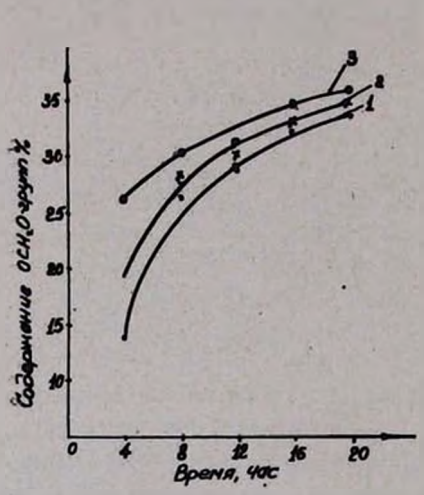


Рис. 1. Зависимость скорости ацеталирования от концентрации поливинилацетата в ацетилирующей смеси (в присутствии НСІ): $I - 30^{\circ}/_{\circ}$ ПВА; $2 - 25^{\circ}/_{\circ}$ ПВА; $3 - 20^{\circ}/_{\circ}$ ПВА.

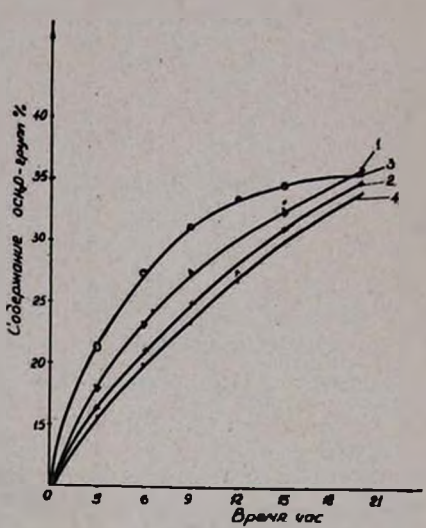


Рис. 2. Зависимость скорости ацеталирования от концентрации поливинилацетата в ацеталирующей смеси (в присутствии $\rm H_2SO_4$). $\it I$ —20°/ $_{\rm 0}$ ПВА; $\it 2$ —25°/ $_{\rm 0}$ ПВА; $\it 3$ —30°/ $_{\rm 0}$ ПВА; $\it 4$ —35°/ $_{\rm 0}$ ПВА.

На основании приведенных результатов можно заключить, что повышение концентрации поливинилацета в исходном растворе приводит к ускорению процесса ацеталирования и незначительному увеличению степени ацеталирования конечного продукта. Однако, увеличение концентрации полимера в растворе лимитируется вязкостью среды.

При применении в качестве катализатора соляной или серной кислот указанных выше концентраций не наблюдается заметного различия ни в скорости, ни в степени ацеталирования конечного продукта.

Но в качестве катализатора серная кислота имеет перед соляной кислотой некоторое преимущество: она менее корродирует и позволяет получить полимер более светлого цвета, хотя и с теми же диэлектрическими показателями, что и полимер, полученный при использовании соляной кислоты.

Зависимость скорости реакции от концентрации катализатора. Из испытанных при ацеталировании поливинилацетата в качестве катализаторов минеральных кислот, ароматических сульфокислот и ионообменных смол наиболее подходящими в водно-уксуснокислой соеде оказались HCI и H_2SO_4 , в присутствии которых проводилисьвсе исследования.

При опытах данной серии концентрация соляной кислоты изменялась в пределах от 2,3 до $7,0^{\circ}/_{\circ}$, а серной кислоты—от 2,0 до $5,0^{\circ}/_{\circ}$.

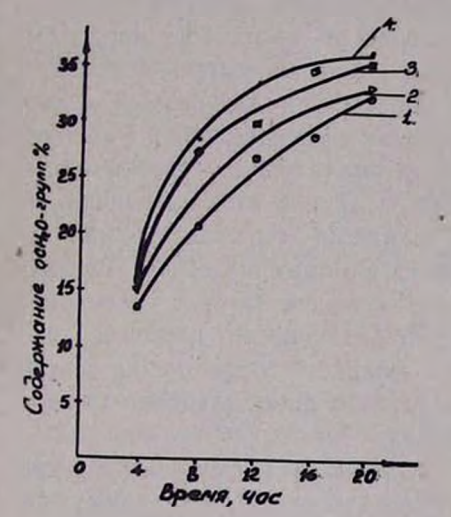


Рис. 3. Зависимость скорости ацеталирования поливинилацетата от количества катализатора (HCI): I - 2,3; 2 - 3,6; 3 - 4,2; 4 - 7,0% HCI.

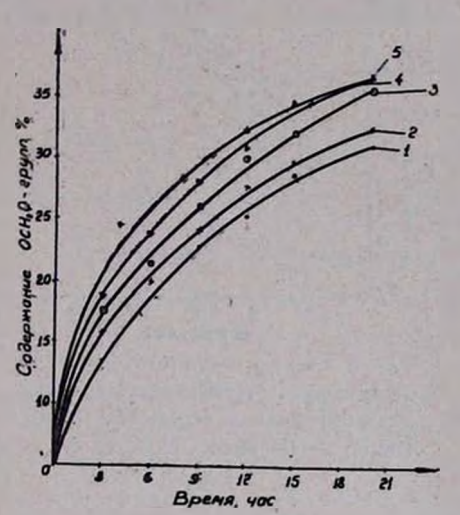


Рис. 4. Зависимость скорости ацеталирования поливинилацетата от количества катализатора (H_2SO_4): I=2.0; 2=2.5; 3=3.0; 4=3.5; $5=5.0^{\circ}/_{0}$ H_2SO_4 .

Результаты изображены в виде графиков (рис. 3 и 4). Они показывают, что увеличение концентрации катализатора в реакционной среде приводит к значительному увеличению скорости реакции ацеталирования; так, например, при концентрации H₂SO₄ 2,0% и 5,0% содержание формильных групп в полимере через 9 часов после начала реакции составляет 22 и 30%, соответственно. Примерно такая же картина наблюдается при изменении концентрации соляной кислоты. Однако, увеличение концентрации катализатора одновременно увеличивает расход щелочи на его нейтрализацию и затрудняет последующий процесс—осаждение поливинилформаля из гомогенного раствора водой. Поэтому оптимальной концентрацией катализатора можно принять 2,5—3,5%, что позволяет завершить процесс через 20—25 часов.

Зависимость скорости реакции от концентрации формальдегида. Для полного ацеталирования одного моля поливинилацетата теоретический расход формальдегида составляет 0,5 моля. Поэтому при изучении влияния мольного соотношения исходных компонентов на глубину реакции ацеталирования проводились опыты, при которых

количество формальдегида варьировалось в пределах от 0,5 до 1,2 моля на моль поливинилацетата. Полученные результаты изображены в виде графика (рис. 5).

Приведенные данные показывают, что уменьшение избыточного количества формальдегида значительно увеличивает продолжитель-

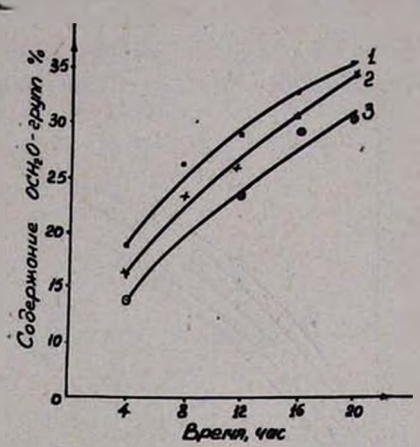


Рис. 5. Зависимость степени ацеталирования поливинилацетата от количества формальдегида: *I*—1,2 моля · CH₂O; 2—1,0 моля CH₂O; 3—0,5 моля CH₂O.

ность ацеталирования. Например. при мольном соотношении 1,2 и 0.5 содержание метилальных групп в полимере до 25% достигается через 8 и 16 часов, соответственно, т. е. в этом интервале скорость реакции уменьшается в два раза. Однако. увеличение избыточного ства формальдегида в реакционной среде, с другой стороны, приводит к увеличению расхода формальдегида на единицу продукта. Поэтому целесообразнее за счет увеличения продолжительности процесса снизить мольное соотношение формальдегид: поливинилацетат до 0,6-0.7:1,0.

Зависимость скорости реакции от концентрации уксусной

кислоты. Так как ацеталирование поливинилацетата проводится в водном растворе уксусной кислоты, определенный интерес представляло также изучение влияния концентрации уксусной кислоты на

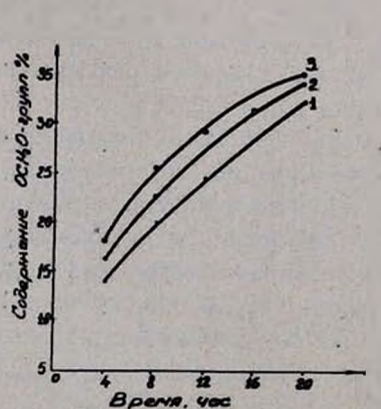


Рис. 6. Зависимость степени ацеталирования поливинилацет ата от концентрации ацеталирующей среды: 1-41.2; 2-48.4; 3-54.0°/•

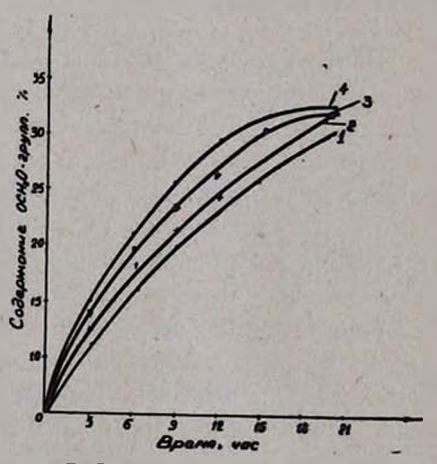


Рис. 7. Зависимость скорости ацеталирования поливинилацетата от концентрации уксусной кислоты: 1-30; 2-40; 3-50; $4-60^{\circ}/_{\circ}$.

скорость процесса. Концентрация уксусной кислоты в исходном гомогенном растворе варьировалась в пределах от 30 до 60%. Аналогичные опыты проводились как в присутствии соляной, так и серной кислот. Результаты изображены в виде графиков (рис. 6 и 7).

Приведенные данные показывают, что увеличение концентрации уксусной кислоты приводит к увеличению скорости ацеталирования, что совпадает с литературными данными. Однако, максимальная концентрация уксусной кислоты в исходном растворе не может превышать $55-60^{\circ}/_{\circ}$, так как она является оптимальной при полимеризации винилацетата.

ՊՈԼԻՎԻՆԻԼՖՈՐՄԱԼԻ ՍՏԱՑՈՒՄ։

III. ՊՈԼԻՎԻՆԻԼԱՑԵՏԱՏԻ ԱՑԵՏԱԼԱՑՈՒՄ

2. 6. ZUANPBUS, U. P. OPABUS, L. Z. UUPAUBUS, R. W. UUPAUBUS L P. Z. ABANPABUS

Udhnhnid

նար բ խոսունվար վետ։ Նաձարտնելի իսրձերահանիարբեկ տուսրունվուրը անրաանանդար ահաժու-Սւոսւղրասիսվել է փատանիմատոսի, ֆոսղաներչիմի, անսիվիրինանրատոր բ հուկիկրինանրատոր ղունրունանիր իշարն բ անսնրոր ծրեղասարջարին։ Հայ Նաձարանելի ծրանր նուգունաւմ, արօնմարարի չերվասարբարին։ Հայ Նաձարանելի ծրանրը կարութարի անրանատության անրանանում և արևաների Աւսուղրասիսվել է ասնիվիրինանրատոր անրաանանուղը փուրաների-

ЛИТЕРАТУРА

- 1. А. Е. Акопян, М. Б. Ордян, Л. А. Саркисян, Дж. Х. Саркисян, С. Х. Геворкян, Арм. хим. ж., 22, 442 (1969).
- 2. А. Е. Акопян, М. Б. Ордян, Л. А. Саркисян, Дж. Х. Саркисян, Р. Г. Геворкян, Арм. хим. ж., 22, 627 (1969).
- 3. Германский патент 664648; [С. А., 32, 274 (1938)].
- 4. Французский патент 820105, [С. А., 32, 5535 (1938)].
- 5. С. Ушаков, О. Ив. ЖПХ, 19, 853 (1946).
- 6. A. F. Futzugh, F. Lavin, C. O. Morrison, J. Electrochem. Soc., 100, 341 (1953).
- 7. Британский патент 745686; [С. А., 50, 12543 (1956)].
- 8. Jamada, Koto, Chem. High. polymers (Japan), 6, 292 (1949).
- 9. Германский патент 878,861; [С. А. 51, 2324 (1957)].

XXII, № 8, 1969

УДК 541.183+66.063.612+663.631.82

ДИНАМИКА АДСОРБЦИИ И ДЕСОРБЦИИ ЭМУЛЬГАТОРА СТЭК НА АКТИВИРОВАННОМ УГЛЕ

П. Н. АВЕТИСЯН, Н. Г. КАРАПЕТЯН и А. С. ТАРХАНЯН

Всесоюзный научно-исследовательский и проектный институт полимерных продуктов Поступило 21 VI 1968

Изучена динамика адсорбции СТЭК-а из его водных растворов на угле АГ-3. Получены выходные кривые, кривые распределения и зависимости времени защитного действия от длины слоя угля. Изучена динамика десорбции СТЭК-а с угля ацетоном. Получены кривые зависимости процесса десорбции от скорости потока ацетона. В условиях проведенных опытов, эффективная десорбция протекает при пизких скоростях потока.

Рис. 6, табл. 5, библ. ссылок 6.

В предыдущих сообщениях [1, 2] было показано, что СТЭК из его водных растворов можно выделить адсорбцией на активированном угле марки АГ-3. Десорбцию же СТЭК-а лучше всего осуществить ацетоном. Однако, эти исследования были проведены в статических (равновесных) условиях. Полное описание адсорбции в статических условиях недостаточно для понимания и управления процессами, идущими в динамических условиях. Поэтому в настоящей работе изучена динамика адсорбции и десорбции СТЭК-а с исследованием следующих закономерностей: а) изменение концентрации СТЭК-а в растворе за слоем адсорбента во времени при адсорбции и десорбции (выходные кривые); б) зависимость времени защитного действия слоя адсорбента от его длины; в) распределение СТЭК-а в адсорбенте и в растворе по длине слоя в различные моменты времени.

Экспериментальная часть

Для получения выходных кривых раствор СТЭК-а определенной концентрации пропускался через слой угля АГ-3 различных длин с определенной скоростью до полного насыщения слоя. Порции раствора, прошедшего через слой угля, анализировались сначала на "проскок" СТЭК-а, а затем на его содержание.

Выходные кривые 1, 2, 3 рисунка 1 соответствуют слоям угля длиной в 11, 22, 33 см при скорости прохождения раствора СТЭК-а 600 Λ /час·м². Кривая 4 соответствует слою угля длиной в 33 см при скорости потока V=400 Λ /час·м². Кривые 2 и 3 почти параллельны друг другу, и если сдвинуть их по оси абсцисс на величину наступления "проскока", то они могут совместиться, что указывает на па-

раллельное перемещение фронта адсорбции, которое имеет место при условии $L>L_0$ (L—длина слоя угля, L_0 —длина рабочего слоя). Форма кривой 1 резко отличается от формы кривых 2 и 3; это объясняется тем, что слой угля длиной в 11 cм для данных условий опыта намного меньше рабочей длины— L_0 , найденной в других опытах (см. ниже). Различие формы кривых 3 и 4 (при одинаковых длинах слоя и разных скоростях потока) указывает на то, что скорость адсорбции зависит от скорости потока раствора, т. е. в данном интервале ско-

200

1800

ростей лимитирующим фактором скорости адсорбции является внешняя диффузия.

Точки, лежавшие ниже кривых 2, 3, 4, получены после 12-часового перерыва работы слоя угля. Такое снижение концентрации объясняется так называемым "явлением отдыха" адсорбента, когда происходит перераспределение ад-

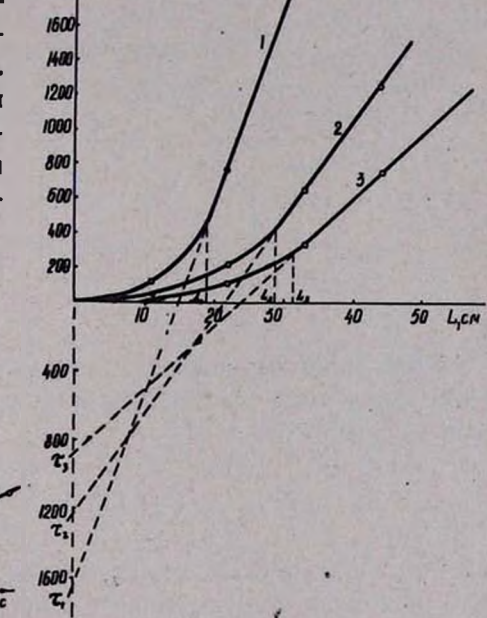


Рис. 1. Выходные кривые СТЭК-а на угле АГ.

Q2

Рис. 2. Зависимость времени адсорбционного действия угля от длины слоя.

сорбируемого вещества в менее доступные поры угля. "Явление отдыха" особенно сильно проявляется у мелкопористых углей, каким является АГ-3. Отрезок выходных кривых от начала координат до появления "проскока" на оси абсцисс есть время защитного действия слоя угля.

Для определения времени защитного действия различных слоев водный раствор СТЭК-а подавался в адсорбционную колонну, состоявщую из нескольких трубок—адсорберов. Через определенные промежутки времени отбирались пробы жидкости, вытекающей после данной длины, на анализ СТЭК-а. При наступлении "проскока" через первый адсорбер раствору открывали доступ в следующий адсорбер. Теким образом определяли время наступления "проскока" через все адсорберы.

На рисунке 2 представлены кривые зависимости времени защитного действия угля АГ-3 от длины его слоя при разных скоростях потока. Прямолинейные участки этих кривых описываются уравнением Шилова [3, 4].

$$\theta = kL - \tau, \tag{1}$$

где θ — время защитного действия слоя угля, мин; k — коэффициент защитного действия слоя, мин/cм; L — длина слоя угля, cм; τ — потеря времени защитного слоя угля, мин.

На основании полученных кривых найдены значения параметров, входящих в уравнение Шилова (табл. 1).

Таблица 1 Коэффициенты уравнения Шилова

V, A/48C·M²	L _e , cx	k _{оп.} 1 мин/см	k _{расч.} , мин/см	с, мин	$0 = kL - \tau$
400	19	110	99	1640	110L—1640
600	29	58	59	1240	58L-1240
960	32	38	39	890	38 <i>L</i> —890
1500	35	24	23	680	24 <i>L</i> —680

Как видно из данных таблицы, коэффициенты защитного действия $(k_{\rm on})$, найденные опытным путем, совпадают с таковыми, рассчитанными по формуле

$$k_{\text{pact}} = \frac{a \cdot S}{V \cdot C_0}, \qquad (2)$$

где a— статическая емкость угля, mz/cm^2 ; S— сечение угля, cm^2 ; C_0 — исходная концентрация СТЭК-а, mz/n; V— скорость потока раствора, mz/m ин. Это указывает на применимость уравнения Шилова при адсорбции СТЭК-а на угле из его водных растворов.

"Согласно теории динамической активности сорбентов [4], зави-

$$\tau V^n = \text{const}_{\mathbf{I}} \tag{3}$$

·H

$$kV = \text{const}_{II}$$
 (4)

Величина показателя "n", найденная по тангенсу угла наклона прямой графика $\lg \tau$ от $\lg V$, оказалась равной 0,6.

Из данных таблицы 2 видно, что требование теории о постоянстве произведений τV^n и kV при различных скоростях потока соблюдается удовлетворительно.

				Таблица 2
V, л /мин ∙ м²	k, мин/см	kV	т, мин	-V ⁿ
6,6	99	653	1640	5087
10	59	590	1240	4932
16	39	625	890	4953
25	24	600	680	4700
- 8		$kV_{cp} = 612$	100	=V ⁿ _{cp} =4918

На рисунке 3 представлены кривые распределения СТЭК-а в растворе по длине адсорбционной колонны. Кривые 1—3 по учены при скорости потока раствора 400 л/час·м⁸ в разное время работы адсорбционной колонны (через 12, 18 и 23 часа). Практически параллельное их перемещение говорит об установлении стационарного фронта адсорбции.

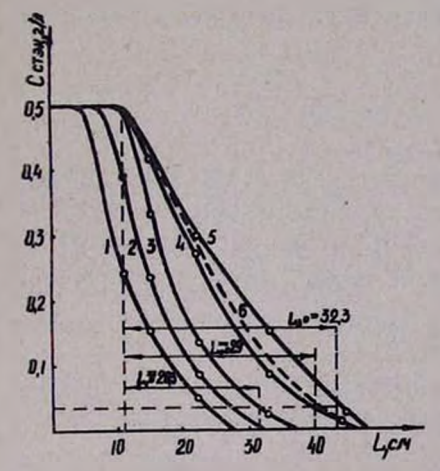


Таблица З Зависимость длины рабочего слоя угля от скорости потока

V, л/час-ж ²	L_{\bullet} из кривых $\theta - L$, см	L ₀ из кривых распределения, см
400	19	20,3
600	29	29
960	32	32,6
1500	35	

Рис. 3. Кривые распределения СТЭК-а в растворе по длине слоя угля.

Кривая 4 снята в момент "проскока" СТЭК-а через слой угля в 44 см при скорости потока 600 л/час·м²; кривая 5 снята тоже в момент "проскока" через тот же слой при скорости потока 960 л/час·м². По кривым распределения 3—5 были определены рабочие длины слоя угля $-L_0$ при разных скоростях потока, удовлетворительно совпадающие с L_0 , найденным из кривых $\theta-L$ (таблица 1). Величины L приведены в таблице 3. Как видно из таблицы, величина рабочей длины угля изменяется с изменением скорости потока. Особенно это заметно при низких скоростях.

При постоянном зернении угля величина L_0 связана со скоростью потока уравнением [5]:

$$L_0 = BV^{1-n} \tag{5}$$

B — константа уравнения, n — показатель степени, равный 0,6.

Кривая 1 рисунка 4 выражает зависимость $L_{\rm 0}$ от $V^{1-0.6}$, а кривая 2 — $L_{\rm 0}$ от V. Прямолинейная зависимость между $L_{\rm 0}$ и V^{1-n} , тре-

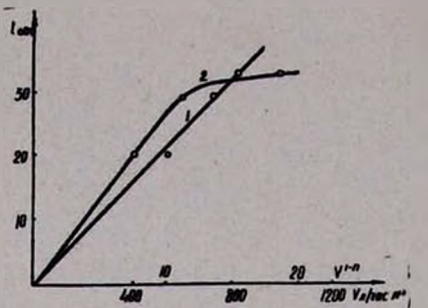


Рис. 4. Зависимость длины рабочего слоя угля от скорости потока раствора.

буемая теорией Шилова—Дубинина, соблюдается вполне удовлетворительно при адсорбции СТЭК-а на угле АГ-3.

Уравнение (5) для адсорбции из водных растворов на угле АГ-3 имеет вид:

$$L_0 = 2V^{0,4} (5)$$

Эта формула дает возможность подсчитать L_0 для разных скоростей потока.

В таблице 4 приведены вели-

чины так называемых "мертвых слоев" сорбента—h, полученные при разных скоростях потока как графически из рисунка 2, так и по формулам

$$h=\frac{\tau}{k} \quad \text{if} \quad h=\alpha (1-\eta),$$

где η — степень статической емкости слоя угля в процессе динамического опыта, определенная из кривых распределения. Вычисленные и экспериментальные значения h совпадают вполне удовлетворительно.

Исходя из представлений об определяющей роли внешней диффузии, зависимость между h и V должна иметь форму $\frac{h}{V}=\mathrm{const.}$ Однако, как видно из таблицы 4, при переходе к большим скоростям потока постоянство соотношения не поддерживается.

Таблица 4
Зависимость величины "мертвых слоев" угля
от скорости потока

V, л/час·ж³	$h = \frac{\tau}{R} \cdot cM$	h _{ou.} , cm	$h=a (1-\eta),$ cM	7]	h/V, мин
400	14,9	14,7	14,2	0,71	22
600	21,3	21,5	20,5	0,62	21,3
960	23,4	23,8	23,0	0,57	14,6
1500	28,3	28,0	28,0	0,54	11,2

Объяснение этого факта лишь медленным достижением равновесия не является исчерпывающим. Такое отступление может быть обусловлено возрастающей ролью внутренней диффузии при больших скоростях потока [6]. От скорости потока раствора зависит также динамическая емкость угля (a_g) .

Как видно из рисунка 5, с увеличением скорости потока a_g уменьшается. Эту зависимость мы выразили эмпирической формулой

$$a_g = AV^{-x}$$
,

где A—динамическая емкость при V=1. Для СТЭК-а это уравнение имеет вид:

$$a_{\rm g} = 63.1 \cdot V^{-0.31} \,. \tag{6}$$

Но это уравнение справедливо при $V>1000~n/{\rm час}\cdot m^2$, так как при скоростях больше $1000~n/{\rm чаc}\cdot m^2~a_g$ практически перестает зависеть от скорости потока (рис. 5).

Время защитного действия слоя угля также изменяется с ростом скорости потока (рис. 5, кр. 2). С ростом скорости потока 600—800 л/

час м² в резко уменьшается, но начиная со скорости 800-1000 л/час ⋅ м2 так же. как и a_{κ} , θ принимает некоторое практически постоянное значение. Следовательно, величина скорости потока — 1000 л/час м² является критической скоростью, выше которой процесс адсорбции не зависит от скорости потока, т. е. определяющая роль в скорости процесса адсорбции переходит от внешней диффузии к внутренней. О значительной роли внутренней диффузии в процессе адсорбции из потока раствора говорит также наличие "явления отдыха" адсорбента, о чем было сказано выше.

В следующей серии опытов мы изучали влияние скорости потока десор-

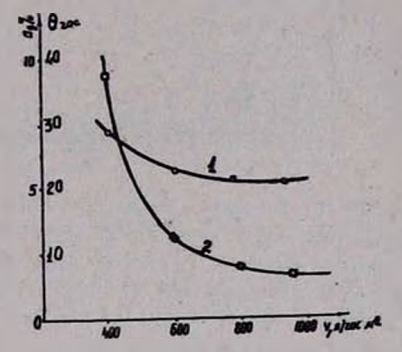


Рис. 5. Зависимость динамической емкости — a_g (кривая 1) и времени защитного действия — θ (кривая 2) от скорости потока раствора.

бирующего растворителя — ацетона на полноту десорбции, а также на максимальную концентрацию СТЭК-а в ацетоне в процессе десорбции. Десорбции подвергались однородно насыщенные СТЭК-ом угли. Содержание СТЭК-а в них определялось по разности исходной и равновесной концентрации раствора СТЭК-а, из которого происходила адсорбция, а также по исчерпывающей десорбции ацетоном определенной навески угля в аппарате Сокслета.

Ацетон подавался снизу адсорбционной колонны. Через определенные промежутки времени отбирались пробы для количественного определения СТЭК-а в элюате. Десорбция велась до концентрации СТЭК-а в ацетоне, равной 50—100 мг/л.

На рисунке 6 представлены выходные кривые десорбции СТЭК-а для различных скоростей потока ацетона при одинаковой высоте слоя угля (35 см). Характеры выходных кривых десорбции при исследуемых скоростях потока 30—650 л/час·м² подобны. С увеличением скорости потока увеличивается крутизна нисходящей ветви выходной

кривой и скорее наступает время, после которого начинается асимптотическое приближение кривой к оси абсцисс.

Скорость десорбции СТЭК-а, в зависимости от скорости потока ацетона, выражается уравнением:

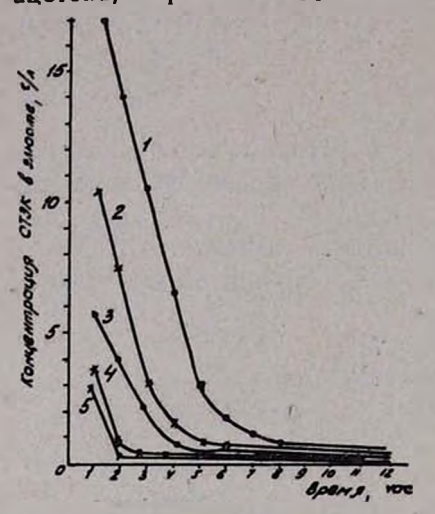


Рис. 6. Выходые кривые десорбции СТЭК-а при различных скоростях потока ацетона; I-V=30 л/час· \varkappa^2 ; 2-V=80 л/час· \varkappa^2 ; 3-V=180 л/час· \varkappa^2 ; 4-V=380 л/час· \varkappa^2 ; 5-V=650 л/час· \varkappa^2 .

$$\frac{\Delta a_{\text{xec.}}}{\Delta t} = 8.71 \cdot 10^{-5} \cdot V^{1.48} \cdot u^{1.3},$$

где V — скорость потока ацетона, u — количество недесорбированного СТЭК-а.

Из уравнения видно, что скорость десорбции прямо пропорциональна скорости потока растворителя. С увеличением скорости потока увеличивается скорость десорбции. Но это уравнение справедливо только до скорости потока 300 л/час·м². Дальнейшее увеличение скорости замедляет процесс десорбции и это требует дополнительной подачи растворителя.

Из данных таблицы 5 видно, что за один и тот же промежуток времени при большей скорости потока достигается большая степень

десорбции, однако это увеличение сопровождается значительным увеличением расхода ацетона.

Таблица 5
Влияние скорости ацетона на десорбцию СТЭК-а
с угля АГ-3

Скорости потока ацетона, л/час·м²	через ко-	Количество десорбиро- ванного СТЭК-а, мг	⁰ / ₀ десорб- цин	Время десорбции, час
30	125	915	91,5	12
- 80	290	933	93,3	12
180	630	937	93,7	12
380	1460	943	94,3	12
640	2260	962	96,2	12

При большей скорости потока эффективны только первые порции растворителя, а для дальнейшей десорбции значительный расход быстро текущего растворителя не ведет к пропорционально быстрому окончанию процесса. Как видно из рисунка 6, максимальная концентрация СТЭК-а в элюате — 17 z/n достигается при скорости 30 $n/\text{час} \cdot \varkappa^2$, что почти в 40 раз больше концентрации исходного раствора $(0,5\ z/n)$, из которого происходила адсорбция. При скорости $650\ n/\text{час} \cdot \varkappa^2$ максимальная концентрация в элюате $(3\ z/n)$ больше исходной всего в 6 раз. Кроме того, при меньших скоростях потока расход ацетона ничтожно мал по сравнению с большими скоростями. Так, при скорости $30\ n/\text{час} \cdot \varkappa^2$ расход в 18 раз меньше, чем при скорости $650\ n/\text{час} \cdot \varkappa^2$. Поэтому, в смысле минимального расхода растворителя в промышленных условиях целесообразнее работать с малыми скоростями потока. Однако, необходимо учесть, что малая скорость потока растворителя лимитируется временем, в течение которого десорбционная колонна должна быть регенерирована, чтоб не нарушить синхронность работы десорбционно-адсорбционных колонн.

СТЭҚ ԷՄՈՒԼԳԱՏՈՐԻ ԱԴՍՈՐԲԾԻԱՆ ԵՎ ԴԵՍՈՐԲՑԻԱՆ ԱԿՏԻՎԱՑՐԱԾ ԱԾՈՒԽԻ ՎՐԱ ԴԻՆԱՄԻԿԱԿԱՆ ՊԱՅՄԱՆՆԵՐՈՒՄ

Ջ. Ն. ԱՎԵՏԻՍՅԱՆ, Ն. Գ. ԿԱՐԱՊԵՏՅԱՆ և Հ. Ս. ԹԱՐԽԱՆՅԱՆ

Udhnhnid

Ուսումնասիրված է AՐ-3 ածուխի վրա CTЭК~ի ադսորբցիալի դինա~ միկան նրա ջրալին լուծուլթներից։

Ստացված են ելքային և բաշխման կորերը, պարզված է պաշտպանիչ ազդեցության ժամանակի կախումը ածուխի չերտի երկարությունը, որոնց հիման վրա ցույց է տրված Շիլովի հավասարման իրավացիությունը տվյալ սիստեմի համար։

Լուծուլթի հոսանքի արագության մեծացման դեպքում «մեռած շերտի» և հոսանքի արագության հարաբերության հաստատունություն չի նկատվում, որը բացատրվում է մեծ արագությունների դեպքում ներքին դիֆուզիայի դերի մեծացմամբ։ Այդ մասին է վկալում նաև ածուխի դինամիկական տարողության a_g և ածուխի շերտի պաշտպանիչ ազդեցության (θ) կախված է 1000 \/ ժամ \cdot Ա՞շ-ից։

Դինամիկական պայմաններում ուսումնասիրված է ածուխից CTЭК Էմուլգատորի դեսորբցիան և ացետոնի հոսքի արագության ազդեցությունը —

արագությունների դեպջում ։ Հայտնաբերված է, որ էֆեկտիվ դեսորբցիա տեղի է ունենում փոջր։

ЛИТЕРАТУРА

- 1. Д. П. Аветисян, Н. Г. Карапетян, А. С. Тарханян, Арм. хим. ж., 21, 724 (1968).
- 2. Д. П. Аветисян, Н. Г. Карапетян, А. С. Тарханян, Арм. хим. ж., 21, 537 (1968).
- 3. Н. А. Шилов, Л. Л.. Лепин, С. А. Вознесенский. ЖРХО, 61, 1107 (1929).
- 4. М. М. Дубинин, Физико-химические основы сорбционной техники, ОТНИ, Москва, 1935 г.
- М. М. Дубинин, К. В. Чмутов, Физико-химические основы противогазового дела, Изд. Ак. хим. защиты им. Ворошилова, Москва, 1939 г.
- 16. Ю. В. Шостенко, Диссертация, Харьков, 1959 г.

XXII, № 8, 1969

КРАТКИЕ СООБЩЕНИЯ

УЛК 542:941/942+547.447.5

ИССЛЕДОВАНИЕ В ОБЛАСТИ ПРОИЗВОДНЫХ АМИНОКЕТОНОВ

III. О ВОССТАНОВЛЕНИИ АМИНОКЕТОНОВ

О. Л. МНДЖОЯН н Г. А. ГЕВОРКЯН

Институт тонкой органический химии АН Армянской ССР

Поступило 17 I 1969

По имеющимся литературным данным, для восстановления аминокетонов различного строения используются различные методы. Настоящее исследование проведено с целью сравнительного изучения некоторых методов восстановления аминокетонов. Восстановлению был подвергнут 4-диэтиламино-3-метилбутанон-2, полученный по реакции Манниха. Восстановление было проведено изопропилатом алюминия и каталитически в присутствии никеля Ренея и никеля на окиси хрома.

Для проверки чистоты аминокетона после повторной перегонки в вакууме с высоким дефлегматором (т. кип. $78-81^{\circ}/16-18$ мм) вещество подвергалось хроматографированию в тонком слое окиси алюминия II степени активности с применением эфира, бензола или хлороформа и проявлением йодом. Во всех случаях четко выражены два пятна; при применении хлороформа $R_{\rm f}=0.18$ и $R_{\rm f}=0.12$. Очистка через гидрохлорид, оксалат, цитрат не изменила результатов хроматографирования.

Можно было полагать, что во время реакции получается также: дизамещенное производное (II) или изомерный аминокетон (III).

$$CH_3 CH_2CH_2CH_3 + CH_2O + HN(C_2H_5)_2 \cdot HCI \longrightarrow CH_3CCH_-CH_2N(C_3H_5)_2 + O O I$$

$$CH_3 CH_3 CH_2CH_2CH_2CH_2CH_2CH_2CH_2N(C_2H_5)_2 + CH_3CH_2CCH_2CH_2N(C_2H_5)_2 O CH_2N(C_2H_5)_2 O III III$$

Высококипящая фракция II при перегонке была отделена от основного продукта. Наличие же второй точки можно объяснить присутствием изомерного соединения (III).

Каталитическое восстановление аминокетона проводилось в качающемся автоклаве (для каждого катализатора по 5—6 опытов). В результате были найдены оптимальные условия реакции, которые сведены в таблицу.

Менялись: температура, время проведения реакции, а также соотношение аминокетона и изопропилата алюминия (1:1, 0,5:1); разложение комплекса проводилось соляной, серной кислотами и гидроокисью натрия.

Таблица

Метод восстановления	Давление, атм.	Темпера- тура, °С	Продолжит. восстанов- ления, часы	Выходы, °/ ₀	Т. кип. про- дукта реакции, °C/мм
Никель на окиси хрома	60—100	30-40	6-18	24,7—30	78-79/12-13
Никель Ренея	60100	30-40	618	59-61	79-80/12-13
Изопропилат алюминия	- ·	18—25	48-72	50,4	69—70/16
	-01	0-30	48-72	50,4	70-75/16
	_	2025	48-72	60-65*	70 -75/16

^{*} Обработка комплекса щелочью.

Изменение соотношений компонентов смеси, а также температуры реакции в пределах $0-30^\circ$ существенно не влияют на выход аминоспирта. Как в случае восстановления изопропилатом алюминия, так и при каталитическом восстановлении на хроматограммах были обнаружены три пятна: $R_{f_i} = 0.11$; $R_{f_s} = 0.10$; $R_{f_s} = 0.04$.

Такая же картина наблюдается и у аминоспиртов, полученных восстановлением аминокетона амальгамой натрия. Несомненно, одно пятно представляет собой 1-диэтиламинопентанол-3. Наличие двух остальных пятен можно объяснить двояко: присутствием невосстановленного аминокетона с $R_f = 0.12$ или образованием эритрои трео форм α, β -диметил- γ -диэтиламинопропанола. Для выяснения этого обстоятельства исследования продолжаются.

Полученные аминоспирты подвергались бензоилированию с помощью хлористого бензоила. Полученная при этом смесь аминоэфиров бензойной кислоты при хроматографировании проявляется двумя пятнами с $R_{\rm f}=0,39$ и $R_{\rm f}=5,53$.

Данные хроматографирования аминокетона и аминоэфира подтверждают наличие смеси двух веществ, вследствие течения реакции Манниха за счет метильной и метиленовой групп. XXII, № 8, 1969

УДК 547.333.4+547.82+542.921

ИССЛЕДОВАНИЯ В ОБЛАСТИ АМИНОВ И ЧЕТВЕРТИЧНЫХ АММОНИЕВЫХ СОЕДИНЕНИЙ

LXI. СИНТЕЗ И РАСЩЕПЛЕНИЕ ЗАМЕЩЕННЫХ 1,2,5,6-ТЕТРА-ГИДРОПИРИДИНИЕВЫХ СОЛЕЙ

Д. В. ГРИГОРЯН, Г. Т. МАРТИРОСЯН и А. Т. БАБАЯН Институт органической химии АН Армянской ССР Поступило 15 V 1968

Недавно нами был разработан препаративный метод получения 1-диалкиламино-3-метилпентадиенов-2,4 [1] взаимодействием смеси аминаля и изопрена с хлористым ацетилом и последующей реакцией щелочного расшепления полученных при этом тетрагидропиридиниевых солей.

В настоящем сообщении в круг исследований введены такие диены как 2,3-диметилбутадиен, пиперилен и циклопентадиен.

Получение аминодиенов из 2,3-диметилбутадиена предложенным методом не вызывало сомнения, так как, по сообщению Бема с сотрудниками [2], α-хлорметиламины в своей иммониевой форме вступают в реакцию диенового синтеза с 2,3-диметилбутадиеном, образуя соответствующие тетрагидропиридиниевые соли. И действительно, как по-казали наши опыты, в выбранных для изопрена условиях также легко протекает реакция и с 2,3-диметилбутадиеном. В результате получаются соответствующие аминодиены с суммарным выходом 35—55% образование выходом 35—55% образованием 35% обра

$$R_{3}NCH_{3}NR_{3} + CH_{3} = C(CH_{3})C(CH_{3}) = CH_{2} + CH_{3}COC1 \longrightarrow$$

$$R_{3}N + CH_{3} - CH_{3} + CH_{3}CONR_{3}$$

$$CH_{3} - CH_{3} + CH_{3}CONR_{3}$$

$$CH_{3} - CH_{3}$$

$$R_{3}NCH_{3}C(CH_{3}) = C(CH_{3})CH = CH_{3}$$

Следует отметить, что, как и в случае изопрена, нами не выделялись промежуточные продукты реакции: «-хлорамины и соответствующие тетрагидропиридиниевые соли.

Нам не удалось так же успешно осуществить реакцию при применении пиперилена и циклопентадиена. В первом случае лишь после трехмесячного стояния реакционной смеси удалось получить 2-диэтиламиногексадиен-3,5 и то с суммарным выходом 7,5%. В случае

Армянский химический журнал, XXII, 8-7

1-Диадкиламино

Структурная формула	Выход, °/о	Т. кип., °С/мм	Молекуляр- ная формула	n ²⁰	d ²⁰
(CH ₃) ₃ NCH ₃ C(CH ₃)=C(CH ₃)CH=CH ₂	31,5	63/17	C ₉ H ₁₇ N	1,4821	0,8200
$(C_2H_3)_2NCH_2C(CH_3)=C(CH_3)CH=CH_3$	54,3	80-82/12	C11H21N	1,4812	0,8256
(CH3)5NCH2C(CH3)=C(CH3)CH=CH3	43	107/11	C12H21N	1,5079	0,8869
$(C_4H_9)_2NCH_2C(CH_3)=C(CH_3)CH=CH_2$	42	125-128/12	C ₁₅ H ₂₉ N	1,4760	0,8277
(C ₂ H ₅) ₂ NCH(CH ₃)CH=CHCH=CH ₂	7,5	7577/20	C ₁₀ H ₁₉ N	1,4700	0,8104

же циклопентадиена реакция диенового синтеза происходит легко, о чем свидетельствует сильное разогревание реакционной смеси, однако получить соответствующий амин в мономерном виде нам пока не удалось из-за полимеризации последнего в условиях водно-щелочного расщепления.

Экспериментальная часть

1-Диалкиламино-2,3-диметилпентадиены-2,4. К реакционной смеси, состоящей из 0,3 моля бис-диалкиламинометана, 0,3 моля 2,3-диметилбутадиена и 50 мл дихлорметана в атмосфере азота, при охлаждении льдом медленно прикапывается 0,3 моля хлористого ацетила в 25 мл дихлорметана. На следующий день реакционная смесь нагревается при 55—60° в течение 6 часов. После отгонки дихлорметана остаток промывается эфиром (из последнего перегонкой выделяется диалкилацетамид) и подвергается щелочному расщеплению под действием двойного мольного количества 25% ного водного раствора едкого натра при 100—110°. Результаты приведены в таблице.

В ИК спектрах, полученных этим путем аминов, найдены валентные колебания — (C=C) сопряженного диена 1595 и 1650 $c M^{-1}$,

C-H (в $C=CH_2$) 3015 и 3090 $c m^{-1}$ и деформационные колебания C-H (в $CH=CH_2$) 905—910 и 990 $c m^{-1}$.

2-Диэтиламиногексадиен-3,5 получен по аналогии с вышеприведенными, с той лишь разницей, что реакционная смесь оставлена при комнатной температуре в течение трех месяцев.

Взаимодействие бис-диэтиламинометана с хлористым ацетилом и циклопентадиеном. Из 31,6 г (0,2 моля) бис-диэтиламинометана, 15,7 г (0,2 моля) хлористого вцетила и 13,2 г (0,2 моля) циклопентадиена получено 19,2 г (0,167 молей, 83,5%) N,N-диэтилацетамида с т. кип. 73° (13 мм), n_D^{20} 1,4417 и 10,5 г (0,07 моля, 35%) полимера темно-коричневого цвета. Найдено %: С 79,00; Н 11,20; N 9,30-($C_{10}O_{17}N$)_в. Вычислено %: С 79,47; Н 11,25; N 9,27.

Таблица

пентадиены-2,4

M	R _D	А нализ, 0/0							Анализ, °/о		
			С		Н	N		Т. пл.		N	
найдено	вычислено	найдено	вычис-	найдено	вычис-	найдено	вычис-	пик- рата, °С	Молекуляр- ная формула	найдено	вычис-
18,33	46,47	77,09	77,69	11,50	12,23	10,33	10,07	103	C15H22N4O1	15,00	15,22
57,47	56,00	78,95	79,04	12,35	12,56	8,35	8,38	88—89	C17H24N4O7	14,50	14,50
60,15	58,42	80,50	80,45	12,25	12,29	7,50	7,82	163	C18H24N4O7	14,06	13,73
75,99	74,48	80,60	80,71	13,13	13,00	6,74	6,28	_	-	-	-
2,67	51,38	78,03	77,43	12,36	12.45	9.75	9.15	_	_	-	

ЛИТЕРАТУРА

^{1.} А. Т. Бабаян, Г. Т. Мартиросян, Д. В. Григорян, ЖОрХ, 6, 20, 931 (1968)... 2. Н. Вонте, К. Hartke, А. Müller, Chem. Ber., 96, 607 (1967).

ГИЗЧИЧИ О РРИРИЧИ В ИГИ И ЧРР АРМЯНСКИЯ ХИМИЧЕСКИЯ ЖУРНАЛ

XXII, № 8, 1969

АННОТАЦИИ СТАТЕЙ, ДЕПОНИРОВАННЫХ В ВИНИТИ

УДК 620.17+661.184.23

химико-минералогические особенности бентонитов саригюхского месторождения

Г. С. АСРАТЯН

Армянский химический журнал, 1969 г., т. 22, № 8, Рис. 3, табл. 4, библ. ссылок 8.

Методами гранулометрического, рентгенографического, дифференциально-термического (ДТА) и полного химического анализа изучены фракционный, минералогический и химический состав, а также катионообменный комплекс саригюхских бентонитов. Показана высокая дисперсность глин всего месторождения. ДТА дает термограммы, характерные для минерала монтмориллонита. Рентгенографически во всех образцах глин и в глинистых фракциях также устанавливается в качестве единственного глинистого минерала монтмориллонит. По базальному рефлексу d (00,1) во фракциях <0,001 мм фиксируется Nа-монтмориллонит, во фракциях 0,01—0,001 мм — Са-монтмориллонит, а в самих глинах — смешанный Na, Ca-монтмориллонит. В качестве неглинистых примесей определяются: кристобалит, кварц, полевые шпаты, возможно, тальк (по убывающим количествам).

Химический состав глин и глинистых фракций и выведенные из данных анализа кристаллохимические формулы характерны для Nамонтмориллонита. Установлена высокая емкость обмена саригюхских глин, а в обменном комплексе их—преобладание Na $^+$. У фракций 0,01—0,001 мм емкость обмена значительно уменьшается, а в составе обменных катионов преобладает Ca $^{2+}$. На основании данных всех анализов фракций 0,01—0,001 мм и <0,001 мм сделано предположение, что в саригюхских бентонитах имеется небольшое количество кальциевой разности монтмориллонита, которая при диспергировании, в основном, концентрируется во фракции 0,01—0,001 мм.

XXII, № 8, 1969

УДК 541.12.03+661.184.23

НЕКОТОРЫЕ ФИЗИКО-ХИМИЧЕСКИЕ СВОЙСТВА БЕНТОНИТОВ АРМЕНИИ

Г. С. АСРАТЯН, С. М. АРАКЕЛЯН, А. А. МХИТАРЯН Н Б. С. ОВАКИМЯН

Армянский химический журнал, 1969, т. 22, № 8, Рис. 2. табл. 3, библ. ссылок 5.

Рептгенографией изучен минералогический состав ряда бентонитов Армении. Установлено, что они состоят из монтмориллонита как основного глинистого минерала и различного количества примесей.

113 важнейших физико-химических свойств изучены: состав и емкость обменного комплекса, гидрофильность по теплоте смачивания водой (рассчитаны удельная поверхность и количество связанной воды) и набухаемость с определением величин набухания в воде, объема пор бентонитов и кинетики набухания. Установлено, что наибольшей обменной емкостью (103,5-74,6 мг-экв/100 г) обладают бентониты месторождений Саригюх, Барцраван, Ноемберян, Паракар, Зинджирлу, Ацик. Одни бентониты являются натриевыми (Саригюх, Ноемберян), другие - кальциевыми (Барцраван, Зинджирлу, Ацик и др.), третьи-магниевыми (Паракар, Арапи)-по преобладающему катиону в обменном комплексе. Высокая гидрофильность отмечена у Са и Му-бентонитов, средняя-у Nа-бентонитов и низкая-у бентонитов, содержащих сравнительно много примесей. Чем больше емкость обмена, тем выше гидрофильность у соответствующих форм. По набухаемости высокие показатели получены у Na-бентонитов, меньшеу Са, Мд-бентонитов. У последних набухание тем меньше, чем больше примесей.

По полученным показателям большой интерес представляют бентониты из месторождений Саригюх, Ноемберян, Паракар, Барцраван, Зипджилру и Ацик, которые могут служить ценным сырьем для использования в технике.

2 Ц 3 Ч Ц Ч Ц Ъ Р Г Р Ц Ч Ц Ъ Ц Г П Ц Ч Р Р АРМЯНСКИЯ ХИМИЧЕСКИЯ ЖУРНАЛ

XXII, № 8, 1969

УДК 541.18.046/'049+661.184.23

ИЗУЧЕНИЕ КОАГУЛИРУЮЩЕГО ДЕЙСТВИЯ ЭЛЕКТРОЛИТОВ НА ЕСТЕСТВЕННЫЕ И НЕФТЕЭМУЛЬСИОННЫЕ РАСТВОРЫ НОЕМБЕРЯНСКОГО БЕНТОНИТА

А. А. МХИТАРЯН и Г. С. АСРАТЯН

Армянский химический журнал, 1969 г., т. 22, № 8, :Табл. 4, библ. ссылок 4.

Методами физико-химической механики изучено коагулирующее действие электролитов, NaCl, CaCl₂, CaSO₄ и их смесей на естественные и нефтеэмульсионные суспензии ноемберянского бентонита. Получены структурно-механические и реологические константы, структурно-механические характеристики и эксплуатационные параметры всех систем. Показано, что исходная суспензия при малой концентрации твердой фазы 7,1% имеет высокие показатели всех величин. Введение электролитов вызывает коагуляционное разжижение и астабилизацию систем. Наиболее агрессивно действует CaCl₂, незначительно—СаSO₄. Добавление к минерализованным суспензиям 3% ПАВ карбоксиметилцеллюлозы (КМС) значительно повышает устойчивость суспензий. Нефтеэмульсионные суспензии к действию электролитов менее чувствительны. Соответствующие показатели при этом отвечают критериям устойчивости. Добавка 3% КМЦ к нефтеэмульсионным минерализованным суспензиям полностью стабилизирует системы.

По полученным данным ноемберянская глина является высокока-чественным сырьем для приготовления буровых промывочных жидкостей, а нефтеэмульсионные растворы их без дополнительной химической обработки могут быть использованы в бурении скважин в соленосных пластах, в осложненных условиях.

2 Ц 3 Ч Ц Ч Ц Ъ Р Р Г Р Ц Ч Ц Ъ Ц Г И Ц Ч Р Р АРМЯНСКИЯ ХИМИЧЕСКИЯ ЖУРНАЛ

XXII, № 8, 1969

УДК 553.61+532.584

ВЛИЯНИЕ ЭЛЕКТРОЛИТОВ И ПАВ НА СУСПЕНЗИИ САРИГЮХСКОГО МОНТМОРИЛЛОНИТА

Г. С. АСРАТЯН, Н. Н. КРУГЛИЦКИЙ, А. А. МХИТАРЯН и Э. Г. АГАБАЛЬЯНЦ

Армянский химический журнал, 1969 г., т. 22, № 8. Табл. 2, библ. ссылок 4.

Методами структурно-механического анализа исследовано влияние NaCl, CaCl₂, CaSO₄ и их смеси (в широком диапазоне изменения концентраций электролитов) и реагента-стабилизатора КМЦ-300 (1 и 3º/₀) на суспензии высокодисперсного саригюхского монтмориллонита. Определением структурно-механических и реологических констант, структурно-механических характеристик и технологических параметров показано, что повышенные концентрации электролитов снижают агрегативную устойчивость коагуляционной структуры дисперсии саригюхского монтмориллонита, но в пределах, мало отличающихся от критериальных значений количественных и качественных показателей таких систем.

Добавление реагента-стабилизатора КМЦ-300 в концентрации $1^{\circ}/_{\circ}$ от веса суспензии приводит к дальнейшему снижению устойчивости исследуемых систем (за исключением дисперсий, в которых присутствует CaSO₄). Повышение концентрации и КМЦ-300 до $3^{\circ}/_{\circ}$ стабилизирует все суспензии, содержащие максимально возможные количества электролитов и приводит их важнейшие деформационные показатели к критериальным значениям устойчивости.

Суспензии саригюхского монтмориллонита при обработке реагентом-стабилизатором КМЦ-300 (3%) могут применяться в качестве промывочных жидкостей при буренци солевых отложений.

ГИЗЧИЧИТ РРГРИЧИТ ИГИИЧРР АРМЯНСКИЙ ХИМИЧЕСКИЙ ЖУРНАЛ

XXII, № 8, 1969

УДК 553.61+532.584

ВЛИЯНИЕ ЭЛЕКТРОЛИТОВ И ПАВ НА УТЯЖЕЛЕННЫЕ СУСПЕНЗИИ САРИГЮХСКОГО МОНТМОРИЛЛОНИТА

Г. С. АСРАТЯН, Н. Н. КРУГЛИЦКИЙ, А. А. МХИТАРЯН и Э. Г. АГАБАЛЬЯНЦ

Армянский химический журнал, 1969 г., т. 22, № 8. Табл. 2, библ. ссылок 2.

Изучено влияние электролитов (NaCl, CaCl₂, CaSO₄ и их смеси) и реагента-стабилизатора КМЦ-300 на утяжеленные сернокислым барием дисперсии саригюхского монтмориллонита. Методами структурно-механического анализа, путем определения реологических свойств и эксплуатационных параметров систем показано, что утяжелитель сам по себе оказывает определенное отрицательное влияние на стабильность исходной высокодисперсной суспензии. Добавление электролитов к утяжеленной суспензии приводит к снижению ее агрегативной устойчивости — в меньшей степени при низких концентрациях электролитов $(1-5^{\circ}/_{0} \text{ NaCl}, 0, 1^{\circ}/_{0} \text{ CaCl}_{2}, 0, 5-5^{\circ}/_{0} \text{ CaSO}_{4})$ и значительно—при высоких концентрациях солей $(10-30^{\circ}/_{0} \text{ NaCl}, 0, 5-10^{\circ}/_{0} \text{ CaCl}_{2}$ и смесь электролитов).

Добавление 10/0 реагента-стабилизатора КМЦ-300 в исследуемые системы сильно повышает стабильность пресной и минерализованной сернокислым кальцием (50/0) утяжеленных суспензий, но еще больше снижает агрегативную устойчивость утяжеленных суспензий, обработанных 300/0 NaCl, 30/0 CaCl₂ и смесью солей. Повышение концентрации КМЦ до 30/0 приводит к стабилизации всех, в том числе высокоминерализованных утяжеленных систем. При этом основные количественные и качественные показатели последних достигают критериальных значений.

Утяжеленные суспензии саригюхского монтмориллонита при обработке 3% КМЦ могут с успехом применяться в качестве промывочной жидкости при бурении скважин в условиях осложнений и высокой минерализации.

2 Ц 3 Ч Ц Ч Ц Ъ Р Г Р Ц Ч Ц Ъ Ц Г И Ц Ч Р Р АРМЯНСКИЯ ХИМИЧЕСКИЯ ЖУРНАЛ

XXII, № 8, 1969

УДК 553,61+622.233

ИССЛЕДОВАНИЕ ФИЗИКО-ХИМИЧЕСКИХ И СТРУКТУРНО-МЕХАНИЧЕСКИХ СВОЙСТВ КОТИГЮХСКОГО МОНТМОРИЛ-ЛОНИТА И ПЕРСПЕКТИВЫ ЕГО ПРИМЕНЕНИЯ В ПРАКТИКЕ БУРЕНИЯ

А. А. МХИТАРЯН, Г. С. АСРАТЯН, Н. Н. КРУГЛИЦКИР и Э. Г. АГАБАЛЬЯНЦ

Армянский химический журнал, 1969 г., т. 22, № 8. Рис. 1, табл. 2, библ. ссылок 5.

Методами фазового анализа изучен состав котигюхских глин. Показано, что они состоят из монтмориллонита с небольшими примесями гидрослюды и каолинита. Определены гранулометрический состав, гидрофильность, набухаемость и обменные катионы. Изученные глины обладают достаточно высокими гидрофильными свойствами, дисперсностью и величиной набухания. Обменная емкость равна 71.4 мг-экв/ $100 \circ 100$ глины, а в составе обменных катионов преобладает $100 \circ 100$ 100

Применением методов структурно-механического анализа исследованы особенности процессов структурообразования в дисперсиях котигюхского монтмориллонита в широком диапазоне: изменения концентраций твердой фазы $(15-27^{\circ}/_{0})$. Установлена критическая концентрация, равная $20.7^{\circ}/_{0}$. Изученные дисперсии высокоустойчивы, обладают количественными показателями структурно-механических характеристик и значениями реологических констант качества, отвечающими критериальным величинам для подобных систем. По картине деформаций дисперсии относятся к устойчивому III структурно-механическому типу.

По полученным данным котигюхский монтмориллонит является высококачественным сырьем для приготовления промывочных жид-костей, пригодных для бурения скважим в нормальных условиях.

յալների ընտգավառում։ Ամինակետոնների վերականգնման մասին

748

The state of the s	
ավինների և չարրորդային ավոնիուվային միացությունների ընադավառում։	
LXI. 1,2,5,6-8 հարանիգրոպիրիդինիումային ապերի սինքեղ և ձեզբում	745
ԳեթեՀԻ-ում դեպոնացված հոդվածների անուացիաներ	
Գ. Ս. Հասրաթյան <i>— Սարիգյուղի հանջավայրի բենտոնիաների ջիմիա-հանջարա</i> –	
նական առանձնահատկությունները	748
Գ. Ս. Հասրաթյան. Ս. Մ. Առաթսյան, Հ. Հ. Մխիթարյան, Բ. Ս. Հովակիմյան — Հա-	
յաստանի բենտոնիաների մի բանի ֆիզիկա-բիմիական հատկությունները	749
Հ. Մխիրարյան, Գ. Ս. Հասրարյան — Նոյեմբերյանի բենտոնիտի բնական և նավ- Բակմուլսիոն լուծույթների վրա էլեկարալիաների մակարգող ներդործու-	
hlurni	750
Գ. Ս. Հասրաթյան, Ն. Ն. Կրուգլիցկի, Հ. Հ. Մխիթարյան, Է. Գ. Աղաբայյանց — <i>Էլևկ</i> -	
անհանիարբեն բ դույ ամմբնու հյուրն դահիժյումի դարադսեինարի ոսոսաքը-	
դիանևրի վրա	751
Գ. Ս. Հասրաթյան, Ն. Ն. Կրուգլիցկի, Հ. Հ. Մխիթարյան, Է. Գ. Աղաբալյանց — <i>Էլեկ-</i> տրբալիածերի և <i>ՄԱՆ աղդեցությունը Սարիգյուղի մոնամորիլոնիտի ծան-</i>	
հաննաց ռուսանըոնկարրեն վետ	752
Հ. Հ. Մխիրարյան, Գ:(Ս.Հասրաթյան, Ն. Ն. Կրուգլիցկի, Է. Գ. Աղաբալյանց—Կոթի-	
միսոնի դորադսերնորիաի ֆիմիկա-Եիդիակար ու կասունվագծա-դրիարի-	
կական հատկությունների ուսուժնասիրում և հորատման պրակտիկայում	
նրա դործադրության հեռանկարները	753
СОДЕРЖАНИЕ	
СОДЕРЖАПИЕ	
77	Стр.
Общая и физическая химия	
А. А. Маргарян — Спектры поглощения фторбериллатных стекол. активирован-	
ных редкоземельными фторидами	651
Л. В. Хажакян, Р. Г. Мелик-Оганджанян, А. А. Ароян — Производные пири-	
мидина. Х. Исследование таутомерии 2-(4'-алкоксибензил)-4,6-дизамещен-	-
ных пиримидинов методом ИКС	658
	. "
Неорганическая и аналитическая химия	
Р. А. Кроповницкая — Кулонометрическое определение Ре (II) электролитиче-	
ски генерированным бромом с бизмперометрической индикацией экви-	
валентной точки	664
А. А. Абрамян, М. А. Геворкян, Р. С. Саркисян — Определение бора в орга-	668
нических соединениях	000
Органическая химия	
А. Л. Миджоян, В. Е. Бадалян — Исследование в области производных β-(1-	
нафтил)пропионовой кислоты	671
А. А. Степанян, С. Г. Агбалян, Г. Т. Есаян — Эфиры сульфокислот. XVI. Взаи-	
модействие β-хлорэтиловых эфиров сульфокислот с аминами	688
О. Л. Мнджоян, Г. А. Геворгян, М. З. Пахлеванян, С. Н. Асратян — Исследования в области производных аминокетонов. IV. Синтез некоторых	
1-(п-алкоксифения)-3-диметиламино- и 1-(п-алкоксифения)-1-циклогексия-	
-3-диметиламинопропанолов-1	693
В. О. Бабаян, Л. Г. Григорян, Л. М. Геворкян - Синтез енаминов. Конден-	
сация первичных ароматических аминов с кетонами	702

*

В. Г. Сарафян — Производные индола. Синтез и биологические свойства гидразидо-гидразонов индольного ряда	707
-3,4-дигидроизохинолина. VI. Реакции 1-замещенных 3,4-дигидроизохино-	714
А. Л. Миджоян, В. Е. Бадалян, Ю. З. Тер-Захарян, Н. Г. Оганян — Исследования в области полусинтетических пенициллинов. 11. 2-Замещенные-	
β-(1-нафтил)этилпенициллины	720
Химическая технология	
А, Е. Акопян, М. Б. Ордин, Л. А. Саркисян, Дж. Х. Саркисян, Р. Г. Геворкян — Получение поливинилформаля. III. Ацеталирование поливинилацетата	727
Д. Н. Аветисян, Н. Г. Карапетян, А. С. Тарханян — Динамика адсорбции и десорбции эмульгатора СТЭК на активированном угле	734
Краткие сообщения	
О. Л. Миджоян, Г. А. Геворкян — Исследование в области производных ами-	
нокетонов. III. О восстановлении аминокетонов	743
Д. В. Григорян, Г. Т. Мартиросян, А. Т. Бабаян — Исследования в области аминов и четвертичных аммониевых соединений. LXI. Синтез и расшеп-	
ление замещенных 1.2,5,6-тетрагидропиридиниевых солей	745
Аннотации статей, депонированных в ВИНИТИ	
Г. С. Асратян — Химико-минералогические особенности бентонитов саригюх-	
ского месторождения	748
физико-жимические свойства бентонитов Армении	749
бентонита	750
Г. С. Асратян, Н. Н. Круглицкий, А. А. Мхитарян, Э. Г. Агабальянц — Влияние электролитов и ПАВ на суспензии саригюхского монтмориллонита	751
Г. С. Асратян, Н. Н. Круглицкий, А. А. Мхатарян, Э. Г. Агабальянц — Влияние электролитов и ПАВ на утяжеленные суспензии саригюхского монт-	731
мориллонита	752
А. А. Мхитарян, Г. С. Асратян, Н. Н. Круглицкий, Э. Г. Агабальяни — Исследование физико-химических и структурно-механических свойств коти-	
гюхского монтмориллонита и перспективы его применения в практике	1947
бурения	753
CONTENTS	
General and Physical Chemistry	
A. A. Margaryan - Absorption Spectra of Fluoro-Berillium Glasses Activated by	
Rare Earths Pluorides	651
substituted Pyrimidines by IRS-Method	658
Inorganic and Analytical Chemistry	
R. A. Krapiunitskaya — Coulometric Determination of Fe (11) by Electrically Generated Bromine with Biampermetric Indication of Equivalent Point	664

A. A. Abramyan, M. A. Gevorkyan, R. S. Sarkisyan — Determination of Boron in Organic Compounds	668
Organic Chemistry	- 4
A. L. Mndzhoyan, V. E. Badalyan — Studies on 3-(1-Naphthyl)propionic Acid Derivatives	671
O. L. Mndzhoyan, G. A. Gevorkyan, M. Z. Pakhlevanyan, S. N. Asratyan — Studies on Aminoketone Derivatives. IV. Synthesis of 1-(p-Alkoxyphenyl)-3-dimethylamino- and 1-(p-Alkoxyphenyl)-1-cyclohexyl-3-dimethyl-	
V. O. Babayan, L. G. Origoryan, L. M. Gevorgyan — Synthesis of Enamines. Condensation of Primary Aromatic Amines with Ketones	693 702
A. L. Mndzhoyan, G. L. Papayan, L. D. Zhurull, S. G. Karageuzyan, L. S. Galstyan, V. G. Sarafyan — Indole Derivatives. Synthesis and Biological	707
Properties of Hydrazido-Hydrazones of Indole Series	707
with Maleic, Fumaric, Cinnamic Acids and their Esters	714
ethylpenicillins	720
Chemical Technology	
A. E. Akopyan, M. B. Ordyan, L. A. Sarkisyan, J. Kh. Sarkisyan, R. G. Ge- vorkyan — Production of Polyvinyl Formal. III. Acetalation of Polyvinyl	507
Acetate	727 734
Short Communications	
O. L. Mndzhoyan, G. A. Gevorkyan — Studies on Aminoketone Derivatives. III. Reduction of Aminoketones	743
Substituted 1,2,5,6-Tetrahydropyridinium Salts	745
Abstracts of Articles Filed at All-Union Institute of Scientific and Technical Information	
G. S. Asratyan — Chemical and Mineralogical Characteristics of Sarigyukh Bentonits	748
G. S. Asratyan, S. M. Araksyan, A. A. Mkhitaryan, B. S. Ovakimyan — Physico- Chemical Properties of Armenian Bentonits	749
A. A. Mkhitaryan, G. S. Asratyan — Coagulative Effect of Electrolyts on Natural and Petroleum—Emulsified Solutions of Noemberyan Bentonit	750
G. A. Asratyan, N. N. Kruglitski, A. A. Mkhitaryan, E. G. Agabalyants — Effect of Electrolyts and Surface-Active Substances on Sarigyukh Montmo-	
rilionit Suspensions	751
rilionite Heavy Suspensions	752
	753